

# PRINSIP PEMERIKSAAN MIKROBIOLOGI DAN APLIKASI

DALAM BENTUK LABORATORIUM BERGERAK COVID19



Mashuri Masri, dkk

# **PRINSIP PEMERIKSAAN MIKROBIOLOGI DAN APLIKASI DALAM BENTUK LABORATORIUM BERGERAK COVID19**

Penulis:

**Dr. Mashuri Masri, S.Si., M.Kes  
Siska Tridesianti, S.Si., M.Si  
Dr. Ekafadly Jusuf, S.Si.M.Kes  
Dr. Delima Engga Maretha, S.Si.,M.Kes  
Rusny, S.Pt., M.Si  
Windy Sahar, S.Si.,M.Si  
Dr. Joko Widodo, S.Si, MKes**

Alauddin University Press

Hak Cipta Dilindungi Undang-Undang:

Dilarang memperbanyak atau memindahkan sebagian atau seluruh isi buku ini ke dalam bentuk apapun tanpa izin tertulis dari penerbit

All Rights Reserved

**Prinsip Pemeriksaan Mikrobiologi dan Aplikasi dalam Bentuk  
Laboratorium Bergerak Covid-19**

Penulis:

**Dr. Mashuri Masri, S.Si., M.Kes**

**Siska Tridesianti, S.Si., M.Si**

**Dr. Ekafadly Jusuf, S.Si.M.Kes**

**Dr. Delima Engga Maretha, S.Si.,M.Kes**

**Rusny, S.Pt., M.Si**

**Windy Sahar, S.Si.,M.Si**

Cetakan I: 2021

xii + 130 hlm.; 15,5 x 23 cm

ISBN: 978-602-328-388-0

**Alauddin University Press**

UPT Perpustakaan UIN Alauddin

Jl. H. M. Yasin Limpo No. 36 Romangpolong,

Samata, Kabupaten Gowa

Website: <http://ebooks.uin-alauddin.ac.id/>

## PENGANTAR PENULIS

Puji Syukur Kehadirat Allah SWT yang telah dan akan terus memberikan Rahmat dan Kasih sayangNya kepada kita semua. Shalawat untuk mengingat dan meneladani Rasulullah Muhammad SAW, menjadikan beliau teladan, prototype manusia sempurna yang Allah pernah ciptakan di muka bumi, guna menjadikan hidup kita bahagia bukan hanya di dunia tetapi di akhirat kelak.

Buku dengan judul **Prinsip Pemeriksaan Mikrobiologi Dan Aplikasi Dalam Bentuk Laboratorium Bergerak Covid19** menjadi bagian dari linearitas keilmuan penulis dengan mata kuliah binaan Mikrobiologi Umum. Buku ini menjelaskan tentang prinsip dasar pemeriksaan Mikrobiologi sebagai sebuah solusi dalam mendeteksi keberadaan mikroorganisme dan perubahan fisiologis mikroorganisme tersebut yang berlangsung dengan cepat dan berada dalam tataran skala mikro/nano. Pandemi Covid19 menjadi bukti konkret betapa mikroorganisme mengalami perubahan (mutasi) yang begitu cepat yang membutuhkan penanganan deteksi dini yang Real Time, guna memberikan informasi akurat dan cepat. Kombinasi Internet dan mobilisasi laboratorium Bergerak covid 19 yang langsung mengirimkan hasil pemeriksanaan langsung di lokasi, akan memberikan solusi dalam penanganan covid 19.

Semoga buku ini menjadi amal jariah penulis dalam menyebarkan ilmu sebagai bagian dari hakekat penciptaan manusia, menjadi rahmat bagi seluruh alam semesta.

Makassar, Juni 2021

Penulis

# DAFTAR ISI

PENGANTAR PENULIS .....	iii
DAFTAR ISI .....	iv
DAFTAR GAMBAR.....	v
<b>BAB I .....</b>	<b>1</b>
<b>PENDAHULUAN .....</b>	<b>1</b>
<b>BAB II .....</b>	<b>6</b>
<b>IMOBILISASI BIO-REPORTER PADA PERMUKAAN FUNGSIONAL.....</b>	<b>6</b>
<b>BAB III .....</b>	<b>11</b>
<b>DETEKSI SEL UTUH.....</b>	<b>11</b>
<b>BAB IV .....</b>	<b>30</b>
<b>ANALISIS BERBASIS GENOM .....</b>	<b>30</b>
<b>BAB V .....</b>	<b>50</b>
<b>METODE LAIN .....</b>	<b>50</b>
<b>BAB VI .....</b>	<b>55</b>
<b>TEKNOLOGI MASA DEPAN .....</b>	<b>55</b>
<b>BAB VII .....</b>	<b>59</b>
<b>LABORATORIUM BERGERAK.....</b>	<b>59</b>
<b>COVID 19 .....</b>	<b>59</b>
<b>DAFTAR PUSTAKA .....</b>	<b>99</b>
<b>BIOGRAFI PENULIS .....</b>	<b>128</b>

# DAFTAR GAMBAR

- Gambar 1. Ilustrasi biosensor untuk mendeteksi mikroorganisme termasuk elemen pengenalan yang dapat berupa agen mikrobiologis tertentu, mikroelektroda untuk pengukuran impedansi, impedansi elektronik reader (IMR). Output dari IMR akan dikirim ke komputer .....3
- Gambar 2. Absorpsi antibodi pada permukaan elektroda menggunakan cross-linker tiolasi. R1 dan R2 meninggalkan kelompok; X adalah residu yang tersisa setelah imobilisasi antibodi; DTT: dithiothreitol. ....9
- Gambar 3. Teknik sandwich: dalam metode ini, antibodi spesifik dapat digunakan untuk mengikat partikel pada permukaan sebuah chip. Penempelan antibodi spesifik lain di bagian bebas partikel, bisa jadi dikenali dengan penambahan anti-antibodi berlabel fluorescent ..... 12
- Gambar 4. Desain perangkat mikofluida berdasarkan biosensor terkonjugasi lobak pedas Peroxidase (HRP) untuk mendeteksi E. coli. Di sini, sel bakteri target mengikat antibodi spesifiknya pada chip sensor emas. Sel-sel bakteri yang terikat pada biosensor dikenali dengan penambahan antibodi terkonjugasi lobak pedas Peroxidase (HRP) spesifik strain lain. Langkah pencucian antara setiap sampel atau penambahan antibodi akan menghilangkan semua sel yang tidak terikat atau antibodi terkonjugasi (HRP), dan oleh karena itu, setiap reaksi enzimatik di media terjadi

sebagai akibat dari adanya antibodi yang terikat pada sel (Altintas et al., 2018). Reaksi enzimatik dari  $H_2O_2$  menjadi reduksi  $H_2O$  dikaitkan dengan oksidasi TMB (3,30, 5,50 -Tetramethylbenzidine), yang dapat dideteksi dengan elektroda emas yang sangat sensitif (Gambar ini digunakan dengan izin dari Elsevier) ..... 14

Gambar 5. Resonansi Plasmon Permukaan (SPR); analit mengikat ligan spesifiknya di permukaan dari prisma kaca. Interaksi ini dideteksi dengan melewatkan cahaya terpolarisasi bidang melalui film ini ke permukaan transduser yang menghasilkan medan listrik ..... 16

Gambar 6. Deskripsi skema fermentasi mikroba ..... 19

Gambar 7. Aktivitas metabolisme mikroorganisme merupakan faktor terpenting untuk mendeteksi mikroorganisme dalam bakteriologi konvensional ..... 20

Gambar 8. Sistem mikofluida untuk mengarahkan dan memusatkan sel bakteri pada elektroda berdasarkan aliran dan dielektroforesis. Sel-sel yang dikumpulkan di sisi positif layar elektroforesis terdeteksi oleh penganalisa impedansi ..... 22

Gambar 9. Tampilan penampang dari spektroskopi impedansi elektrokimia terintegrasi untuk deteksi bakteri; dalam sistem ini, suspensi bakteri diterbangkan ke filter nanopore di atas elektroda tempat sel-sel terperangkap dalam filter dan sisa suspensi diterbangkan (Jiang et al., 2014) (Gambar ini digunakan dengan izin dari Elsevier) ..... 25

Gambar 10. Kurva pertumbuhan bakteri. Fase lag setelah inokulasi media dengan bakteri, diikuti oleh pertumbuhan logaritmik bakteri (garis putus-putus). Kekurangan nutrisi dan produksi senyawa beracun

dalam media menyebabkan penurunan pertumbuhan mikroba selama fase diam dan mati pada langkah terakhir. Jumlah sel dalam media ini berbanding terbalik dengan media impedansi (garis merah). Sumbu x : waktu, dan sumbu y : pertumbuhan bakteri ..... 27

Gambar 11. Deskripsi skema sederhana tentang penggunaan aptamers untuk mendeteksi mikroorganisme. Dalam kondisi ini, kompleks Biotin-aptamer bekerja sebagai perantara spesifik antara strain mikroba, yang bebas di media) dan Avidin, yang distabilkan di permukaan ..... 29

Gambar 12. Prinsip reaksi berantai polimerase (PCR, polymerase chain reaction); melalui periode denaturasi, peningkatan suhu media (lebih dari 90 oC) menyebabkan pemisahan dupleks DNA dalam bentuk untai tunggal. Pengurangan suhu menjadi sekitar 50 oC (tergantung pada primer) di proses annealing menyediakan kondisi untuk asam nukleat untai tunggal, termasuk primer, untuk hibrid ulang (re-hybrid) dalam bentuk DNA untai ganda. Setelah itu, proses ekstensi, enzim penguat mampu menggunakan ujung 3 primer untuk memperpanjang primer berdasarkan DNA template komplementer. Langkah-langkah ini biasanya diulang lebih dari 30 kali (tergantung pada konsentrasi template DNA) untuk meningkatkan jumlah fragmen yang cukup untuk terlihat pada gel. Karena primernya dirancang khusus untuk fragmen khusus genom, amplifikasi dilakukan secara khusus pada area genom tersebut ..... 33



- Gambar 13. PCR real-time; dalam sistem ini, probe khusus berlabel dua jenis fluorofor, disebut sebagai R untuk reporter (donor) dan Q untuk quencher (atau reseptor), berada dalam interval dua primer. Ketika jarak antara dua fluorofor adalah antara 1 dan 10 nm, energi tereksitasi dari R disumbangkan ke Q dalam bentuk Fluorescence Resonance Energy Transfer (FRET). Melalui amplifikasi DNA, R dipotong oleh enzim penguat, yang menyebabkan pemisahan fluorofor R dan Q, dan emisi fluoresensi. Tingkat emisi berbanding lurus dengan jumlah probe dan genom. .... 34
- Gambar 14. Lisis sel mikroba dilewatkan melalui filter AOM untuk memisahkan DNA di permukaan, yang akhirnya mengalami reaksi RT-PCR (Oblath et al., 2013). (Gambar ini digunakan dari dengan izin Royal Society of Chemistry)..... 36
- Gambar 15. Metode loop mediated isothermal amplification (LAMP)..... 38
- Gambar 16. Perangkat mikofluida ini terdiri dari dua lapisan; (A) Desain skema perangkat; (B) perangkat rakitan yang sebenarnya. Sel-sel, reagen ekstraksi DNA dan manik manik silika diarahkan ke lapisan atas melalui saluran masuk ke ruang SPE (Ekstraksi fase padat). Setelah ekstraksi DNA di ruang SPE, sampel DNA dicuci dari manik manik silika menggunakan air suling ke lapisan yang kedua (ruang LAMP). Celah pada mikropilar cukup kecil untuk mencegah transfer manik manik silika ke lapisan kedua; Subpanel (C) Menunjukkan ruang SPE di mana manik manik silika terjebak oleh deretan pilar mikro dan gaps mikro; (D): aliran larutan dalam chip

ditunjukkan dengan injeksi tinta hitam dari saluran masuk A dialirkan ke saluran A atau B; hasil positif dapat dilihat dengan fluoresensi hijau di bawah sinar UV (E) (Z. Guo et al., 2015). (Gambar ini digunakan dengan izin dari Elsevier..... 39

Gambar 17. Perbandingan skema RFLP, AFLP, RAPD, T-RFLP dan SSCP..... 42

Gambar 18. FISH (Fluorescent In Situ Hybridization) ..... 44

Gambar 19. Struktur dan fungsi beacon molekuler (MB); MB adalah DNA untai tunggal spesifik target yang diapit dengan dua sekuens komplementer yang diberi label dengan fluorofor (di satu ujung) dan quencher (di ujung yang berlawanan). (a) dan (b) Hibridisasi target MB-DNA menciptakan jarak antara quencher dan fluorofor, tetapi (c) Ikatan hidrogen antara dua sekuens komplementer di dua ujung membuat struktur jepit rambut di mana setiap fluoresensi yang dilepaskan oleh fluorofor ditangkap oleh quencher (mirip alat pemadam). (d) Produksi D-DNA di jepit rambut dan L-DNA di DNA heliks ganda..... 46

Gambar 20. Ilustrasi skema laboratorium bergerak. Laboratorium bergerak terdiri dari lengan robot 6-sumbu; perangkat inaktivasi patogen cepat; peng analisis asam nukleat mikrofluida; platform informasi yang secara otomatis melaporkan eksperimental hasil dan status laboratorium; kabinet keamanan hayati; dan sistem pendukung, termasuk sistem ventilasi terpisah, roda kabel listrik, generator cadangan, dan sistem saluran air..... 62

Gambar 21. Foto-foto laboratorium bergerak yang dibangun..... 63

Gambar 22. Alur kerja laboratorium bergerak, termasuk pengumpulan spesimen, inaktivasi, analisis dan pelaporan.....	64
Gambar 23. Sistem pengumpulan spesimen dengan lengan robot .....	66
Gambar 24. Ilustrasi lengan robot untuk pengambilan sampel otomatis .....	67
Gambar 25. Penonaktifan Patogen.....	69
Gambar 26. Sistem informasi laboratorium bergerak.....	76
Gambar 27. Perbandingan spesimen manusia dari orofaring yang dikumpulkan oleh lengan robot (aautomated collection, kurva bagian atas) dan tenaga medis terlatih (manual collection, kurva bagian bawah)...	78
Gambar 28. Tampilan samping profil simulasi aliran udara di kabinet biosafety. Kecepatan udara masuk dari ventilator adalah 0,365 m/s, dan kecepatan udara dari lingkungan (environment) adalah 0,00365 m/s. Perbedaan warna menunjukkan kecepatan aliran udara .....	79
Gambar 29. Tampilan detail profil aliran udara di dekat tirai udara (air curtain) dari jendela pengambilan sampel (sampling window). Perbedaan warna menunjukkan kecepatan aliran udara.....	79
Gambar 30. Profil suhu bagian atas dari 16 tabung koleksi dengan pemanasan inframerah .....	80
Gambar 31. Inaktivasi pseudovirus SARS-CoV-2 dan MERS-CoV dalam buffer pelestarian menggunakan mode 1 ...	81
Gambar 32. Inaktivasi apusan virus VSV-G yang dapat direplikasi di dinding samping dan tutup atas menggunakan mode	

2. Kontrol negatif mengacu pada sumur mikro berlapis sel yang tidak mengandung sampel virus, dan kelompok yang tidak dinonaktifkan mengacu pada sumur mikro berlapis sel yang berisi sampel virus yang tidak 'tidak melalui proses inaktivasi. Angka dan kode warna dalam grafik mewakili besarnya sinyal fluoresen dalam uji luciferase ..... 82

Gambar 33. Inaktivasi apusan pseudovirus MERS-CoV di bagian atas dinding samping dan tutup menggunakan mode 2. Dalam Gambar 27 dan 28, kontrol negatif mengacu pada sumur mikro berlapis sel yang tidak mengandung virus. sampel, dan kelompok noninactivated mengacu pada microwell berlapis sel yang berisi sampel virus yang tidak melalui proses inaktivasi. Angka dan kode warna dalam grafik mewakili besarnya sinyal fluoresen dalam uji luciferase. a.u (arbitrer unit): unit arbitrer ..... 82

Gambar 34. Hasil amplifikasi RT-qPCR pseudovirus FNV-2019-ncov-abEN pada konsentrasi 5E3 eksemplar/mL setelah inaktivasi pada kondisi yang berbeda (n = 3). Pseudovirus FNV-2019-ncov-abEN yang tidak diaktifkan digunakan sebagai kontrol untuk periksa integritas asam nukleat yang diolah. Pada kelompok 1, tabung koleksi yang berisi sampel pseudovirus dipanaskan dalam penangas air pada suhu 56 oC selama 30 menit, sedangkan pada kelompok 2, 3, dan 4, bagian atas tabung dipanaskan pada suhu 95 oC sedangkan bagian bawah dipanaskan pada 56 oC selama 30 menit, 70 oC selama 12 menit, dan 95 oC selama 12 menit, masing-masing. Ct, Treshold cycle : siklus ambang ..... 83

Gambar 35. Penganalisis asam nukleat mikrofluida. Diagram penganalisis asam nukleat mikrofluida yang dikembangkan.....	84
Gambar 36. Penganalisis asam nukleat mikrofluida. Tata letak chip mikrofluida sentrifugal yang terintegrasi penuh. Komponennya meliputi:.....	85
Gambar 37. Skema kerja Penganalisis asam nukleat mikrofluida .....	86
Gambar 38. Linearitas detektor fluoresen menggunakan FAM....	87
Gambar 39. Kurva amplifikasi NAT dari konsentrasi yang berbeda dari pseudovirus FNV-2019-ncov-abEN pada 150, 300, 1000, 5000, dan 10000 salinan/mL menggunakan penganalisis yang dikembangkan. Kontrol positif (PC, Positive control): virus plak bebek; kontrol negatif (Negative Control): air yang diolah dengan dietil pirokarbonat ((DEPC, diethyl pyrocarbonate) -treated water)); pengendalian mutu internal (IC, internal quality control).....	90
Gambar 40. Pengulangan nilai $T_p$ dari 5 batch microchip sentrifugal (6 ulangan/batch) dengan menganalisis wilayah ORF1ab dan Gen N pseudovirus FNV-2019-ncov-abEN pada konsentrasi 1000 copies/mL .....	91
Gambar 41. Spesifisitas penganalisis asam nukleat mikrofluida menggunakan beberapa interferensi. ....	93

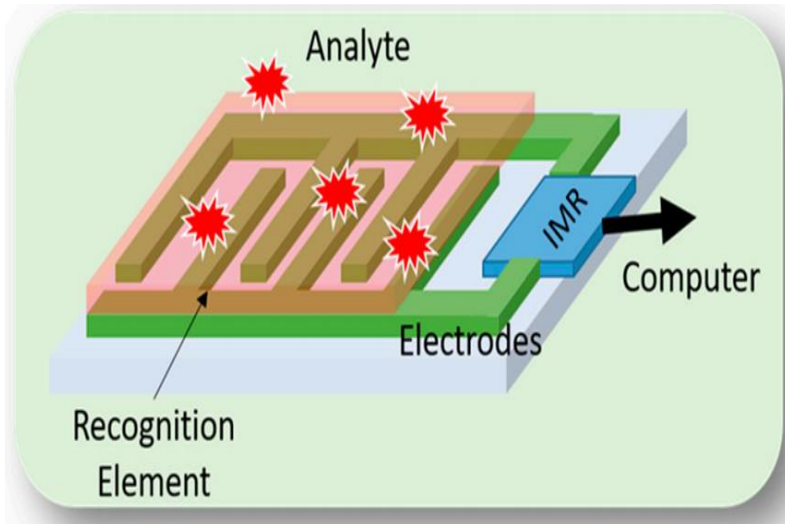
# BAB I

## PENDAHULUAN

**M**ikroorganisme hadir di mana-mana dan terlibat dalam berbagai hal klinis, industri, dan fenomena lingkungan. Walaupun wabah dan berbagai macam penyakit menular dan keracunan makanan yang disebabkan oleh mikroorganisme telah menurun selama bertahun-tahun, namun prevalensi penyakit ini masih sangat tinggi (Greig, 2016; Smith et al., 2014). Selanjutnya kontaminasi makanan / obat dan kosmetik produk dengan mikroorganisme atau turunannya tetap menjadi tantangan besar bagi industri yang beroperasi di bidang ini. Menjadi solusi dalam semua masalah ini merupakan sebuah kebutuhan, analisis yang tepat waktu, on-line, Analisis bahaya, dan materi/bahan yang dapat terpenuhi. Akibatnya, ada penekanan yang berkembang pada realisasi dan penerapan perangkat deteksi real-time dengan sensitivitas dan spesifisitas tinggi untuk identifikasi mikroorganisme pada sampel klinis/lingkungan/industri (Gardeniers & Van Den Berg, 2004; L. Guo et al., 2015).

Pendekatan penelitian ini telah menarik perhatian para peneliti untuk berkontribusi di bidang ini dengan mengajukan proposal baru solusi untuk tantangan mikrobiologi saat ini. Sampai saat ini, banyak makalah telah melaporkan desain dan implementasi protokol rekayasa mikrobiologi, seperti biosensor mikroorganisme (Andersson & Van den Berg, 2003; Charbon, 2008; Lim et al., 2015; Y. Liu et al., 2017; Reyes et al., 2002). Dengan antisipasi bahwa teknologi seperti itu akan didominasi oleh sistem miniatur di masa depan, selain memperkenalkan praktik mikrobiologi terkini kepada para peneliti, juga meninjau kemajuan teknologi terbaru yang terkait dengan bidang penelitian ini (Abbasian et al., 2018).

Perangkat Laboratory-on-a-chip (LoC), atau sistem analisis total mikro ( $\mu$ TAS), menawarkan keuntungan besar dalam hal materialnya (misalnya, substrat yang terlibat dalam reaksi kimia) dan waktu (misalnya deteksi cepat dan analisis yang mendalam). Sehingga hal ini menjadi salah satu sistem yang paling menjanjikan untuk pengembangan output berupa hasil pemeriksaan yang optimal dan biosensor yang terotomatisasi (Andersson & Van den Berg, 2003; Reyes et al., 2002). Sistem Perangkat Laboratory-on-a-chip (LoC) menampilkan sejumlah reaksi skala mikro dan ruang yang digunakan untuk menyiapkan sampel dan mengirimkan spesimen (misalnya, bakteri, DNA, dll.) menuju situs penginderaan yang tertanam secara miniatur di perangkat alat (Charbon, 2008). Bagian inti dari sistem Perangkat Laboratory-on-a-chip (LoC) yang dirancang untuk Deteksi mikroba adalah biosensor, yang terdiri dari elemen pengenalan dan sistem pembacaan (Charbon, 2008). Elemen pengenalan, misalnya antibodi, bakteriofag, peptida antimikroba, dan bakteriosin, digunakan untuk mengubah fenomena biologis menjadi variasi fisik atau kimia (Gambar 1) (Mannoor et al., 2010; Zhang, 2011).



Gambar 1. Ilustrasi biosensor untuk mendeteksi mikroorganisme termasuk elemen pengenalan yang dapat berupa agen mikrobiologis tertentu, mikroelektroda untuk pengukuran impedansi, impedansi elektronik reader (IMR). Output dari IMR akan dikirim ke komputer

Fitur mikroba apa pun, atau keberadaan faktor tertentu dalam mikroorganisme tertentu, termasuk elemen genomik, sifat antigenik, sifat elektromekanis, aktivitas metabolik, dan / atau indeks fotografi berpotensi berguna untuk mendeteksi mikroorganisme dalam sampel (Zhang, 2011). Sistem pembacaan atau transduser fisikokimia digunakan untuk merasakan, memperkuat, dan mengukur sinyal (perubahan mekanis, optik, elektrokimia, dan akustik) yang diperoleh dari elemen pengenalan (D. Zhang & Liu, 2016). Sistem pembacaan dapat diimplementasikan menggunakan teknologi sistem mikroelektromekanis (MEMS) atau teknologi mikroelektronik (Martins et al., 2011).

Di antara berbagai teknologi mikroelektronika yang bersaing untuk membaca biosensor, complementary metal-oxide-semiconductor/komplementer metal-oksida-semikonduktor



(CMOS) menawarkan kemampuan untuk menampung analog kompleks dan sirkuit terintegrasi digital untuk pemrosesan sinyal dan sensor untuk transduksi pada chip yang sama untuk melacak dan menganalisis jutaan perubahan pada tingkat skala nano / mikro dalam waktu dan biaya yang efektif (Martins et al., 2011). Potensi untuk produksi industri massal perangkat CMOS tersebut digabungkan dengan pemrosesan data berkinerja tinggi dan pembelajaran mesin back-end dapat membuatnya menjadi murah, dan perangkat otonom tersedia untuk sistem perawatan kesehatan pribadi (Martins et al., 2011). Sampai saat ini, banyak media telah melaporkan keuntungan CMOS untuk banyak aplikasi biologis, termasuk sekuensing DNA dan analisis pertumbuhan bakteri (Caillat et al., 1999; Han et al 2006; Lee et al., 2014). Namun, sebagian besar perangkat ini mengalami ketidakmampuan untuk membedakan antara mikroorganisme hidup dan mati, dan gagal untuk memisahkan dan mengidentifikasi etiologi mikroorganisme dalam sampel mikroba campuran (Caillat et al., 1999; Han et al 2006; Lee et al., 2014). Akibatnya, ukuran sel bakteri semakin kecil (biasanya 0,5-5  $\mu\text{m}$ ), dan karakterisasi multi-epitop dari permukaan sel bakteri, membatasi penerapan biosensor rutin untuk mendeteksi seluruh sel asupan mikroorganisme (Caillat et al., 1999; Han et al., Wang, 2006; Lee et al., 2014; Martins et al., 2011; Sze, 2008). Akibat dari batasan biosensing tersebut di atas, sebagian besar peneliti di bidang ini fokus pada deteksi kultur bakteri murni menggunakan sistem pembacaan optik dan listrik (Caillat et al., 1999; Han et al., Wang, 2006; Lee et al., 2014; Martins et al., 2011; Sze, 2008).

Teknologi sistem Perangkat Laboratory-on-a-chip (LoC) dapat dibagi menjadi teknik berbasis kultur dan teknik non kultur. Sistem non kultur bergantung pada sifat genom dan antigenik mikroorganisme, dan terbatas pada peralatan berteknologi tinggi yang membutuhkan teknisi terampil, dan ketidakmampuan sistem ini untuk membedakan antara sel hidup dan sel yang hancur (T. H. Kim et al., 2014; Otten et al., 2014). Prinsip dari sistem berbasis kultur adalah pengukuran perubahan sifat listrik dan kimia dari lingkungan mikro di sekitar sel yang sedang tumbuh (T. H. Kim et al., 2014; Q. Liu et al., 2014). Keuntungan utama dari sistem ini adalah deteksi langsung mikroorganisme tanpa kerumitan yang

terdapat dalam teknik yang mengandalkan label fluoresen atau genetik (T. H. Kim et al., 2014; Q. Liu et al., 2014). Namun, harus diperhatikan bahwa pemilihan metode untuk mendeteksi mikroorganisme dalam sampel sebagian besar bergantung pada sifat mikroorganisme dan kemampuannya untuk merespons perlakuan kimia dan fisik yang berbeda. Perlu disebutkan bahwa ada kemungkinan merancang perangkat deteksi menggunakan kombinasi teknologi ini untuk meningkatkan kualitas dan kemungkinan kecepatan diagnosis mikroba (Abbasian et al., 2018).

Buku ini membahas prinsip-prinsip metode mikrobiologi umum. Di antara metode ini, kita akan membahas imobilisasi bio-reporter pada permukaan untuk aplikasi biosensing di Bab 2. Deteksi sel mikroorganisme utuh atau bagian dari isi sel mikroorganisme, seperti kandungan genom, protein, dan asam lemak, akan dibahas dalam Bab 3-5. Bagian ini akan ditindaklanjuti dengan kesimpulan di Bab 6. Bagian ini juga akan mengemukakan tantangan utama dan pekerjaan masa depan yang kritis dalam teknologi penginderaan mikrobiologis. Bab 7 sebagai bagian terakhir akan membahas Laboratorium bergerak covid19 sebagai bagian dari aplikasi pemeriksaan mikrobiologi di masa pandemi covid19.

## BAB II

# IMOBILISASI BIO-REPORTER PADA PERMUKAAN FUNGSIONAL

**T**erlepas dari teknologi yang digunakan untuk mendeteksi mikroorganisme, immobilisasi partikel biologis pada permukaan beberapa sirkuit pengukuran merupakan tantangan nyata. Langkah ini memungkinkan bio-reporter, yang menentukan spesifisitas kit untuk target khusus, untuk dipasang dengan benar di permukaan kit, dan oleh karena itu merupakan upaya penting untuk meningkatkan kinerja kit dalam hal sensitivitas, spesifisitas dan jangka panjang (D. Kim & Herr, 2013). Strategi immobilisasi berbeda terutama dalam sifat permukaan yang difungsikan dan bio-reporter (D. Kim & Herr, 2013). Untuk aplikasi yang berbeda, bio-reporter dapat diimmobilisasi pada berbagai jenis permukaan slide yang difungsikan, termasuk kaca (Pack et al., 2007), silikon (Fabre & Hauquier, 2017), PDMS (polydimethylsiloxane) (Sarvi et al., 2013), COC (cyclic olefin

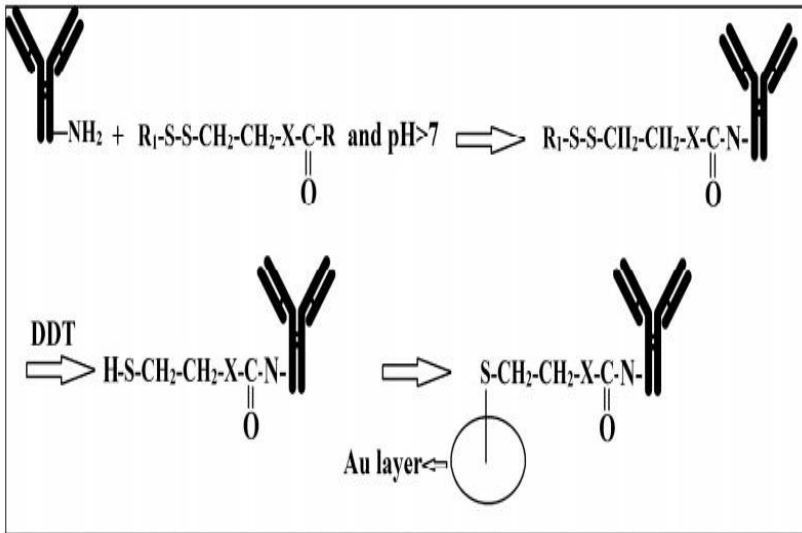
copolymer)(Laib & MacCraith, 2007), PS ( polistiren) (Xin et al., 2010), PMMA (polimetil-metakrilat) (Fixe et al., 2004), dan film logam (Rashid & Yusof, 2017). Untuk sebagian besar slide ini, pertama-tama permukaan ditutupi dengan lapisan zat silanisasi, seperti molekul alkoksilane siorganofungsional, yang menyediakan residu fungsional yang sesuai untuk penahan pada gugus fungsi protein (seperti -OH dan -NH<sub>2</sub>) (Xie et al., 2010). Park dan kawan kawan, misalnya, menggunakan sulfosuccinimidyl 6-[3-(2-pyridyl)dithio]propionamido]hexanoate (sulfo-LC-SPDP) sebagai cross-linker heterobifungsional yang mampu membuat pita NS dengan antibodi (Ab) di satu sisi dan reaksi tiol dengan lapisan aluminium pada permukaan slide (I. S. Park & Kim, 1998). Pemilihan lapisan sintesis sebagian besar tergantung pada sifat mereka, seperti kelembutan, transparansi optik, ketahanan kimia, serta biaya akhir dan fasilitasi fabrikasi (Khrenov et al., 2005; Kopetz et al., 2007). Selain keunggulan opsi ini, slide yang terbuat dari PMMA, PS, dan COC menunjukkan auto-fluoresensi yang lebih rendah dan mengandung gugus fungsi intrinsik untuk perlekatan protein (Irawan et al., 2007; Niles & Coassin, 2008).

Selain komposisi permukaan yang difungsikan, penerapan permukaan tiga dimensi dapat meningkatkan tingkat cakupan protein pada permukaan, dan oleh karena itu, dapat meningkatkan sensitivitas perangkat (Marques et al., 2013; Viswanathan et al., 2014). Permukaan dimensi dibuat oleh pembentukan microbeads (Hu et al., 2005), hidrogel (seperti gel poliakrilamida dan polietilen glikol) (Drury & Mooney, 2003), membran berpori (Piletsky et al., 2000), micropits (Iwasa et al., 2011), dan microposts (Ribeiro et al., 2014). Sementara teknologi silanisasi yang sama digunakan untuk membangun gugus fungsi pada permukaan silikon/kaca 3-D, permukaan 3-D berbasis polimer, termasuk monolit polimer, hidrogel, dan manik-manik agarosa dapat disesuaikan untuk imobilisasi menggunakan aktivasi oksidatif dari kelompok fungsional, polimerisasi graft, dan kopolimerisasi protein (D. Kim & Herr, 2013).

Seiring dengan tantangan perlekatan analit pada elektroda, pengendapan partikel yang tidak diinginkan pada permukaan, disebut sebagai fenomena pengotoran, adalah situasi lain yang

serius yang perlu ditangani untuk desain permukaan fungsional yang efisien. Masalah ini biasanya diselesaikan dengan penerapan berbagai metode fisika dan kimia. PDMS, misalnya, umumnya digunakan untuk fabrikasi perangkat mikofluida yang digunakan dalam analisis biologi dan kimia. Namun, bahan ini menunjukkan hidrofobisitas yang sangat tinggi, yang menyebabkan sifat biofouling dan keterbasahan yang rendah (Wong & Ho, 2009). Metode fisik yang digunakan untuk mengatasi kegagalan ini, seperti interaksi dengan interaksi elektrostatis atau hidrofobik dan aktivasi permukaan oleh sinar ultraviolet (UV), ozon, dan plasma oksigen, bersifat sangat sementara dan rentan terhadap kembalinya sifat hidrofobisitas (H. Zhang & Chiao, 2015). Namun, modifikasi kimia, di mana beberapa reagen digunakan untuk persiapan slide, meningkatkan imobilisasi karena penciptaan ikatan silang kovalen antara lapisan padat dan bio-reporter (H. Zhang & Chiao, 2015).

Beberapa faktor, termasuk sifat bio-reporter, sifat permukaan fungsional, aktivitas kimiawi aditif, seperti buffer dan co-faktor, dan juga, sensitivitas dan spesifisitas kit paling mempengaruhi strategi imobilisasi bio-reporter untuk tujuan tertentu (Rusmini et al., 2007). Bio-reporter diimobilisasi di permukaan menggunakan ikatan kovalen (dengan gugus asam amino sulfhidril, amina atau karboksilasi), interaksi bio-afinitas (interaksi spesifik, seperti avidin-biotin, protein G-Antibodi, hibridisasi DNA dengan DNA pelengkap dan juga, aptamers), fisiosorpsi (adsorpsi fisik bio-reports oleh interaksi antarmolekul energi rendah, seperti hidrogen, Van Der Waals, hidrofilik, dan ikatan elektrostatis), atau kombinasi dari ketiga faktor ini (Rusmini et al., 2007). Da Silva dan kawan-kawan (Da Silva et al., 2004) sel bakteri terbiotinilasi amobil ke slide yang dilapisi dengan pirol fungsionalisasi biotinilasi yang terpolimerisasi, menggunakan avidin sebagai molekul yang berinteraksi. Namun, imobilisasi (terutama) sel hidup ke permukaan menggunakan interaksi avidin-biotin dapat rentan terhadap gangguan enzimatik / non-enzimatik (Bogusiewicz et al., 2004), dan oleh karena itu, menyebabkan pelepasan sel target dari permukaan (Gambar 2).



Gambar 2. Absorpsi antibodi pada permukaan elektroda menggunakan cross-linker tiolasi. R1 dan R2 meninggalkan kelompok; X adalah residu yang tersisa setelah imobilisasi antibodi; DTT: dithiothreitol.

Aptamers, yang merupakan kelompok protein sintetis/alami/oligonukleotida dengan kemampuan untuk mengikat secara khusus pada molekul target, telah digunakan untuk desain biosensor sejak tahun 1980-an (Aizawa et al., 1980) karena :

- (a) afinitas tinggi terhadap target;
- (b) produksi in vitro; dan,
- (c) ukurannya yang kecil

yang secara keseluruhan memungkinkan untuk produksi kit amobil yang berbiaya rendah dan sangat padat dibandingkan dengan teknik spesifik lainnya (Rusmini et al., 2007). Sejak tahun 1990-an, banyak penelitian telah dilakukan pada penggunaan tunggal, atau kombinasi, dari aptamers ini sebagai alat yang

efektif untuk desain sensor deteksi mikroba yang mampu membuat ikatan yang kuat ke berbagai komponen sel mikroba, seperti dinding sel, sel. protein membran, flagela, enzim ekstraseluler, atau isi genom (RNA / DNA) (Y. S. Kim et al., 2014; Lian et al., 2015; Paniel et al., 2013; Queirós et al., 2013; So et al., 2008; Yi-Xian, W.; Zun-Zhong, Y.; Cheng-Yan, S.; Yi-Bin, 2012). Penerapan koktail molekul ini meningkatkan keterikatan target ke biosensor (Y. S. Kim et al., 2014). Namun, dalam kasus baik aptamer tunggal atau campuran aptamer ini, faktor ini tidak boleh mempengaruhi struktur konformasi dan fungsionalitas bio-reporter (Rusmini et al., 2007). Penerapan cross-linker heterobifungsional, yang berfungsi sebagai jembatan untuk menciptakan jarak yang besar antara sel dan permukaan, memfasilitasi interaksi sel-Ab pada elektroda (I. S. Park & Kim, 1998).

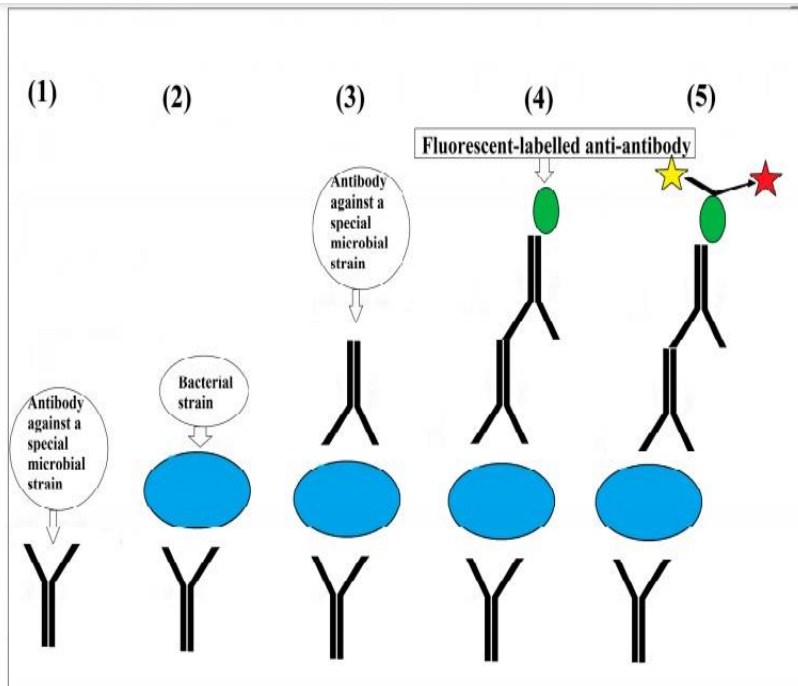
## **BAB III**

# **DETEKSI SEL UTUH**

**A**nalisis fenotipik mengacu pada langkah awal identifikasi sifat-sifat mikroorganisme yang dapat diamati. Metode konvensional membedakan subjek seluler berdasarkan ciri morfologi, seperti: ukuran, bentuk, motilitas dan jumlah flagela, sporulasi, bentuk dan posisi spora dalam sitoplasma, enkapsulasi, badan inklusi, ciri pewarnaan, dan karakteristik permukaan dan ultrastruktural. Koloni seluler juga dibedakan berdasarkan: bentuk, ukuran, elevasi, margin, opacity, konsistensi, dan pigmentasi (Donelli, 2016). Studi mikroskopis untuk mendeteksi sel mikroba utuh, yang terutama membutuhkan pewarnaan sebelum observasi, memakan waktu dan kurang spesifik (Baker, F.J.; Silverton, 2014; Mahon, C.R.; Lehman, D.C.; Manuselis, G., 2014), dan tidak mungkin menggunakan teknik ini di Sistem Perangkat Laboratory-on-a-chip (LoC), kecuali dalam kombinasi dengan sistem reporter, seperti fluoresensi (Abbasian et al., 2018).



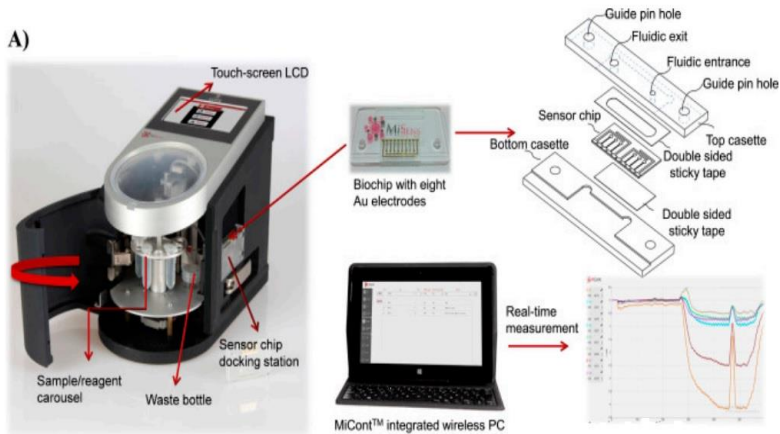
Biosensor yang digunakan untuk mendeteksi sel bakteri utuh umumnya menggunakan teknik detektor optik, listrik, dan kimia yang berbeda. Teknologi optik sebagian besar bergantung pada teknik sandwich tradisional yang digunakan untuk analisis immunoassay, di mana sel bakteri secara khusus ditangkap oleh antibodi yang diimmobilisasi pada kit, dan sel yang ditangkap dikenali oleh antibodi spesifik kedua yang terkonjugasi ke fluorescent/luminescent. pewarna (Lim et al., 2015; Myers & Lee, 2008; Noble & Weisberg, 2005) (Gambar 3).



Gambar 3. Teknik sandwich: dalam metode ini, antibodi spesifik dapat digunakan untuk mengikat partikel pada permukaan sebuah chip. Penempelan antibodi spesifik lain di bagian bebas partikel, bisa jadi dikenali dengan penambahan anti-antibodi berlabel fluorescent

Myong Song et al misalnya, menggunakan laser induced fluorescence (LIF) untuk mengenali reaksi sel antibodi bakteri (*Bacillus globigii*) dalam sistem CMOS (Song et al., 2005).

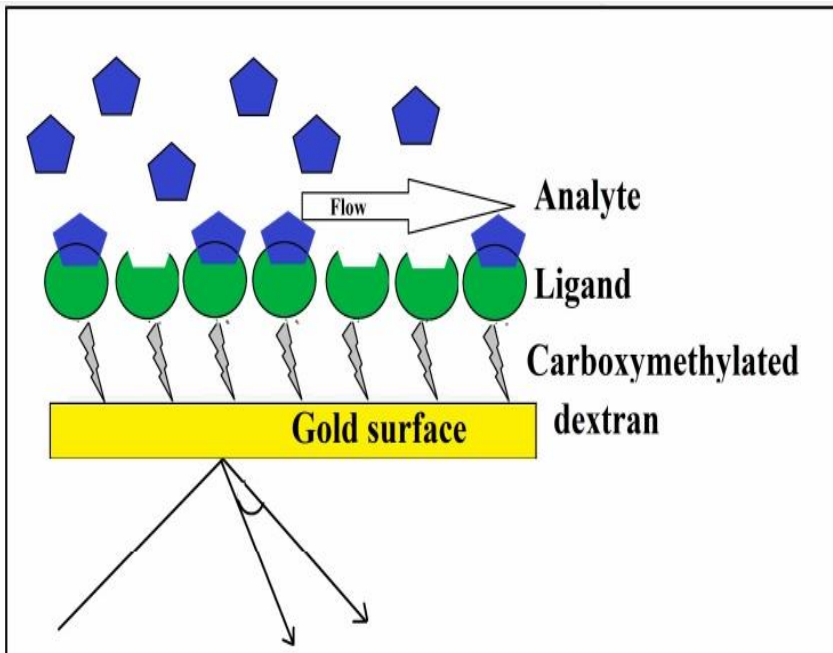
Dimungkinkan untuk menerapkan Biosensor Serat Optik (FOBs) dalam struktur sandwich, di mana antibodi diimobilisasi pada serat optik sehingga sel-sel melekat padanya. Pengikatan faktor pelabelan sekunder ke kompleks secara keseluruhan ini akan mengubah sinyal optik yang melewati serat (Pospíšilová et al., 2015). Altintas dan kawan kawan, misalnya, baru-baru ini dapat menggunakan kombinasi perangkat mikrofluida dan biosensor terkonjugasi lobak pedas (HRP) untuk merancang perangkat bebas tenaga kerja otomatis untuk mendeteksi *E. coli*. Elektron yang dibutuhkan untuk mereduksi  $H_2O_2$  menjadi  $H_2O$  oleh peroksidase dipasok oleh TMB (3,30,5,50 -Tetramethylbenzidine), dan semua perubahan listrik dapat dideteksi oleh elektroda emas yang sensitif (Gambar 4) (Altintas et al., 2018).



Gambar 4. Desain perangkat mikroluida berdasarkan biosensor terkonjugasi lobak pedas Peroxidase (HRP) untuk mendeteksi E. coli. Di sini, sel bakteri target mengikat antibodi spesifiknya pada chip sensor emas. Sel-sel bakteri yang terikat pada biosensor dikenali dengan penambahan antibodi terkonjugasi lobak pedas Peroxidase (HRP) spesifik strain lain. Langkah pencucian antara setiap sampel atau penambahan antibodi akan menghilangkan semua sel yang tidak terikat atau antibodi terkonjugasi (HRP), dan oleh karena itu, setiap reaksi enzimatik di media terjadi sebagai akibat dari adanya antibodi yang terikat pada sel (Altintas et al., 2018). Reaksi enzimatik dari H<sub>2</sub>O<sub>2</sub> menjadi reduksi H<sub>2</sub>O dikaitkan dengan oksidasi TMB (3,30, 5,50 -Tetramethylbenzidine), yang dapat dideteksi dengan elektroda emas yang sangat sensitif (Gambar ini digunakan dengan izin dari Elsevier)

Yao dan kawan kawan menggunakan bakteriofag sebagai biosensor spesifik untuk mendeteksi *E. coli* dalam sistem sensor terintegrasi berbasis CMOS (Yao, L.; Hajj-Hassan, M.; Ghafar-Zadeh, E.; Shabani, A.; Chodavarapu, V.; Zourob, 2008). Nikkhoo dan kawan kawan mampu meningkatkan sensitivitas reseptor bakteriofag dengan penggunaan transistor efek medan sensitif ion (ISFET) yang diimplementasikan dalam CMOS 0,18  $\mu\text{m}$  konvensional dengan tambahan perlakuan pasca proses, terutama yang sensitif kalium berbasis PVC membran di atas chip (Nikkhoo et al., 2013). Mejri dan kawan kawan menunjukkan bahwa penerapan bakteriofag untuk mendeteksi spesies bakteri lebih spesifik dan akurat daripada penggunaan antibodi, karena fag mampu menghasilkan sinyal ganda berturut-turut dari tren yang berlawanan dari waktu ke waktu (Mejri et al., 2010). Secara khusus, peningkatan awal dalam impedansi karena perlekatan sel bakteri ke fag diikuti oleh penurunan nilai secara mendadak dikarenakan lisis sel bakteri (sebagai akibat dari aktivitas litik fag) (Mejri et al., 2010).

Pengembangan molekul afinitas tinggi yang berbeda, seperti antibodi, fag, dan faktor alami / sintetis lainnya untuk mendeteksi gugus tertentu, seperti epitop antigenik, reseptor, dan hidrokarbon spesifik. Pada permukaan bakteri telah meningkatkan perangkat berbasis optik untuk mendeteksi mikroorganisme (Bogas et al., 2017). Selanjutnya, para ilmuwan telah berfokus pada cara untuk mengatasi keterbatasan langkah preparasi sampel menggunakan aplikasi yang disebut metode optik bebas label, seperti Surface Plasmon Resonance (SPR) (Gambar 5) (Eletxigerra et al., 2016).



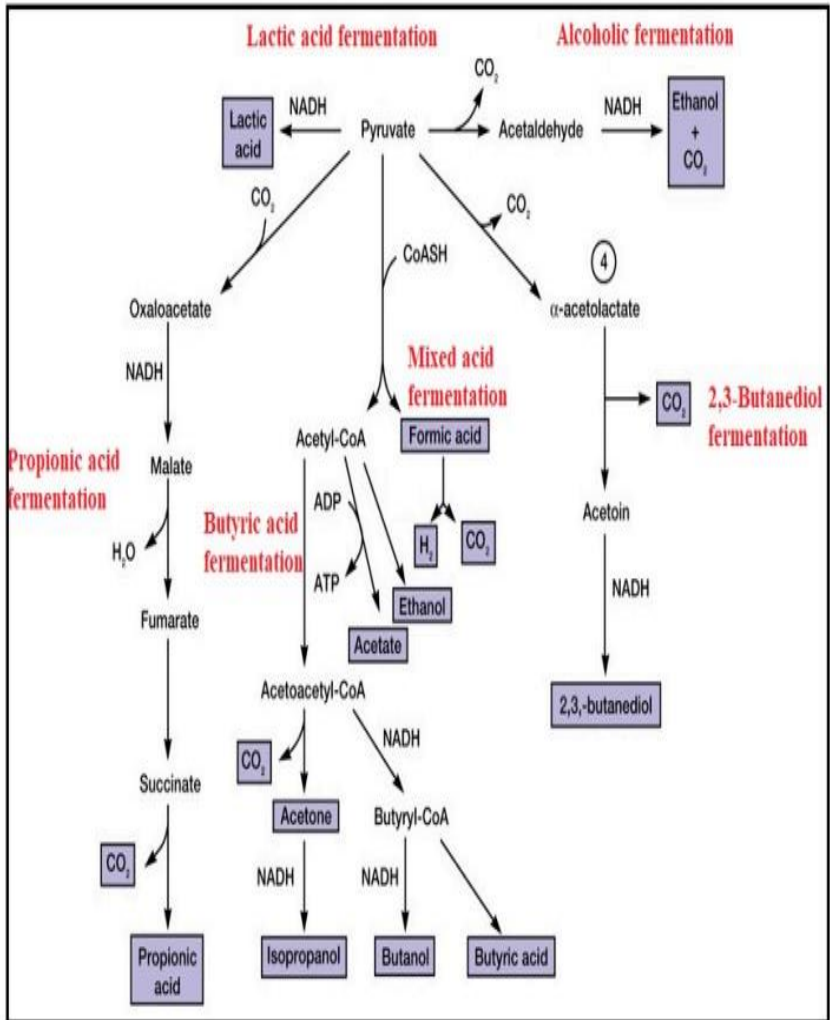
Gambar 5. Resonansi Plasmon Permukaan (SPR); analit mengikat ligan spesifiknya di permukaan dari prisma kaca. Interaksi ini dideteksi dengan melewati cahaya terpolarisasi bidang melalui film ini ke permukaan transduser yang menghasilkan medan listrik

Dalam sistem Surface Plasmon Resonance (SPR), cahaya terpolarisasi bidang melewati prisma kaca untuk mencapai permukaan transduser, sebagai tanggapan menghasilkan medan listrik. Perlekatan reseptor spesifik (seperti antibodi, lektin, dan bakteriofag) ke permukaan ini membuat transduser ini spesifik untuk jenis analit khusus; setiap pengikatan transduser-analit akan dikaitkan dengan perubahan medan listrik (Eletxigerra et al., 2016). Bouguelia et al., Misalnya, dapat menggunakan sistem ini untuk pemantauan bebas label dan real time dari penggandaan sel tunggal bakteri pada biochip (Bouguelia et al., 2013). Yoon dkk. menggunakan sirkuit filter bandpass frekuensi radio (RF) /

microwave mikrostrip di mana bakteri yang ada dalam sampel air terperangkap di atas filter planar (Yoon, 2003). Sel bakteri yang terperangkap mengubah permitivitas relatif bahan isolasi, sehingga mengubah respons frekuensi filter. Namun, sistem ini hanya mampu mendeteksi keberadaan mikroorganisme dan tidak mampu membedakan berbagai jenis mikroorganisme. Oleh karena itu, sistem tersebut belum memberikan manfaat langsung pada pemeriksaan rutin di laboratorium mikrobiologi, untuk mendeteksi berbagai mikroorganisme. Sementara immobilisasi serangkaian antibodi spesifik pada chip tersebut dan analisis data keluar dari sistem ini dapat diterapkan untuk deteksi spesifik dari satu atau beberapa mikroorganisme yang diketahui bahkan dalam kontaminasi gabungan atau sampel lingkungan atau klinis yang kompleks, chip ini dapat digunakan untuk deteksi hanya bakteri yang spesifik untuk antibodi tersebut (Abbasion et al., 2018).

Penerapan biosensor mekanis, seperti teknologi cantilever (Hsieh et al., 2013; Lim et al., 2015) dan quartz crystal microbalance (QCM), adalah strategi baru untuk meningkatkan sensitivitas dan biaya akhir perangkat Sistem Perangkat Laboratory-on-a-chip (LoC) (X. Guo et al., 2012). Dalam kombinasi dengan reseptor spesifik dan sensor kantilever dengan osilasi pada frekuensi resonansi tertentu, perangkat berbasis mikro-kantilever mengukur perubahan frekuensi resonansi yang disebabkan oleh pengikatan sel tertentu ke reseptor (Garipcan, B.; Caglayan, M.; Demirel, 2011). Dengan strategi yang sama, quartz crystal microbalance (QCM) mendeteksi perubahan mikro dalam massa total reseptor setelah ikatan sel ke reseptor spesifiknya, yang melekat pada biosensor piezoelektrik (Hao et al., 2011). Miniaturisasi peralatan tersebut akan mengurangi ukuran besar perangkat dan, oleh karena itu, akan membuat perangkat ini terjangkau untuk tujuan Sistem Perangkat Laboratory-on-a-chip (LoC) (Malic et al., 2010). Namun, harus disebutkan bahwa semua perangkat yang dirancang hingga saat ini hanya dapat mendeteksi satu strain bakteri, dan oleh karena itu, aplikasi perangkat ini memerlukan informasi sebelumnya tentang sifat sel, terutama fitur antigeniknya.

Selain ciri fisiknya, mikroorganisme dapat dideteksi berdasarkan reaksi metabolik dan biokimia serta karakteristik fisiologisnya (Baker, F.J.; Silverton, 2014; Mahon, C.R.; Lehman, D.C.; Manuselis, G., 2014). Untuk menggunakan fitur ini untuk identifikasi, mikroorganisme ditanam di media mikroba dan bergantung pada tes khusus berdasarkan aktivitas enzimatik, kebutuhan akan pertumbuhan mikroba, ketahanan mikroba terhadap bahan kimia khusus atau faktor fisik, dan komposisi asam lemak mikroba (Baker, F.J.; Silverton, 2014; Mahon, C.R.; Lehman, D.C.; Manuselis, G., 2014). Secara konvensional, tes biokimia digunakan untuk diferensiasi bakteri berdasarkan kemampuan genetiknya untuk memetabolisme dan mengubah kelompok substrat khusus (Baker, F.J.; Silverton, 2014; Mahon, C.R.; Lehman, D.C.; Manuselis, G., 2014). Bakteri yang dapat dibudidayakan ditanam dalam rangkaian media yang berbeda, masing-masing mengandung substrat tertentu. Dengan demikian, kemampuan mereka untuk menggunakan substrat yang berbeda (karbon, nitrogen, dan belerang), kemampuan mereka untuk menghasilkan segala jenis produk fermentasi, kepekaan mereka terhadap penghambat metabolik (seperti  $O_2$ ,  $H_2O_2$ , suhu, pH dan tekanan osmotik) dan antibiotik, dan respon mereka terhadap produksi enzim yang mendegradasi, diperiksa berdasarkan pengamatan perubahan permukaan, tekstur, atau warna media (Gambar 6) (Baker, F.J.; Silverton, 2014; Mahon, C.R.; Lehman, D.C.; Manuselis, G., 2014).

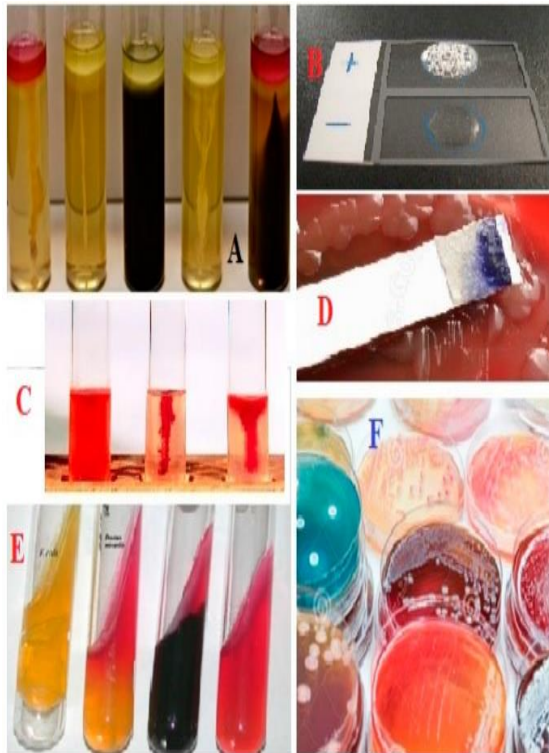


Gambar 6. Deskripsi skema fermentasi mikroba

Keputusan akhir untuk mendeteksi bakteri yang dapat dibudidayakan (dikultur) dibuat berdasarkan analisis respons mikroba terhadap kombinasi kemampuan metabolisme dan pertumbuhan yang berbeda (Baker, F.J.; Silverton, 2014).



Memang, respons mikroba terhadap kriteria deteksi yang kompleks adalah eksklusif untuk galur tertentu dan dapat digunakan sebagai tanda untuk galur itu. Analisis berbasis kultur untuk deteksi bakteri dilaporkan berdasarkan pengamatan perubahan fisik / kimia dalam media (seperti perubahan warna, kekeruhan, produksi gas, dan sebagainya) setelah inkubasi semalaman untuk pertumbuhan bakteri yang membuat pengujian ini terlalu memakan waktu dan terkadang tidak dapat dipercaya (Gambar 7)(Carroll, K.C.; Butel, J.; Morse, 2015).

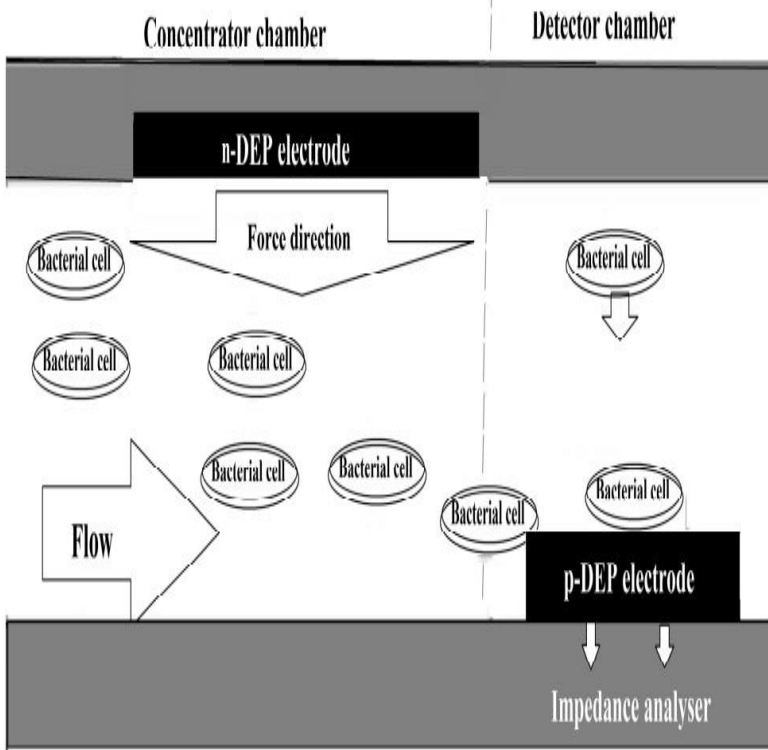


Gambar 7. Aktivitas metabolisme mikroorganisme merupakan faktor terpenting untuk mendeteksi mikroorganisme dalam bakteriologi konvensional

**Keterangan:**

- A = media SIM (Sulfide-Indole-Motility);
- B = Katalase;
- C = Media SIM dengan inokulasi bakteri berbeda;
- D = Uji Oksidase;
- E = TSI (Triple Sugar Iron Agar);
- F = Berbagai Media Agar plat

Penggunaan perangkat Sistem Perangkat Laboratory-on-a-chip (LoC) yang menggabungkan biosensor elektromekanis untuk analisis data memberikan kemungkinan merancang pendekatan yang sangat sensitif, hemat biaya, dan cepat untuk mendeteksi sedikit perubahan dalam media pertumbuhan mikroba, yang terkait dengan aktivitas mikroba (Andersson & Van den Berg, 2003; Reyes et al., 2002; Su et al., 2011). Sistem BacT / Alert (Gambar 8), misalnya, adalah instrumen berbasis produksi CO<sub>2</sub> yang digunakan untuk mendeteksi infeksi darah yang disebabkan oleh berbagai jenis bakteri (Carroll, K.C.; Butel, J.; Morse, 2015). Dalam sistem ini, produksi CO<sub>2</sub> di media akuatik menghasilkan H<sub>2</sub>CO<sub>3</sub>- dan H<sup>+</sup>, dan interaksi hidrogen bebas dengan sensor pH mengarah pada pembangkitan sinyal tegangan. Namun sistem ini hanya mampu mendeteksi keberadaan mikroorganisme dalam sampel tertentu, sedangkan jenis dan keragaman mikroorganisme harus dideteksi dengan analisis mikroba lebih lanjut.



Gambar 8. Sistem mikrofuida untuk mengarahkan dan memusatkan sel bakteri pada elektroda berdasarkan aliran dan dielektroforesis. Sel-sel yang dikumpulkan di sisi positif layar elektroforesis terdeteksi oleh penganalisa impedansi

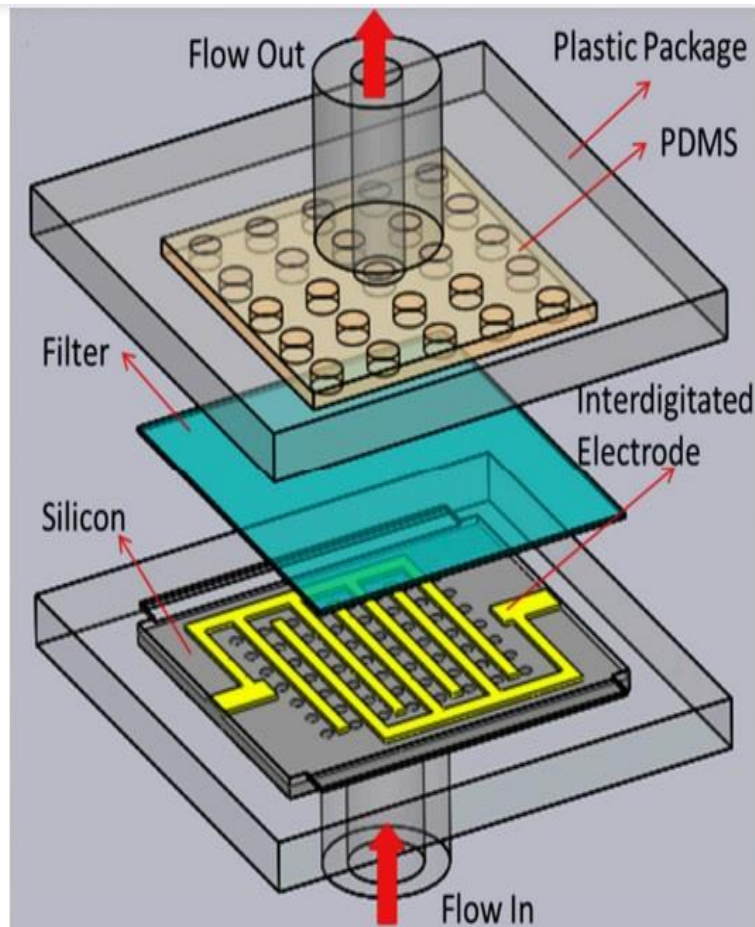
Untuk mengatasi masalah ini, biosensor elektrokimia baru-baru ini dimasukkan dalam desain versi baru Sistem Perangkat Laboratory-on-a-chip (LoC) komersial (Grieshaber et al., 2008)(Ronkainen et al., 2010). Keuntungan dari sistem ini adalah kapasitasnya untuk menerapkan perangkat yang bebas label, hemat biaya, real time (waktu nyata), miniatur, dan sangat sensitif (Grieshaber et al., 2008)(Ronkainen et al., 2010). Strategi di balik sensor elektrokimia adalah untuk mengukur perubahan listrik termasuk tegangan (potensiometer) atau arus (amperometri) atau impedansi (impedometri) (Grieshaber et al., 2008; Ronkainen et

al., 2010; Su et al., 2011). Biosensor impedometri bergantung pada sifat elektrofisiologi sel mikroba dan oleh karena itu bekerja berdasarkan perubahan resistensi transfer elektron dan kapasitansi setelah sel menempel pada elektroda atau lisis sel (Kurkina et al., 2011; Pohanka, M.; Skládál, 2008). Berbeda dengan sifat konduktivitas tinggi (sampai 1 S/m) dari sitoplasma, membran sel bakteri sangat terisolasi (dengan konduktivitas rata-rata  $10^{-7}$  S/m) (Pethig & Markx, 1997). Oleh karena itu, sementara perlekatan sel mengurangi impedansi partikel, lisis sel dapat menyebabkan peningkatan indeks ini (Suehiro et al., 2005; Yang, 2008). Inilah alasan mengapa studi impedometrik dari seluruh sel bakteri dalam air deionisasi (DI) menghasilkan respons yang lebih baik dibandingkan dengan yang ada di PBS (larutan buffer fosfat) (Kurkina et al., 2011; Pohanka, M.; Skládál, 2008) yang lebih konduktif dan karenanya mengaburkan kontribusi impedometrik dari sel bahan yang sedang diuji. Biosensor impedometri dapat dibuat spesifik untuk jenis sel mikroba tertentu setelah asosiasi elektroda dengan reseptor spesifik, seperti antibodi dan bakteriofag (Kurkina et al., 2011; Pohanka, M.; Skládál, 2008). Nilai impedometrik dari interaksi ini dikategorikan sebagai Faradaic, ketika interaksi dideteksi oleh mediator seperti Ferricyanide dan Hexa-ammineruthenium III/II, atau non-Faradaic, tanpa adanya mediator.

Hasil deteksi mikroba berdasarkan analisis impedometri tergantung pada ukuran dan bentuk analit, afinitas absorbansi dari bioreseptor yang dipilih, cara penyajian data (seperti impedansi absolut/imajiner/nyata dan perubahan Rct mentah/persen) serta bahan yang digunakan untuk elektroda dan lapisan dasar (Ahmed et al., 2014; Lan et al., 2013). Teknologi ini telah digunakan untuk mendeteksi mikroorganisme sejak tahun 1970-an, dan ada banyak laporan yang menggunakan faktor ini untuk analisis mikroba dalam produk makanan, spesimen klinis dan sampel lingkungan (Ahmed et al., 2014; Lan et al., 2013). Sementara penerapan faktor impedansi sebagai satu-satunya faktor detektif tidak spesifik untuk mendeteksi spesies mikroba, integrasi antibodi poliklonal dan spektroskopi impedansi elektrokimia (EIS) mengubah sistem ini menjadi sangat spesifik untuk mikroba tertentu (Fournier-Wirth et al., 2007). Dalam pengalaman yang

dilakukan oleh Fournier dan kawan kawan, EIS terkonjugasi antibodi lebih sensitif daripada SRP untuk mendeteksi *E. coli* (masing-masing 10 cfu/mL versus 107 cfu/mL) [86].

Teknologi impedansi untuk mendeteksi mikroorganisme dapat ditingkatkan dengan integrasi dielektroforesis (DEP) ke chip, yang memungkinkan sistem untuk memusatkan sel mikroba dari sampel mikroba yang diencerkan (Hamada et al., 2013; Yang & Bashir, 2008). Dalam sistem ini, perangkat mikofluida dirancang sedemikian rupa sehingga sel-sel mikroba ditolak oleh gaya aliran cairan dan DEP negatif untuk diendapkan pada DEP positif yang terletak di hilir perangkat. Sel-sel mikroba yang terkonsentrasi pada DEP positif dideteksi oleh penganalisis impedansi (Gambar 8) (Hamada et al., 2013). Sistem ini dapat spesifik untuk mendeteksi mikroorganisme tertentu dalam campuran mikroba jika DEP positif ditutupi oleh antibodi spesifik (Suehiro et al., 2006). Suehiro dan kawan kawan, misalnya, menerapkan strategi ini untuk mengarahkan campuran mikroorganisme ke mikroelektroda terkonjugasi antibodi. Langkah pembilasan setelah pengikatan spesies bakteri spesifik ke antibodi menghilangkan semua bakteri non-target, dan oleh karena itu, sistem ini spesifik untuk mendeteksi strain bakteri tertentu dalam campuran mikroorganisme (Suehiro et al., 2006). Dalam strategi lain untuk meningkatkan sensitivitas detektor berbasis impedansi, Jiang dan rekan-rekannya merancang perangkat mikofluida di mana larutan mikroba dilewatkan melalui filter di mana sel-sel mikroba yang terperangkap dalam filter dideteksi oleh elektroda terintegrasi yang terletak di bawah filter (Gambar 9) (Jiang et al., 2014). Sensitivitas perangkat ini diklaim 10 sel bakteri per mililiter.

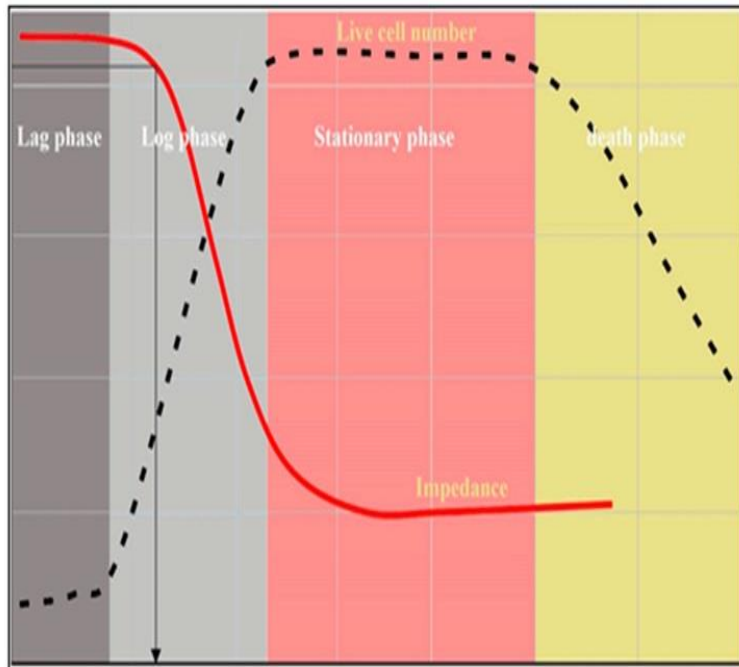


Gambar 9. Tampilan penampang dari spektroskopi impedansi elektrokimia terintegrasi untuk deteksi bakteri; dalam sistem ini, suspensi bakteri diterbangkan ke filter nanopore di atas elektroda tempat sel-sel terperangkap dalam filter dan sisa suspensi diterbangkan (Jiang et al., 2014) (Gambar ini digunakan dengan izin dari Elsevier)

Teknologi berbasis amperometri mengukur perubahan arus media mikroba, yang berbanding lurus dengan konsentrasi reaktan atau sel mikroba (Grieshaber et al., 2008). Indeks amperometrik

media mikroba berubah sebagai akibat dari metabolisme mikroba yang mengarah pada pelepasan atau penyerapan metabolit atau elemen ionik (Grieshaber et al., 2008). Perangkat potensiometri berfungsi berdasarkan pengenalan analit oleh elektroda ion spesifik, yang dapat dilacak berdasarkan perubahan potensi media pertumbuhan mikroba (Simonian, A.L.; Rainina, E.I.; Wild, 1998). Teknologi potensiometri telah digunakan untuk deteksi sel secara keseluruhan dari beberapa jenis sel bakteri, seperti bakteri pereduksi sulfat [SRB] (Wan et al., 2011) dan *Staphylococcus aureus* (Hernández et al., 2014) masing-masing dengan teknologi analisis pengupasan potensial (PSA, Potential Stripping Analysis) dan gaya gerak listrik (EMF, electro motive force).

Perangkat baktometer yang tersedia secara komersial menggunakan kombinasi konduktansi, kapasitansi, dan impedansi untuk melakukan beberapa analisis mikroba per jam (Thorpe et al., 1990), dan mampu melakukan analisis mikroba pada berbagai jenis mikroorganisme, termasuk bakteri, jamur, virus, alga dan protozoa. Perubahan sinyal listrik keluaran sepanjang pertumbuhan mikroba tergantung pada sifat media, inoculasi primer mikroba, laju penggandaan mikroba, dan adanya kondisi fisikokimia yang optimal, termasuk pH, suhu (Ahmed et al., 2014). Waktu ambang batas untuk setiap mikroorganisme adalah waktu kurva indeks listrik mulai dipercepat (Brosel-Oliu, S.; Uria, N.; Abramova, N.; Bratov, 2015) (Gambar 10), dan dimulai pada konsentrasi  $10^7$  bakteri (2-11) dan  $10^4$ - $10^5$  ragi (2-10) per milimeter . Karena perubahan listrik lingkungan mikroba dipengaruhi oleh aktivitas metabolisme mikroorganisme, sifat media mikroba merupakan faktor penting untuk deteksi mikroorganisme yang lebih sensitif (Brosel-Oliu, S.; Uria, N.; Abramova, N.; Bratov, 2015).



Gambar 10. Kurva pertumbuhan bakteri. Fase lag setelah inokulasi media dengan bakteri, diikuti oleh pertumbuhan logaritmik bakteri (garis putus-putus). Kekurangan nutrisi dan produksi senyawa beracun dalam media menyebabkan penurunan pertumbuhan mikroba selama fase diam dan mati pada langkah terakhir. Jumlah sel dalam media ini berbanding terbalik dengan media impedansi (garis merah). Sumbu x : waktu, dan sumbu y : pertumbuhan bakteri

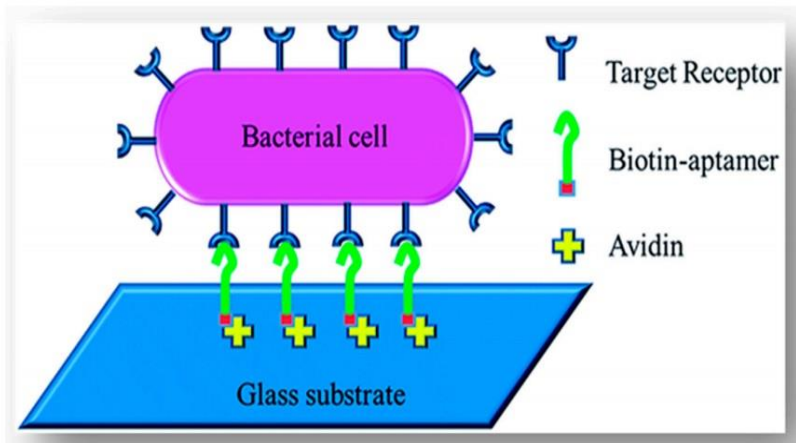
Secara keseluruhan, analisis real-time pertumbuhan mikroba dan kemungkinan miniaturisasi perangkat ini merupakan keuntungan yang paling menonjol dari penerapan biosensor elektrokimia untuk tujuan pengembangan penelitian ini (Ahmed et al., 2014). Selanjutnya, Ada kemungkinan pengukuran jumlah sel dalam sampel yang diberikan berdasarkan pengukuran keluaran listrik (Ahmed et al., 2014). Selain itu, berdasarkan perubahan indeks listrik suatu mikroorganisme dengan adanya inhibitor pertumbuhan, teknologi ini mampu menentukan kerentanan bakteri terhadap inhibitor pertumbuhan seperti antibiotik yang



dapat digunakan untuk tes antibiogram (tes rutin yang dilakukan oleh ahli mikrobiologi di laboratorium medis untuk menentukan tingkat sensitivitas mikroba terhadap antibiotik) (Abeyrathne et al., 2016). Teknologi ini sangat berguna untuk mempercepat deteksi aktivitas metabolisme lambat, seperti yang dapat dilihat pada mikroorganisme yang tumbuh lambat, seperti *Mycobacterium sp.* (Cabibbe et al., 2015; Foudeh, A.M.; Didar, T.F.; Veres, T.; Tabrizian, 2012) atau dalam beberapa aktivitas mikroba anaerobik, seperti desulfurisasi mikroba (Wan et al., 2011). Namun, setiap perangkat inovatif untuk deteksi bakteri berdasarkan aktivitas elektrokimia harus mengatasi gangguan yang disebabkan oleh strain bakteri lain yang ada dalam sampel bakteri, terutama dalam sampel lingkungan atau jumlah yang banyak dari sampel klinis seperti tinja dan dahak.

Di sisi lain, sementara penerapan metode sandwich berdasarkan reagen tertentu (seperti antibodi, bakteriofag, reseptor, enzim, dan sebagainya) dalam hubungannya dengan faktor deteksi elektrokimia membuat perangkat deteksi sangat spesifik untuk jenis mikroorganisme tertentu (Mark, D.; Haeberle, S.; Roth, G.; Von Stetten, F.; Zengerle, 2010; S. Wang et al., 2012), pendekatan ini gagal mendeteksi keberadaan beberapa mikroorganisme dalam sampel. Lebih lanjut, dalam kasus penggunaan beberapa antibodi spesifik untuk beberapa deteksi mikroba, chip ini (biasanya terbuat dari emas) dapat dibuang dan oleh karena itu, terlalu mahal untuk desain Sistem Perangkat Laboratory-on-a-chip (LoC) (Mark, D.; Haeberle, S.; Roth, G.; Von Stetten, F.; Zengerle, 2010; S. Wang et al., 2012). Namun, desain dan penerapan teknologi baru yang terkait dengan struktur matriks dasar dan elektroda, seperti immunosensor impedometri berbasis membran nanopori (Joung et al., 2013), kertas oksida graphene tereduksi (Haque et al., 2012), kabel platinum (Prabhulkar et al., 2009), busa nikel (Wan et al., 2010), dapat meningkatkan sensitivitas dan spesifisitas perangkat ini. Imobilisasi antibodi pada permukaan membran nanopori menggunakan zat perekat, seperti asam hialuronat, membuat permukaan pengikatan yang sangat spesifik di mana perlekatan bakteri mengubah permeabilitas ion melalui membran, dengan efeknya yang dapat dilacak oleh sensor listrik (Jha et al., 2011).

Integrasi aptamers (molekul peptida atau oligonukleotida kecil dengan kemampuan untuk mengikat secara khusus pada molekul target) dengan sistem deteksi adalah strategi lain untuk mencapai deteksi mikroorganisme yang lebih spesifik bahkan dalam campuran mikroorganisme (Hernández et al., 2014). Penerapan faktor deteksi yang berbeda dalam sistem tersebut dapat memberikan chip deteksi untuk beberapa mikroorganisme patogen. Wu et al., misalnya, menggunakan multi-warna (luminescent) up-conversion nanoparticles (UCNPs) dalam kombinasi dengan aptamers spesifik untuk setiap strain bakteri (keseluruhan tiga strain) untuk merancang chip sensitif untuk deteksi simultan tiga bakteri dalam kompleks (makanan) lingkungan (Gambar 11) (S. Wu et al., 2014). Namun, dalam kasus ini, peningkatan jumlah regangan mengintensifkan gangguan pendaran, dan oleh karena itu, menurunkan sensitivitas dan spesifisitas kit. Lebih lanjut, jumlah galur yang dapat dideteksi dalam sistem ini terbatas pada jumlah aptamers yang diketahui spesifik untuk mikroorganisme ini.



Gambar 11. Deskripsi skema sederhana tentang penggunaan aptamers untuk mendeteksi mikroorganisme. Dalam kondisi ini, kompleks Biotin-aptamer bekerja sebagai perantara spesifik antara strain mikroba, yang bebas di media dan Avidin, yang distabilkan di permukaan

## **BAB IV**

# **ANALISIS BERBASIS GENOM**

**S**tudi genomik mikroba saat ini merupakan metode identifikasi dan klasifikasi molekuler yang paling populer dari mikroorganisme dalam berbagai jenis sampel berdasarkan pemilihan satu atau lebih target molekuler spesifik, seperti DNA, RNA dan protein, tanpa persyaratan untuk tumbuh di media kultur mereka (Logares et al., 2014). Tes deteksi mikroba genetik dapat diklasifikasikan ke dalam konten genom GC% (Guanine + Cytosine), amplifikasi pola (reaksi berantai polimerase; PCR, dan amplifikasi isothermal yang dimediasi loop; LAMP), hibridisasi DNA/RNA, polimorfisme genom (seperti RFLP: fragmen restriksi polimorfisme panjang dan AFLP: polimorfisme panjang fragmen yang diperkuat) dan pengurutan gen (Elizaquível et al., 2014; Kanitkar et al., 2016; Murray, P.R.; Rosenthal, K.S.; Pfaller, 2015)

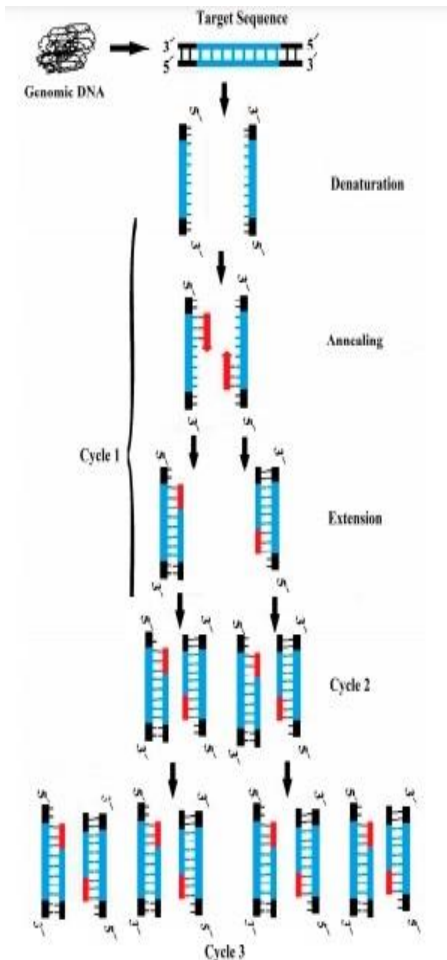
Selain preparasi sampel dan ekstraksi genom, sebagian besar metode ini memerlukan amplifikasi asam nukleat dan langkah analisis ampikon (Murray, P.R.; Rosenthal, K.S.; Pfaller, 2015). Persiapan sampel dan langkah ekstraksi DNA adalah langkah yang sangat menantang karena penghilangan inhibitor dari sampel genom dan pengukuran yang akurat dari isi genom awal per jumlah sampel tertentu, yang digunakan dalam metode kuantitatif (Murray, P.R.; Rosenthal, K.S.; Pfaller, 2015). Sampel ini selalu melewati langkah pengayaan, yang dapat dilakukan dengan inkubasi bakteri semalaman dalam sampel tertentu (hanya terbatas pada bakteri yang dapat dibudidayakan/dikultur), sentrifugasi, dan pemisahan imunomagnetik (Elizaquível et al., 2014; Kanitkar et al., 2016; Murray, P.R.; Rosenthal, K.S.; Pfaller, 2015). Kedua teknik sampel terbaru ini dapat diterapkan untuk menghilangkan matriks dari mikroorganisme, yang memang berguna untuk menghilangkan inhibitor dari genom (Elizaquível et al., 2014; Kanitkar et al., 2016; Murray, P.R.; Rosenthal, K.S.; Pfaller, 2015). Kombinasi protokol lisis alkali konvensional dengan pengikatan DNA ke silika atau turunannya telah memberikan kemungkinan untuk merancang perangkat mikofluida otomatis yang hemat biaya untuk isolasi DNA (Lakshmi et al., 1999). Bavykin et al., misalnya, telah mengembangkan teknik di mana lisis sel dilakukan dengan adanya agen chaotropic tinggi, seperti guanidin tiosianat (GuSCN), diikuti dengan injeksi lisat sel melalui mikro silika yang dioperasikan dengan jarum suntik universal, kolom untuk menangkap isi RNA/DNA (Bavykin et al., 2001).

#### 4.1. Kandungan Guanin-Sitosin

Isi genom GC% adalah persentase jumlah guanin dan sitosin dalam DNA atau RNA sel. Sementara GC% sangat bervariasi dalam berbagai jenis mikroorganisme, 17-75% (Brocchieri, 2014), itu tidak dapat digunakan sebagai satu-satunya kriteria untuk membedakan mikroorganisme. Memang, GC% adalah faktor yang berguna untuk mendeteksi mikroorganisme bersama dengan kombinasi karakterisasi genetik/fenotipe lainnya.

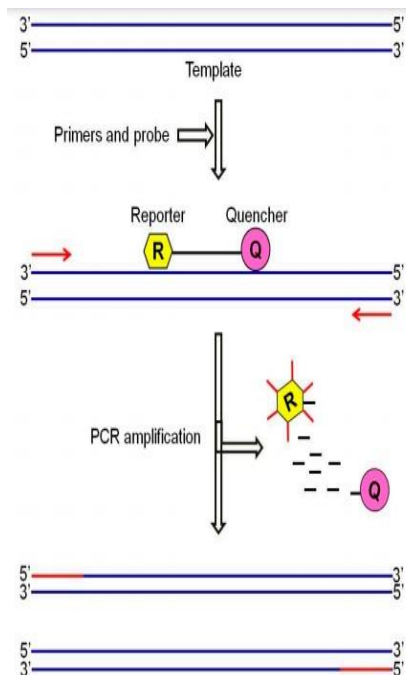
## 4.2. Teknik Sequence Amplifikasi

PCR adalah teknik di mana satu atau lebih fragmen spesifik dari genom diamplifikasi menggunakan primer spesifik, yang akhirnya dideteksi berdasarkan ukuran fragmen dalam PCR konvensional, reaksi berantai polimerase, atau reporter fluoresen secara real-time PCR (Abbasian, F.; Saberbaghi, 2013). Dalam PCR konvensional (Gambar 12), fragmen yang diperkuat bergerak di bawah muatan listrik khusus yang memisahkan fragmen berdasarkan ukurannya dan dengan demikian menghasilkan satu atau lebih pita yang dapat diidentifikasi ke dalam gel; pita yang benar di antara semua pita tidak spesifik lainnya, ditentukan dengan membandingkan dengan ukuran penanda (marker), yang dijalankan ke gel pada waktu yang sama (Murray, P.R.; Rosenthal, K.S.; Pfaller, 2015).



Gambar 12. Prinsip reaksi berantai polimerase (PCR, polymerase chain reaction); melalui periode denaturasi, peningkatan suhu media (lebih dari 90 oC) menyebabkan pemisahan dupleks DNA dalam bentuk untai tunggal. Pengurangan suhu menjadi sekitar 50 oC (tergantung pada primer) di proses annealing menyediakan kondisi untuk asam nukleat untai tunggal, termasuk primer, untuk hibrid ulang (re-hybrid) dalam bentuk DNA untai ganda. Setelah itu, proses ekstensi, enzim penguat mampu menggunakan ujung 3 primer untuk memperpanjang primer berdasarkan DNA template komplementer. Langkah-langkah ini biasanya diulang lebih dari 30 kali (tergantung pada konsentrasi template DNA) untuk meningkatkan jumlah fragmen yang cukup untuk terlihat pada gel. Karena primernya dirancang khusus untuk fragmen khusus genom, amplifikasi dilakukan secara khusus pada area genom tersebut

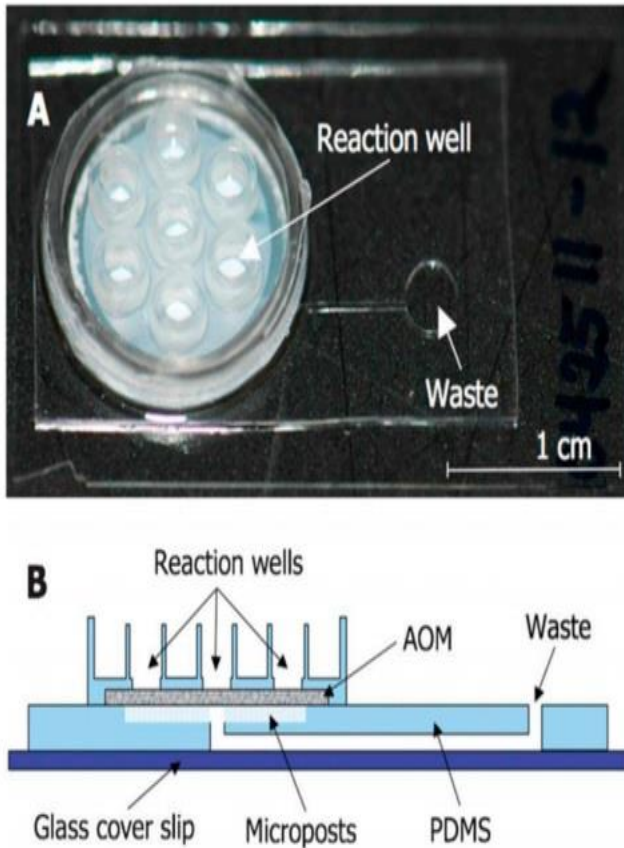
Karena analisis berbasis pengamatan okular, teknik ini tidak dapat disesuaikan dengan teknologi dan otomatisasi Sistem Perangkat Laboratory-on-a-chip (LoC) kecuali jika primer dikaitkan dengan label (fluoresen/radioaktif/enzim). Real-time PCR atau PCR kuantitatif (q-PCR) (Gambar 13) adalah teknologi yang lebih canggih untuk mengkarakterisasi reaksi amplifikasi dalam sekali waktu, dan untuk mengumpulkan data selama proses amplifikasi (Ginzinger, 2002).



Gambar 13. PCR real-time; dalam sistem ini, probe khusus berlabel dua jenis fluorofor, disebut sebagai R untuk reporter (donor) dan Q untuk quencher (atau reseptor), berada dalam interval dua primer. Ketika jarak antara dua fluorofor adalah antara 1 dan 10 nm, energi tereksitasi dari R disumbangkan ke Q dalam bentuk Fluorescence Resonance Energy Transfer (FRET). Melalui amplifikasi DNA, R dipotong oleh enzim penguat, yang menyebabkan pemisahan fluorofor R dan Q, dan emisi fluoresensi. Tingkat emisi berbanding lurus dengan jumlah probe dan genom.

Dalam sistem ini, probe berlabel fluoresen spesifik target terikat ke target bersama dengan primer, dan setiap replikasi target tunggal melalui setiap reaksi PCR tunggal mengarah pada pelepasan reporter fluoresen, yang dikaitkan dengan penerangan lampu fluoresen (Ginzinger, 2002). Karena setiap fluoresensi sejajar dengan satu amplifikasi gen, jumlah pulsa fluoresen merupakan faktor yang dapat diandalkan untuk menentukan jumlah salinan gen berdasarkan perbandingan dengan sampel referensi, yang berisi sejumlah gen yang diinginkan dan dijalankan bersama dengan sampel yang diinginkan (Ginzinger, 2002). Pekerjaan probe terkait dengan berbagai jenis reporter fluorescent memungkinkan peneliti untuk menggunakan qPCR untuk deteksi simultan beberapa mikroorganisme dalam sampel (Ren-Kuibai, C.-L.P.; Hsu, 2014). Kemampuan untuk memantau iluminasi yang dipancarkan dari reporter membuat qPCR cocok untuk desain sistem deteksi otomatis. Oblath et al., memperkenalkan chip mikrofluida dengan kemampuan untuk melakukan ekstraksi DNA dan PCR real time (Gambar 14) (Oblath et al., 2013). Sampel mikroba dilisiskan dengan perlakuan panas sebelum ditambahkan ke sumur mikro, dan disaring dengan nanofilter AOM untuk memusatkan sampel DNA pada filter. Bahan genom yang tersisa di permukaan filter menjalani reaksi RT-PCR. Namun perlu disebutkan bahwa banyaknya jumlah debris sel (sel yang hancur) melalui ekstraksi DNA/RNA dapat mempengaruhi kualitas kinerja RT-PCR, oleh karena itu perlu dirancang microchip ekstraksi genom yang sesuai dengan cara memisahkan debris sel tersebut. Lebih lanjut, bahwa prosedur PCR sangat mahal dan memakan waktu, dan oleh karena itu, saat ini tidak dapat diterima dengan *spirit* perangkat mikofluida real time yang harus murah (Medina-Plaza et al., 2016).

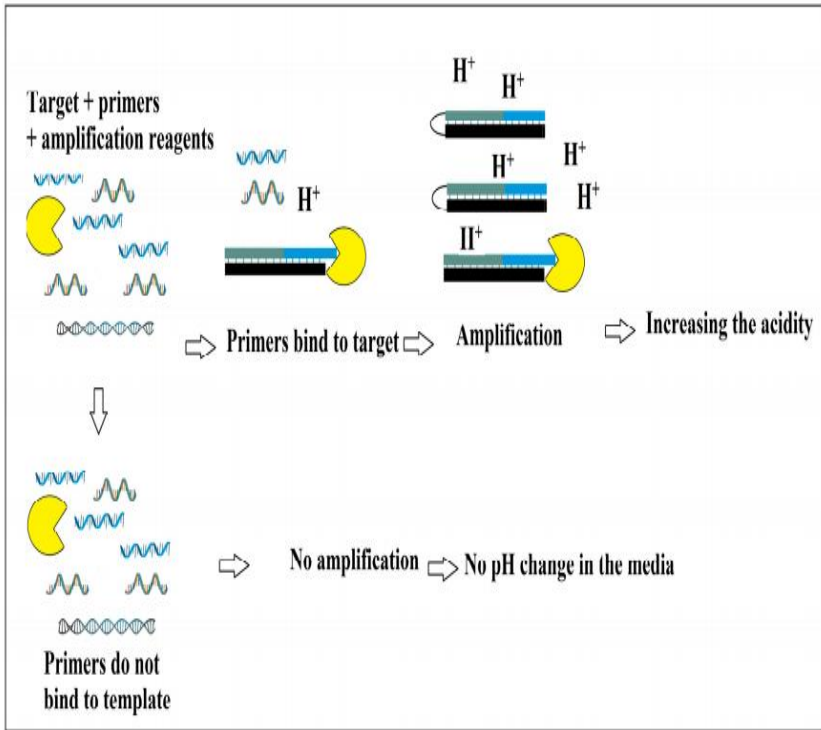




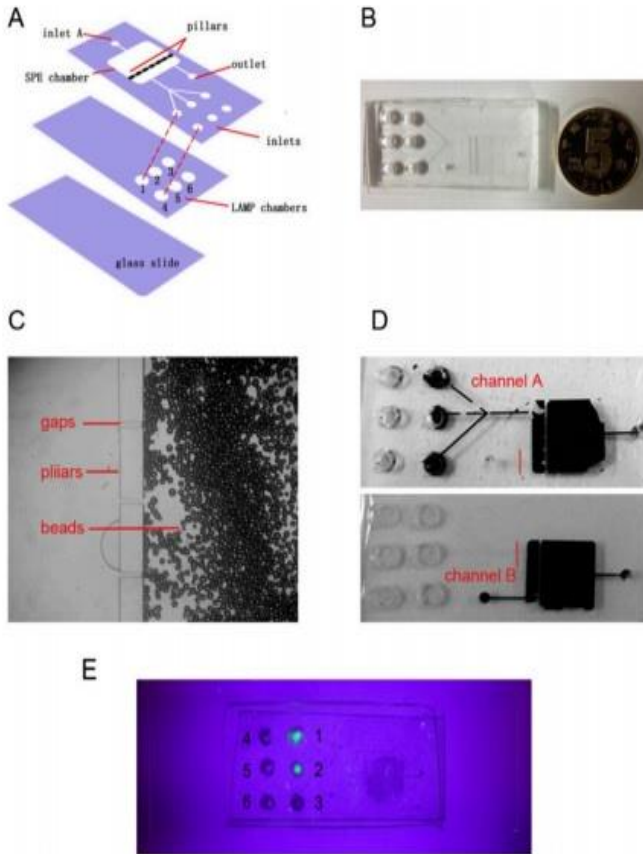
Gambar 14. Lisis sel mikroba dilewatkan melalui filter AOM untuk memisahkan DNA di permukaan, yang akhirnya mengalami reaksi RT-PCR (Oblath et al., 2013). (Gambar ini digunakan dari dengan izin Royal Society of Chemistry)

Kekhawatiran ini, bagaimanapun, cukup ditingkatkan dengan penemuan metode LAMP (Gambar 15), di mana genom terutama diperkuat di bawah kondisi isothermal (60-65 °C) dalam periode 30-60 menit (Kanitkar et al., 2016). Amplifikasi enam wilayah genom yang berbeda sebagai hasil dari penerapan 4-6 primer pada langkah penyaringan pertama LAMP membuat sistem deteksi ini lebih sensitif dan spesifik daripada PCR (Nixon, G.; Garson, J.A.;

Grant, P.; Nastouli, E.; Foy, C.A.; Huggett, 2014; Sattabongkot et al., 2014). Pada prinsipnya, keberadaan urutan komplementer genom di setiap primer bagian dalam mengarah pada pembentukan konkatamer putaran batang di ujung setiap fragmen yang direplikasi, yang membuat ujung 5' bebas dapat digunakan sebagai primer untuk pemanjangan lebih lanjut pada untai. Reaksi berulang ini akhirnya mengarah pada produksi sejumlah besar stem-loop yang mengandung DNA (Notomi et al., 2015). Amplifikasi genom dalam LAMP ditentukan berdasarkan peningkatan kekeruhan, sebagai akibat dari reaksi pirofosfat (dilepaskan melalui amplifikasi) dengan magnesium (ada dalam tabung), atau perubahan tingkat fluoresensi yang diterangi dari pewarna fluoresen (seperti sebagai SYTO 9) interkalasi dengan DNA (Fernández-Soto et al., 2014). Dalam hal otomatisasi perangkat ini, selain menggunakan fluoresensi, pelepasan H<sup>+</sup> melalui amplifikasi, yang berbanding lurus dengan jumlah nukleotida yang digunakan untuk setiap amplifikasi, dapat digunakan sebagai parameter ideal sebagai bukti amplifikasi dan pengukuran jumlah amplifikasi. Selain kecepatan, biaya rendah, sensitivitas tinggi dan spesifisitas tinggi, LAMP efektif diterapkan untuk mendeteksi mikroorganisme dalam jumlah dan kualitas sampel yang rendah, yang berguna untuk deteksi langsung mikroorganisme bahkan di hadapan matriks sampel klinis (Nixon, G.; Garson, J.A.; Grant, P.; Nastouli, E.; Foy, C.A.; Huggett, 2014; Sattabongkot et al., 2014). Gua dkk. merancang chip mikrofluida lapisan ganda terintegrasi (Gambar 16) di mana kandungan DNA yang diisolasi melalui manik manik silika yang diperkuat oleh LAMP diikuti dengan pewarnaan Calcein dan sinar UV (Z. Guo et al., 2015).



Gambar 15. Metode loop mediated isothermal amplification (LAMP)



Gambar 16. Perangkat mikofluida ini terdiri dari dua lapisan; (A) Desain skema perangkat; (B) perangkat rakitan yang sebenarnya. Sel-sel, reagen ekstraksi DNA dan manik manik silika diarahkan ke lapisan atas melalui saluran masuk ke ruang SPE (Ekstraksi fase padat). Setelah ekstraksi DNA di ruang SPE, sampel DNA dicuci dari manik manik silika menggunakan air suling ke lapisan yang kedua (ruang LAMP). Celah pada mikropilar cukup kecil untuk mencegah transfer manik manik silika ke lapisan kedua; Subpanel (C) Menunjukkan ruang SPE di mana manik manik silika terjebak oleh deretan pilar mikro dan gaps mikro; (D): aliran larutan dalam chip ditunjukkan dengan injeksi tinta hitam dari saluran masuk A dialirkan ke saluran A atau B; hasil positif dapat dilihat dengan fluoresensi hijau di bawah sinar UV (E) (Z. Guo et al., 2015). (Gambar ini digunakan dengan izin dari Elsevier

### 4.3. Polimorfisme Genetik

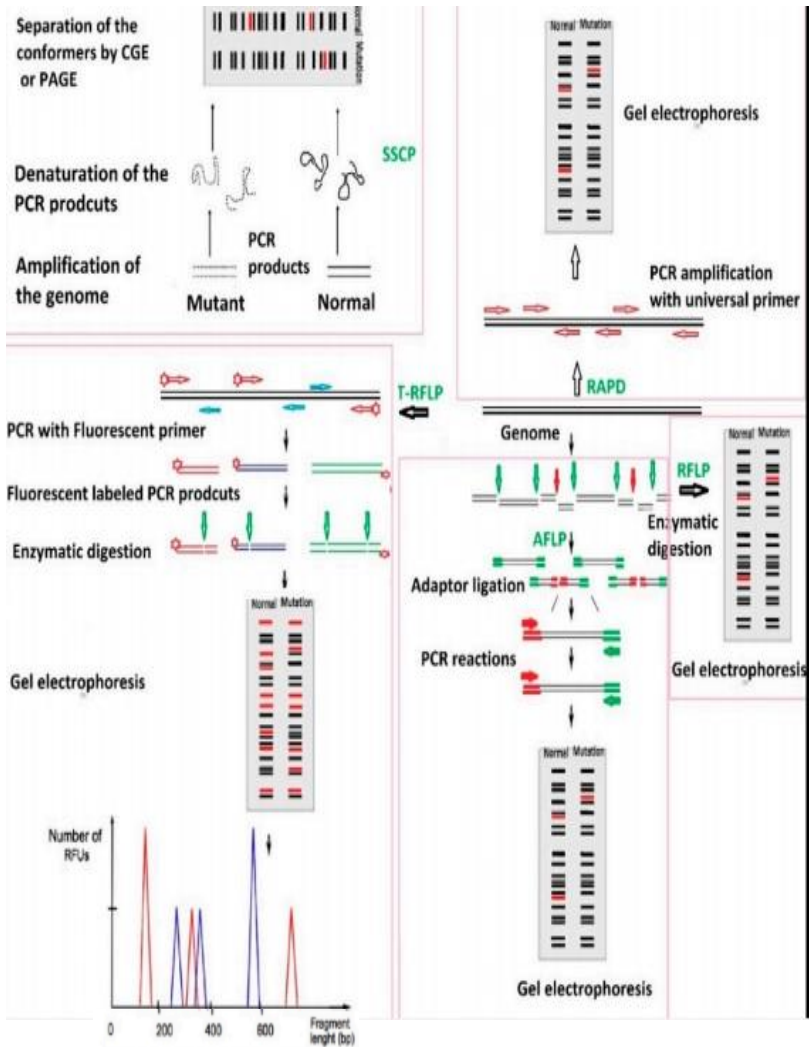
Polimorfisme dalam genetika menunjukkan adanya lebih dari satu bentuk alternatif (alel) dari konten genetik yang diturunkan dari individu dalam populasi. Polimorfisme genetik dapat dideteksi menggunakan teknologi yang berbeda, seperti RFLP (Restriction Fragment Length Polymorphism) (Andoh et al., 2011), T-RFLP (Terminal-Restriction Fragment Length Polymorphism) (Sjöberg et al., 2013), AFLP (Amplified fragment length polymorphism) (Hoffman et al., 2012), RAPD (Random Amplified Polymorphic DNA) (Katara, J.; Deshmukh, R.; Singh, N.K.; Kaur, 2013) dan SSCP (Single-strand conformation polymorphism analysis) (Schmalenberger, A.; Tebbe, 2014). Enzim restriksi adalah sekelompok endonuklease DNA dengan kemampuan untuk memotong tulang punggung gula-fosfat DNA pada atau dekat urutan target yang sangat spesifik yang dikenal sebagai situs restriksi, yang mengarah untuk menghasilkan beberapa fragmen DNA individu dengan ukuran tertentu (Loenen et al., 2014). Setiap mutasi di situs restriksi spesifik dari sekuens DNA homolog target terhadap enzim restriksi yang sesuai, yang menyebabkan produksi fragmen dengan panjang yang berbeda (Botstein, D.; White, R.L.; Skolnick, M.; Davis, 1980). RFLP adalah kombinasi dari DNA digesti dengan satu atau lebih enzim restriksi, pemisahan fragmen ke dalam gel melalui elektroforesis, dan akhirnya, deteksi keberadaan fragmen tertentu oleh probe DNA (Fontecha et al., 2015; Salvatore et al., 2016).

AFLP (Amplified fragment length polymorphism) adalah teknik polimorfisme yang lebih selektif di mana setelah DNA digesti yang diberikan, fragmen diikat ke adaptor dan kemudian menjalani amplifikasi PCR pra-selektif dan selektif untuk mengurangi jumlah fragmen (Esteve-Zarzoso et al., 2010). Fragmen yang tersisa dijalankan ke elektroforesis gel dan profil fragmen diinterpretasikan oleh perangkat lunak. Penerapan berbagai jenis adapter memungkinkan teknik ini untuk mempelajari polimorfisme ratusan individu dalam batch yang sama bahkan tanpa informasi tentang urutan genom mikroba (Esteve-Zarzoso et al., 2010).

T-RFLP (Terminal-Restriction Fragment Length Polymorphism), bagaimanapun, bekerja berdasarkan amplifikasi target gen

(kebanyakan 16SrRNA) oleh primer berlabel fluoresen, enzim digesti produk PCR dan, akhirnya, generasi profil gel (Zhao et al., 2012). Karena adanya label fluoresen di ujung 5/ fragmen, paparan UV akan menyebabkan munculnya puncak yang berbeda dengan berbagai ukuran dan ketinggian, yang mewakili profil komunitas mikroba dalam sampel tertentu (Zhao et al., 2012). Oleh karena itu, T-RFLP adalah teknik yang sangat berguna dan cepat untuk menyelidiki perubahan mikroba dalam suatu lingkungan setelah perlakuan dengan faktor tertentu. Namun, harus disebutkan bahwa teknik ini tidak dapat mendeteksi mikroorganisme dalam sampel, tetapi hanya memberikan gambaran tentang tingkat perbedaan keanekaragaman mikroba secara keseluruhan dari suatu lingkungan (Sawamura et al., 2010).

RAPD (Random Amplified Polymorphic DNA) adalah polimorfisme berbasis PCR di mana DNA yang diberikan diamplifikasi dengan primer universal (panjang sekitar 10 bp), dan profil gel individu akan berbeda sebagai akibat dari mutasi pada situs primer annealing (Gambar 17) (Jadhav et al., 2010; Rossetti & Giraffa, 2005). Karena menggunakan primer universal, tidak ada pengetahuan khusus tentang genom mikroba yang diperlukan untuk pembuatan profil RAPD mikroba (Jadhav et al., 2010; Rossetti & Giraffa, 2005). SSCP (Single-strand conformation polymorphism analysis) adalah metode penyaringan yang efektif untuk membedakan variasi genom tertentu (seperti strain tertentu) di antara berbagai mikroorganisme. Dalam teknik ini, setelah amplifikasi genom, produk PCR didenaturasi dalam bentuk DNA untai tunggal. Adanya mutasi pada urutan genom menyebabkan perubahan konformasi DNA untai tunggal ini, yang dapat dideteksi dengan pemisahan ke gel poliakrilamida (PAGE) atau Elektroforesis Gel Kapiler (CGE) (Gambar 17) (Swapna et al., 2011).



Gambar 17. Perbandingan skema RFLP, AFLP, RAPD, T-RFLP dan SSCP

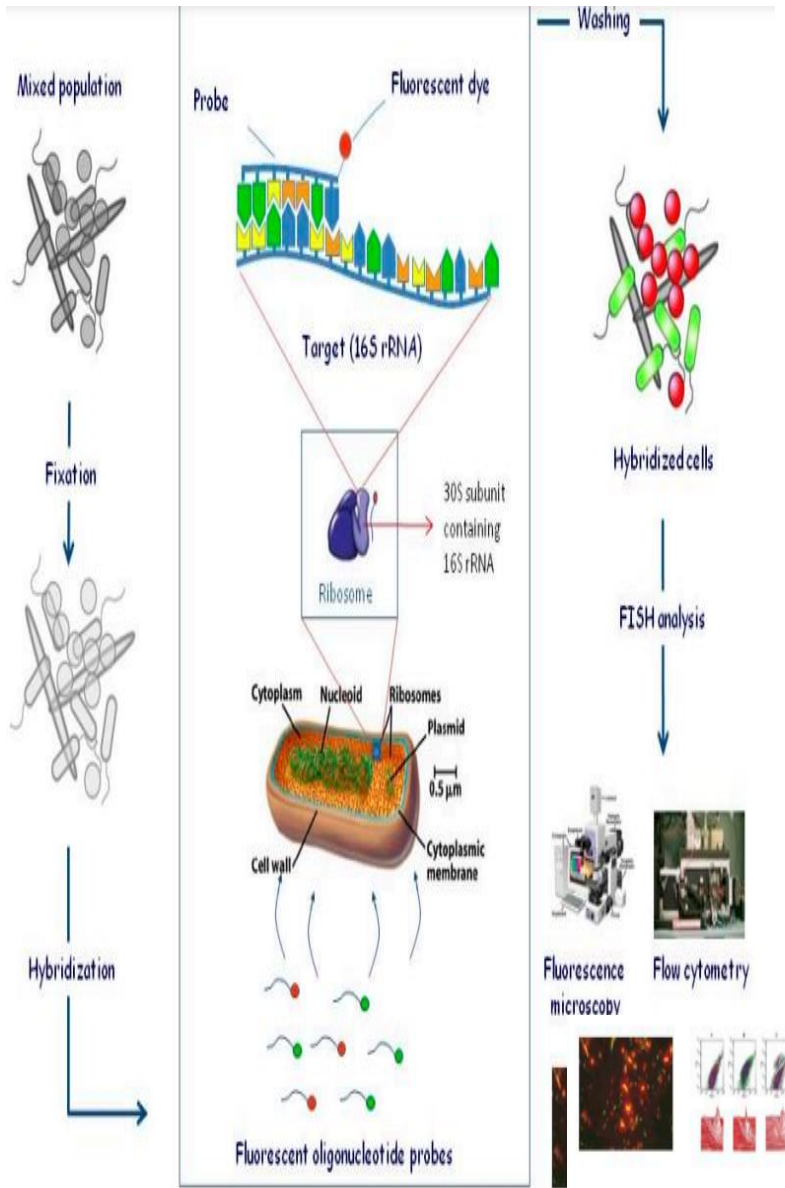
Sementara setiap teknik polimorfisme menunjukkan sedikit perbedaan prinsip, penerapan label radioaktif/fluoresen untuk mendeteksi fragmen genom memungkinkan otomatisasi teknologi ini. Namun, teknik ini sebagian besar digunakan untuk mendeteksi adanya perubahan genomik dalam suatu strain dibandingkan dengan sampel normalnya, dan untuk menyelidiki perubahan profil mikroba keseluruhan dari sampel yang berbeda. Oleh karena itu, teknik ini tidak direkomendasikan untuk desain perangkat bio-chip yang ditujukan untuk deteksi mikroba yang tepat dalam sampel.

#### 4.4. Teknologi Berbasis Hibridisasi

Teknologi deteksi mikroba berbasis hibridisasi bekerja berdasarkan peleburan genom (de-hibridisasi) pada suhu tinggi dan annealing (hibridisasi ulang) untai komplementer pada suhu yang lebih rendah (Payseur & Rieseberg, 2016). Berdasarkan teknik ini, sebuah probe (RNA/DNA untai tunggal berlabel panjang pendek yang melengkapi urutan target spesifik) mengikat secara khusus ke targetnya pada genom melalui proses annealing, dan hibrida dideteksi oleh (enzim, radioaktif atau fluoresen). ) label terjadi pada probe (Payseur & Rieseberg, 2016).

FISH (Fluorescent In Situ Hybridization) (Gambar 18) adalah teknik yang sangat canggih di mana segmen RNA/DNA berlabel fluoresen dapat digunakan untuk mendeteksi keberadaan komplemen spesifik genom dalam sampel dan untuk menemukan posisi yang tepat. segmen komplementer dalam sel (Frickmann et al., 2017). Penerapan beberapa probe berlabel fluorofor yang berbeda memungkinkan peneliti untuk bersama mendeteksi dan menempatkan beberapa target dalam sel (Frickmann et al., 2017).

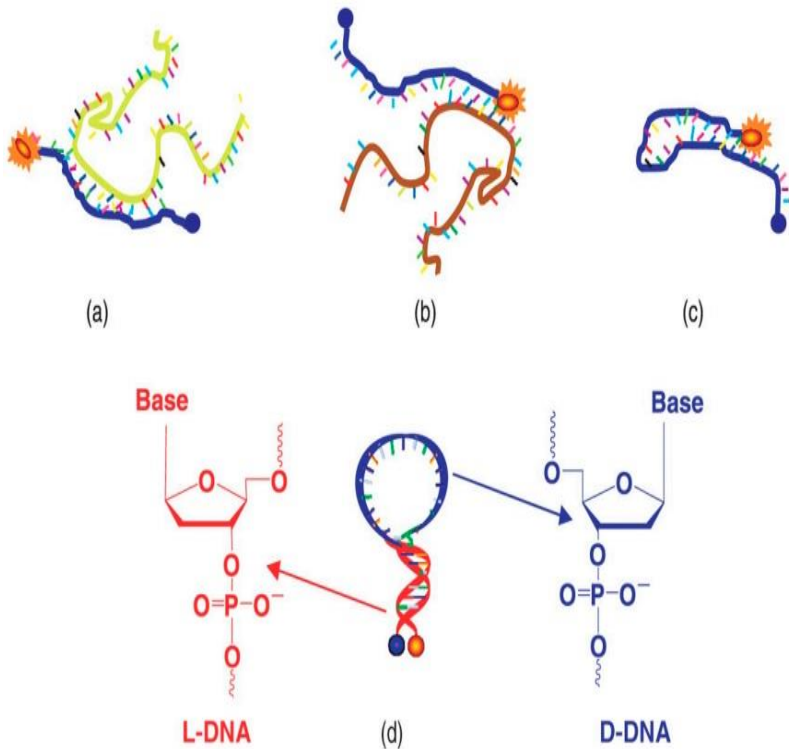




Gambar 18. FISH (Fluorescent In Situ Hybridization)

Sekelompok biosensor diagnostik mikrobiologi dirancang berdasarkan imobilisasi probe (DNA untai tunggal) yang melengkapi DNA target pada permukaan transduser yang sangat sensitif (Su et al., 2011). Hibridisasi DNA dengan DNA target dapat dideteksi dengan fluoresensi (Miller & Tang, 2009) atau berdasarkan perubahan indeks fisik seperti faktor listrik atau gelombang akustik (Sassolas et al., 2008). Xi et al., merancang perangkat mikrofluida di mana beacon molekul asam nukleat (PNA) peptida (MBs) digunakan sebagai detektor bakteri berdasarkan hibridisasi DNA. Sebuah DNA MB adalah probe untai tunggal diapit dengan dua urutan komplementer untuk membuat struktur hair pin loop (struktur yang mirip lingkaran jepit rambut), di salah satu ujungnya, diberi label dengan fluorofor dan, di ujung kedua, dilampirkan ke quencher (Gambar 19) (Xi, C.; Boppart, S.; Raskin, 2003). Seperti pada PCR real-time, struktur ini menyebabkan fluoresensi yang dihasilkan oleh fluorofor diserap oleh quencher.

Hibridisasi dengan target, bagaimanapun, meningkatkan jarak antara fluorofor dan quencher, dan mengarah ke iluminasi. Selanjutnya, berdasarkan perubahan tulang punggung probe dengan senyawa netral secara elektrik (asam nukleat peptida; PNA) konsekuensi dari penggantian tulang punggung gula fosfat, mereka mampu meningkatkan kinetika hibridisasinya (Xi, C.; Boppart, S.; Raskin, 2003).



Gambar 19. Struktur dan fungsi beacon molekul (MB); MB adalah DNA untai tunggal spesifik target yang diapit dengan dua sekuens komplementer yang diberi label dengan fluorofor (di satu ujung) dan quencher (di ujung yang berlawanan). (a) dan (b) Hibridisasi target MB-DNA menciptakan jarak antara quencher dan fluorofor, tetapi (c) Ikatan hidrogen antara dua sekuens komplementer di dua ujung membuat struktur jepit rambut di mana setiap fluoresensi yang dilepaskan oleh fluorofor ditangkap oleh quencher (mirip alat pemadam). (d) Produksi D-DNA di jepit rambut dan L-DNA di DNA heliks ganda

Microarray DNA bisa dibilang merupakan sistem terbaik yang dibuat dan dikomersialkan untuk diagnosis berdasarkan hibridisasi DNA di mana sekelompok masing-masing, dari jutaan, jenis probe DNA identik terikat pada titik spesifik permukaan padat, dan hibridisasinya dengan fluoresensi- target DNA berlabel

terdeteksi oleh pemindai fluoresen (Heller, 2002; Nguyen et al., 2002). Integritas DNA hibridisasi dideteksi oleh perangkat lunak berdasarkan lokasi emisi cahaya.

Sementara sebagian besar Sistem Perangkat Laboratory-on-a-chip (LoC) berdasarkan teknik hibridisasi DNA telah dirancang berdasarkan teknologi emisi cahaya, emisi cahaya latar belakang dapat mempengaruhi sensitivitas dan spesifisitasnya. Dipercaya bahwa penggunaan biosensor listrik untuk mendeteksi sinyal dari hibridisasi DNA dapat meningkatkan keandalan Sistem Perangkat Laboratory-on-a-chip (LoC). Sementara beberapa jenis mikroarray DNA listrik telah dirancang, sebagian besar terbatas pada tingkat penelitian karena tingkat kebisingan yang tinggi yang ditunjukkan oleh perangkat tersebut (Caillat et al., 1999). Pemasangan probe DNA ke sirkuit listrik dengan cara membangkitkan sinyal listrik yang masuk akal merupakan langkah yang sangat menantang dalam desain biosensor listrik DNA (Caillat et al., 1999; Su et al., 2011). Basis chip dapat ditutupi dengan protein Streptavidin, yang memiliki kemampuan untuk mengikat probe DNA yang terbiotinilasi (Han, S.-J.; Xu, L.; Yu, H.; Wilson, R.J.; White, R.L.; Pourmand, N.; Wang, 2006). Menggunakan imobilisasi probe DNA pada GMR (Giant MagnetoResistives), misalnya, dimungkinkan untuk merancang biochip CMOS di mana target DNA terbiotinilasi/hibrida probe dapat mengikat nanopartikel magnetik yang mengandung streptavidin, dan kompleks ini dapat mengubah gangguan medan magnet (Cardoso et al., 2012; Han, S.-J.; Xu, L.; Yu, H.; Wilson, R.J.; White, R.L.; Pourmand, N.; Wang, 2006). Atau, mercapto-propyl-trimethoxsilane ke permukaan biosensor menunjukkan kemampuan untuk mengikat secara kovalen dengan probe DNA termodifikasi 5/thiol (Alessandrini et al., 2005). Integrasi CMOS dengan biosensor listrik yang berhasil untuk mendeteksi hibridisasi DNA adalah kunci emas untuk merancang perangkat Sistem Perangkat Laboratory-on-a-chip (LoC) yang sukses dengan kemampuan diagnosis mikroba dalam sampel yang sangat kompleks.

#### 4.5. Teknik yang tergantung Urutan Sequencing

Urutan gen, di sisi lain, adalah pendekatan yang lebih akurat di mana urutan biasanya fragmen genom mikroba (RNA atau DNA) ditentukan, dan urutan dibandingkan dengan urutan gen yang sudah ada di database universal online, seperti NCBI (National Centre for Biotechnology Information/Pusat Informasi Bioteknologi Global) (Abbasian et al., 2015). Karena elemen genetik mikroorganisme terlalu bervariasi, hanya sekelompok gen konsensus, seperti DNA ribosom (Langille et al., 2013), gen *recA*, dan yang mengirimkan RNA polimerase (*rpoA* dan *rpoB*) (Shu & Jiao, 2013), subunit Gyrase B (*gyrB*) (Morata, V.; Gusils, C.; Gonzalez, 1999), yang telah dilestarikan atau sedikit diubah sepanjang evolusi mikroorganisme, digunakan untuk mengidentifikasi hubungan filogenetik antara mikroorganisme. Tingkat kesamaan antara dua sampel menunjukkan derajat kerelatifan antara sampel tersebut. Selain akurasi, teknologi ini memungkinkan peneliti untuk mengidentifikasi dan menemukan mikroorganisme baru yang tidak dapat dibudidayakan dalam kultur konvensional (Morata, V.; Gusils, C.; Gonzalez, 1999)

Sekuenser genom komersial yang ada diklasifikasikan ke dalam Sanger (contoh dari apa yang disebut sekuenser generasi pertama), Illumina, Pyrosequencing, dan Ion Torernt (contoh sekuenser generasi kedua) ditambah teknologi Nanopore dan Pacific Biosciences (contoh sekuenser generasi ketiga). Kemampuan utama, kelebihan, dan kekurangan masing-masing sequencer telah dijelaskan oleh Abbasian dan kawan kawan (Abbasian et al., 2018; Morata, V.; Gusils, C.; Gonzalez, 1999).

Pengumpulan data dalam sistem sekuensing generasi kedua dan ketiga secara signifikan lebih cepat daripada teknik generasi pertama karena sistem ini dirancang berdasarkan fragmentasi DNA, siklus reaksi enzimatik yang berkelanjutan, yang dilakukan secara simultan pada jutaan fragmen, dan pemantauan berdasarkan perubahan kimia. (seperti pH dan fosfor anorganik) atau emisi fluoresensi khusus (Thermes, 2014). Pra-amplifikasi genom target oleh primer spesifik meningkatkan jumlah target gen, dan oleh karena itu, adalah cara terbaik untuk mengurangi waktu yang dibutuhkan untuk pengurutan genom gen dan analisis

data, yang merupakan alasan utama pembatasan tingkat deteksi mikroba dalam sistem ini (Buermans & den Dunnen, 2014). Sementara semua perangkat yang dirancang untuk sekuensing generasi berikutnya berpotensi digunakan dalam teknologi Sistem Perangkat Laboratory-on-a-chip (LoC), ukuran kecil dari sekuenser nanopore membuat teknologi ini sempurna untuk desain perangkat mini yang sepenuhnya otomatis untuk mendeteksi mikroorganisme (Loman & Watson, 2015). Namun, perlu diingat bahwa sementara metode berbasis genom menunjukkan sensitivitas dan spesifisitas yang tinggi untuk deteksi mikroba, penerapannya sangat dipertanyakan dalam hal praktik laboratorium yang baik (GLP/Good laboratory Practice) dan penilaian keamanan hayati (Marzano et al., 2017). Keterbatasan pendekatan ini untuk membedakan mikroorganisme dengan hubungan filogenetik yang lebih tinggi dan tidak dapat diandalkan kualitas urutan gen yang ada dalam database genom disebutkan sebagai beberapa kekurangan dalam studi berbasis genom. Selanjutnya, metode ini biasanya tidak dapat membedakan mikroorganisme yang hidup dari sel yang dihancurkan. Namun, perlakuan sampel dengan enzim nuklease atau bahan kimia impermeable (tidak tembus/tidak berpori) pengikat asam nukleat untuk mencerna genom ekstraseluler atau untuk mencegah amplifikasi DNA yang dapat meningkatkan kemungkinan deteksi genom yang diperoleh dari sel yang layak/masih hidup.

## **BAB V**

### **METODE LAIN**

**S**elain analisis genom, teknologi berbasis molekuler untuk identifikasi mikroorganisme dapat dirancang terutama berdasarkan deteksi bahan genom (RNA atau DNA) dan profil protein atau asam lemak (FA) sel dan perbandingan hasilnya dengan database informasi untuk menganalisis persentase kesamaan (Murray, P.R.; Rosenthal, K.S.; Pfaller, 2015). Keuntungan utama dari teknik ini adalah sensitivitas tinggi dan persyaratan sampel yang sangat kecil untuk mendeteksi mikroorganisme yang diinginkan dalam sampel murni atau campuran (Murray, P.R.; Rosenthal, K.S.; Pfaller, 2015). Selain hanya menggunakan satu atau beberapa target untuk mendeteksi mikroorganisme, baru-baru ini telah dimungkinkan untuk mendeteksi satu mikroorganisme menggunakan bahan gen utuh

(genomik), profil RNA (transkriptomik), profil protein (proteomik), profil FA, atau aktivitas metabolik (metabolom) (Barrett et al., 2013; Choi et al., 2013).

Metagenomics adalah teknologi untuk mengidentifikasi seluruh (baik yang dikenal maupun yang tidak dikenal) strain mikroba di lingkungan tertentu berdasarkan bahan genetik keseluruhan sampel (Abbasian et al., 2015). Munculnya teknologi baru, seperti sistem amplifikasi pola canggih, alat sequencing (pengurutan) keluaran terbaru, susunan genom/protein, metabolisme mikroba in-silico, protein spektral massa, dan sistem kromatografi otomatis yang berbeda, telah meningkatkan sensitivitas identifikasi mikroba dalam sampel tertentu (Abbasian et al., 2015; Chen et al., 2016; Scalbert et al., 2014).

### 5.1. Metode Berbasis Protein

Metode berbasis protein bekerja baik dengan tes imunologi atau elektroforesis gel. Teknik berbasis imunologi, seperti ELISA (Enzyme Linked Immuno-Sorbant Assay), partisipasi antigenik dan uji aglutinasi dan western blotting, yang umumnya digunakan untuk mengidentifikasi mikroorganisme berdasarkan epitop permukaannya, sangat spesifik dan semuanya terbatas pada keberadaan antibodi spesifik untuk protein yang diberikan serta sensitivitas dan spesifisitas reaksi antigen-antibodi (H. Huang et al., 2016; Santana et al., 2018).

Karena teknologi ELISA dapat diintegrasikan dengan teknologi CMOS (complementary metal-oxide-semiconductor/komplementer metal-oksida-semikonduktor), kajian berfokus pada subjek ini. Sementara kit ELISA rutin yang digunakan di laboratorium diagnostik hanya mampu mendeteksi satu mikroorganisme atau antigen tertentu dalam sampel tertentu, teknologi CMOS menawarkan kemungkinan diagnosis beberapa mikroorganisme/antigen hanya dalam satu kit (Lee et al., 2014). Dengan kata lain, penerapan biochip berbasis CMOS untuk deteksi imunologis patogen meningkatkan kemampuan identifikasi satu atau lebih mikroorganisme atau produknya dalam matriks kompleks yang mengandung mikroorganisme berbeda (Lee et al., 2014). Selanjutnya, dibandingkan dengan tes berbasis genom



yang memerlukan ekstraksi genom dan replikasi gen, tes imunologi cukup pendek untuk deteksi langsung patogen dalam kasus-kasus mendesak (Araci & Brisk, 2014). Oleh karena itu, integrasi antibodi dengan elektroda interdigitasi pasif silikon dioksida adalah strategi yang sangat menjanjikan untuk mendeteksi keberadaan kompleks Antigen-Antibody spesifik dalam perangkat yang sangat cepat (1-2 jam) dan sensitif menggunakan perubahan indeks listrik (Abeyrathne et al., 2016).

Pada perangkat tersebut, penempelan antigen pada antibodi, yang dilapisi pada permukaan elektroda interdigitated (IDE), menyebabkan perubahan nilai tegangan dan impedansi mikroelektroda. Sementara banyak perhatian telah diberikan untuk inovasi perangkat listrik integratif dengan kemampuan untuk mendeteksi kompleks Antibody/Antigen, komersialisasi memerlukan beberapa peningkatan teknis dan pengaturan. Safavieh dan kawan kawan (Safavieh et al., 2017), misalnya, mampu merancang microchip kertas diagnostik HIV dengan sensitivitas 10<sup>7</sup> virion per mL di mana elektroda perak yang dimodifikasi graphene (GSE) dikonjugasikan dengan antibodi anti-HIV untuk mendeteksi produksi Antigen (HIV)- antibodi kompleks dalam sampel klinis. Song dan kawan kawan., juga dapat merancang sistem biochip portabel berdasarkan integrasi mikroarray sensor CMOS miniatur dan teknologi laser induced fluorescence (LIF) untuk deteksi bakteri tunggal di mana produk enzimatis dalam uji ELISA dieksitasi oleh sinar laser, dan cahaya fluorescent yang dipancarkan difokuskan pada elemen fotodiode chip CMOS dengan melewati lensa objektif dan cermin optik (Song et al., 2005).

Selain itu, asosiasi Gold Nanoparticle Probe (GNP) dengan antibodi dan biotin memungkinkan partikel-partikel ini untuk mengikat pada waktu yang sama dengan mikroorganisme spesifik dan Streptavidium-HRP (horseradish peroxidase), yang menghasilkan cahaya visual dalam reaksi dengan Tetramethyl Benzidine (TMB) (Daraee et al., 2016; Kashid et al., 2015). Oleh karena itu, karena pembangkitan sinyal visual dan kemampuan membaca hasil deteksi mikroba dengan mata telanjang, sistem ini tidak memerlukan operator spesialis untuk menginterpretasikan

hasilnya. Untuk meningkatkan sensitivitas sistem ini, Ren dan kawan kawan, merancang sistem magnetik LFIA magnetik (mLFIA) di mana sel-sel mikroba juga ditangkap dengan nanopartikel magnetik, terbuat dari inti Fe<sub>3</sub>O<sub>4</sub>/Au yang dilengkapi dengan antibodi terhadap bakteri tertentu. Penciptaan nanopartikel sel/Ironik memfasilitasi pergerakan kompleks ini menuju partikel GNP menggunakan gaya magnetik (Ren et al., 2016). Sementara teknologi LFIA adalah pendekatan yang cepat, sederhana, bebas tenaga kerja dan hemat biaya untuk skrining (menyeleksi) mikroba dalam sampel patogen dan lingkungan, perangkat ini tidak dapat mendeteksi kompleks antigen/mikroorganisme dalam sampel tertentu yang dapat digunakan sebagai perangkat diagnostik multiguna (Cao, Y.; Yang, X.; Wang, 2015; Ren et al., 2016).

## 5.2. Bakteriosin

Selain antibodi, dimungkinkan untuk menggunakan molekul lain dengan afinitas spesifik terhadap senyawa permukaan mikroba. Bakteriosin adalah sekelompok senyawa yang dihasilkan oleh strain bakteri tertentu untuk membunuh secara spesifik strain bakteri lain (Hegarty et al., 2016). Oleh karena itu, filosofi di balik penerapan senyawa ini adalah untuk mempelajari lisis sel bakteri tertentu setelah pengobatan dengan bakteriosin tertentu. Nikkhoo dan kawan kawan, misalnya, menggunakan dua bakteriosin, Lysostaphin dan colicin, masing-masing untuk deteksi spesifik *Staphylococcus aureus* dan *E. coli*, ke dalam sistem CMOS. Dalam strategi ini, lisis sel yang disebabkan oleh bakteriosin dideteksi menggunakan elektroda selektif kalium yang dipasang pada sistem CMOS untuk mendeteksi peningkatan kadar kalium sebagai akibat penghabisan kalium setelah lisis sel (Nikkhoo et al., 2016).

Namun, sistem ini dapat diterapkan untuk kisaran bakteri yang terbatas, karena tindakan yang sangat spesifik dari masing-masing bakteriosin pada berbagai bakteri (Hegarty et al., 2016). Oleh karena itu, bakteriosin spesifik diperlukan untuk mendeteksi setiap spesies bakteri. Lebih lanjut, karena beberapa bakteriosin dapat menghancurkan berbagai sel bakteri dari spesies yang berbeda (tidak hanya satu strain), tidak mungkin untuk mendeteksi secara spesifik strain mikroba. Sementara Nikkhoo

dan kawan kawan, menggunakan colicin untuk mendeteksi *E. coli*, beberapa bakteriosin menunjukkan aksi penghambatan pada berbagai bakteri; seperti colicin terhadap *Listeria monocytogenes*, *Salmonella sp.*, (Budič et al., 2011) dan subtilisin terhadap beberapa spesies *Staphylococcus*, *Streptococcus*, *Enterococcus*, *Enterobacter aerogenes*, *Listeria monocytogenes*, *Pseudomonas*, *Porphyromonas*, *Kocuria*, *Escherichia*, *Shigella* (Shelburne et al., 2007). Selanjutnya, kemampuan bakteri untuk melawan bakteriosin (Davies & Reeves, 1975; Guterman, 1973; Wayne et al., 1976) membatasi penerapan bakteriosin untuk deteksi mikroba.

## BAB VI

# TEKNOLOGI MASA DEPAN

**P**erangkat CMOS/ Sistem Perangkat Laboratory-on-a-chip (LoC) hibrida untuk mendeteksi mikroorganisme dalam sampel tertentu merupakan subjek yang menantang bagi banyak peneliti. Perangkat ini memiliki kemampuan untuk mendeteksi mikroorganisme pada tingkat spesies, dan bahkan strain. Kecepatan operasi yang memungkinkan periode eksperimen 10-20 kali lebih pendek dan profil miniatur yang memungkinkan sampel dan reagen 100-1000 kali lebih sedikit yang diperlukan untuk deteksi mikroba adalah keuntungan utama dari teknologi ini. Semua langkah percobaan, termasuk pengumpulan sampel, persiapan, deteksi, dan analisis data berpotensi ditargetkan untuk desain diagnosis yang sepenuhnya otomatis. Sementara banyak upaya telah dicurahkan untuk mengembangkan teknologi ini menjadi alat deteksi campuran mikroorganisme secara real-time yang cepat dalam sampel (klinis,

lingkungan, dan industri), belum ada perkembangan signifikan yang telah dicapai. Jenis, ukuran, dan sifat mikroorganisme merupakan faktor penting untuk pemilihan atau desain metode untuk mendeteksi mikroorganisme tersebut. Oleh karena itu, meskipun pendeteksian mikroorganisme berdasarkan fitur morfologis dan biokimianya terlalu rumit dan memakan waktu, para peneliti lebih memilih untuk merancang biosensor berbasis genetik/imunogenik. Karena antibodi spesifik untuk strain mikroba khusus, pendekatan deteksi mikroba berbasis antigenik terutama terbatas pada keberadaan antibodi spesifik di media. Namun, penerapan primer 16SrRNA universal membuat pendekatan berbasis genomik sangat fleksibel, bahkan untuk mendeteksi mikroorganisme yang belum diketahui. Oleh karena itu, karena tidak ada gagasan tentang jenis mikroorganisme dalam sampel kompleks, seperti sampel lingkungan, dan dalam kasus serangan bioterorisme, pendekatan berbasis genom akan lebih berguna untuk deteksi mikroba yang cepat dan efektif.

Harus dicatat bahwa komersialisasi perangkat terutama tergantung pada kontrol kualitas dan keamanan produk, yang pada gilirannya, ditentukan oleh penilaian validasi uji untuk menentukan presisi, sensitivitas, dan ketahanannya. Meskipun tidak ada batasan untuk opsi penginderaan yang digunakan dalam metode deteksi, Kantor Keamanan menyarankan penerapan pendekatan terpadu di mana teknik konvensional dan molekuler digunakan untuk meningkatkan sensitivitas, spesifisitas, dan akurasi. Selain itu, karena perangkat Sistem Perangkat Laboratory-on-a-chip (LoC) biasanya perlu disertai dengan berbagai mesin tambahan, seperti pompa untuk perangkat mikrofluida dan amplifier untuk elektroda, ukuran besar dan biaya akhir dari perangkat ini adalah tantangan terbesar yang perlu ditangani oleh peneliti untuk mewujudkan teknologi tersebut. Integrasi Sistem Perangkat Laboratory-on-a-chip (LoC) dengan perangkat portabel universal yang sudah ada sebelumnya, seperti ponsel pintar/smartphone, dapat menjadi strategi yang dapat diterapkan untuk menyelesaikan masalah semacam ini.

Dengan perkembangan smartphone dalam aktivitas kita sehari-hari dan kelayakan aplikasi aplikasi smartphone oleh

pengguna, banyak peneliti dan programmer telah mencoba untuk membawa teknologi ini ke dalam biologi. Namun, aplikasi komersial pertama di bidang ini terbatas pada perangkat lunak yang memperkenalkan mikroorganisme, pengaruhnya dalam mikrobiologi klinis/industri/lingkungan dan cara terbaik untuk pengobatan penyakit menular (Smith et al., 2014). Terbaru dalam dekade ini, para peneliti mencoba mengintegrasikan teknologi modern untuk mendeteksi keberadaan seluruh sel atau komponen dan metabolitnya melalui smartphone (Gardeniers & Van Den Berg, 2004; Greig, 2016; L. Guo et al., 2015). Park et al., misalnya, melaporkan perangkat mikofluida kertas yang memuat anti-*E.coli* antibodi terkonjugasi beads. Setiap antigen spesifik (*E. coli*)-Antibodi yang berinteraksi interaksi pada mikofluida kertas ini menyebabkan imunoaglutinasi, yang dapat dideteksi dan diukur dengan analisis Mie scattering (hamburan Mie) dari gambar digital yang diambil dengan smartphone (Greig, 2016; Y. Liu et al., 2017). Kemudian, tes imunokromatografi lainnya, seperti fluoresensi dan pendaran, digabungkan dengan smartphone untuk mendeteksi reaksi enzimatik atau antibodi-antigen (L. Guo et al., 2015). Selain itu, Arts dan kawan kawan, mampu merancang platform Luminescent Antibody Sensor (LUMABS) dengan kemampuan mendeteksi antibodi secara langsung dalam larutan melalui smartphone. LUMABS terbuat dari protein luciferase biru yang melekat pada protein akseptor fluoresen hijau oleh penghubung semi-fleksibel (Andersson & Van den Berg, 2003). Kehadiran antibodi dalam larutan mengganggu interaksi penghubung antara dua komponen ini, yang menyebabkan penurunan efisiensi transfer energi resonansi bioluminesensi (bioluminescence resonance energy transfer, BRET). Arts dan kawan kawan menunjukkan bahwa teknik ini mampu mendeteksi antibodi pada tingkat picomolar. Selain itu, menunjukkan bahwa manipulasi struktur LUMBAS ini memungkinkan deteksi spesifik mikroorganisme dalam larutan.

Sementara semua desain ini bergantung pada penggunaan faktor spesifik/nonspesifik untuk mendeteksi mikroorganisme, Pei-Shih Liang et al., mengembangkan biosensor yang digunakan smartphone dengan kemampuan untuk mendeteksi mikroorganisme pada permukaan daging menggunakan Mie

Scattering (hamburan Mie), tetapi tanpa persyaratan untuk antibodi atau reagen lainnya (Y. Liu et al., 2017). Mereka menyinari LED inframerah 880 nm dari jarak dekat secara vertikal ke permukaan daging yang terkontaminasi, dan sinyal yang tersebar dari permukaan dikumpulkan oleh kamera digital smartphone dan sensor gyro di berbagai sudut. Jenis teknologi ini, bagaimanapun, tidak mampu membedakan mikroorganisme, dan oleh karena itu, hanya mampu mendeteksi keberadaan sel mikroba pada subjek. Sementara integrasi smartphone ke sistem diagnostik masih dalam tahap awal, sepertinya mimpi ini akan segera menjadi kenyataan. Misalnya, Oxford Nanopore sequencer, yang mampu mengurutkan isi genom mikroorganisme, adalah pendekatan komersial khusus dengan kemampuan untuk mengubah kode genom menjadi data elektronik, yang dapat diproses oleh smartphone (Reyes et al., 2002).

## **BAB VII**

# **LABORATORIUM BERGERAK COVID 19**

**P**andemi penyakit coronavirus 2019 (COVID-19) telah menimbulkan tantangan besar bagi perawatan medis secara global (Blumenthal D, Fowler EJ, Abrams M, 2020; Chu et al., 2020; C. Wang et al., 2020). Diagnostik dan pengobatan yang tepat waktu sangat penting dalam penanggulangan pandemi COVID-19 (Hsiang et al., 2020). Di antara berbagai teknik diagnostik, tes berbasis asam nukleat (NAT) dari agen penyebab pernapasan akut yang parah, syndrome coronavirus 2 (SARS-CoV-2) (Wölfel et al., 2020; F. Wu et al., 2020), termasuk PCR kuantitatif transkripsi terbalik (RT-qPCR, reverse transcription quantitative PCR) (Ai et al., 2020), amplifikasi isothermal yang dimediasi loop transkripsi terbalik (LAMP, loop-mediated isothermal amplification) (G. S. Park et al., 2020; Yu et al., 2020), dan transkripsi terbalik amplifikasi polimerase rekombinasi (Xia & Chen, 2020), menjadi hal yang sangat penting dalam



mengidentifikasi pembawa virus yang sangat berbahaya ini (Udugama et al., 2020).

Karena sejumlah besar pasien dengan infeksi pernapasan pergi ke pusat medis untuk melakukan tes berbasis asam nukleat NAT, ada risiko tinggi infeksi silang oleh SARS-CoV-2. Untuk skrining masyarakat, tenaga medis dikirim untuk mengumpulkan spesimen dan mengirimkannya ke laboratorium pusat untuk pengujian; penyaringan semacam itu melibatkan pekerjaan yang membosankan dan risiko paparan yang tinggi. Ketidakmampuan untuk menonaktifkan virus di tempat dapat menyebabkan biohazard karena kebocoran dan kontaminasi yang tidak terduga. Untuk penyaringan besar-besaran wisatawan dalam waktu terbatas di pusat transportasi, pemeriksaan NAT di lokasi menjadi hal yang sangat diperlukan. Namun, negara-negara yang terkena dampak pandemi COVID-19 memiliki perbedaan besar dalam sumber daya medis (Ji et al., 2020; Kavanagh et al., 2020). Khususnya di daerah terpencil, pemeriksaan NAT virus sebagian besar tidak tersedia mengingat kelangkaan pusat medis dengan kemampuan diagnostik molekuler. Biaya dan waktu untuk membangun laboratorium stasioner baru jika terjadi wabah tidak berkelanjutan. Ada kebutuhan mendesak untuk mengembangkan laboratorium bergerak cepat tanggap yang dapat diterapkan di lapangan untuk menyediakan pengumpulan spesimen dan diagnostik langsung di lokasi (Xing et al., 2021).

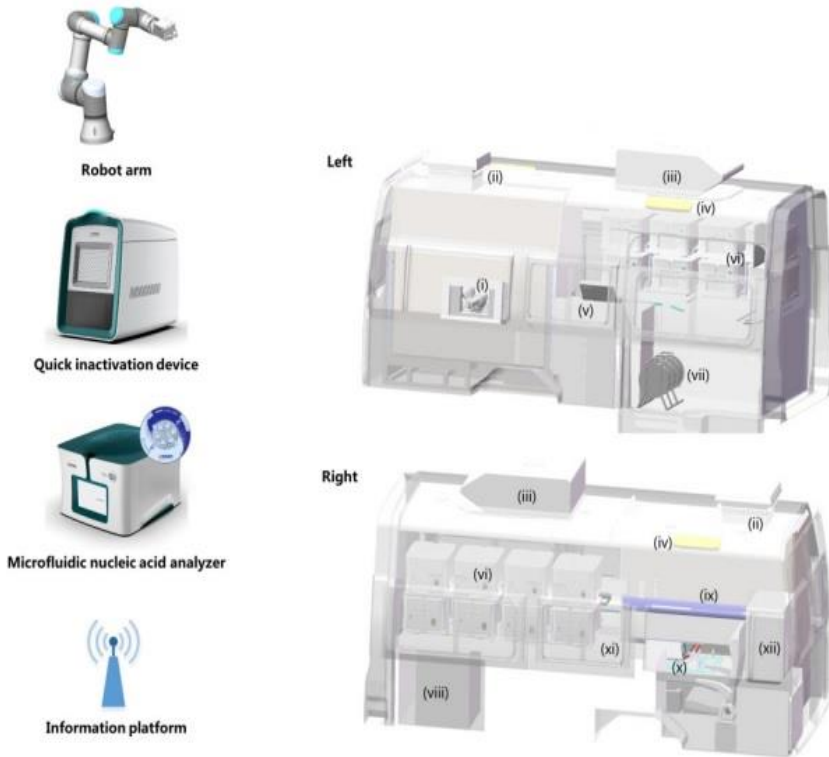
Beberapa laboratorium yang dapat digunakan di lapangan telah dikembangkan untuk diagnostik di lokasi. Early Mobile Laboratory (laboratorium dengan mobile yang cepat) mengadaptasi struktur berbasis ruangan dengan peralatan yang dirancang khusus untuk meningkatkan portabilitas (A. Grolla et al., 2012; Allen Grolla et al., 2011; Paweska et al., 2017; Sugalski et al., 2015; Weidmann et al., 2018; Wölfel et al., 2015). Laboratorium ini membutuhkan ruangan dan fasilitas lokal seperti pasokan air dan listrik; karena kebutuhan untuk menetapkan wilayah kerja terpisah untuk amplifikasi asam nukleat, penyebarannya mengalami mobilitas yang buruk dan ketergantungan pada fasilitas lokal. Kemudian, laboratorium bergerak berbasis mobil besar/van, dikembangkan dengan generator listrik dan sistem ventilasi sendiri yang menghilangkan

kebutuhan akan fasilitas lokal (Njanpop-Lafourcade et al., 2013; Y. Zhang et al., 2017).

Telah dikembangkan berbagai biochip dan teknologi diagnostik molekuler berdasarkan Sistem Perangkat Laboratory-on-a-chip (Loc), termasuk chip bioelektronik perintis yang melakukan isolasi on-chip, lisis, dan hibridisasi bakteri (Cheng et al., 1998). Baru-baru ini, fokus pada deteksi patogen menular seperti SARS-CoV-2 dan *Mycobacterium tuberculosis* (G. Huang et al., 2017; D. Liu et al., 2020; Xing et al., 2020; G. Zhang et al., 2018). Dalam kajian ini, dianalisa laboratorium bergerak berbasis van yang sangat otomatis dan terintegrasi penuh untuk respons cepat terhadap wabah penyakit menular. Laboratorium bergerak cepat dilengkapi dengan lengan robot 6-sumbu untuk pengumpulan spesimen swab orofaringeal otomatis, modul pemanas untuk inaktivasi patogen cepat, dan penganalisis mikrofluida tipe mandiri untuk amplifikasi nested isothermal patogen asam nukleat. Hasil dan status laboratorium dipantau dan dilaporkan secara otomatis menggunakan platform informasi onboard. Evaluasi laboratorium bergerak berbasis van menunjukkan kinerja yang sangat baik dalam pengumpulan spesimen, inaktivasi, analisis, dan pelaporan (Li et al., 2020; C. Wang et al., 2020; Xing et al., 2021).

### 7.1. Desain sistem

Laboratorium bergerak dibangun dengan merombak sebuah van berukuran sedang untuk mencapai ukuran yang efektif dan fungsionalitas penuh (Gambar 20 dan 20A). Lima modul terpisah dikembangkan dan diintegrasikan untuk membentuk laboratorium bergerak, termasuk pengumpulan spesimen otomatis, inaktivasi spesimen cepat, NAT patogen, sistem informasi laboratorium bergerak, dan sistem pendukung.



Gambar 20. Ilustrasi skema laboratorium bergerak. Laboratorium bergerak terdiri dari lengan robot 6-sumbu; perangkat inaktivasi patogen cepat; penganalisis asam nukleat mikrofluida; platform informasi yang secara otomatis melaporkan eksperimental hasil dan status laboratorium; kabinet keamanan hayati; dan sistem pendukung, termasuk sistem ventilasi terpisah, roda kabel listrik, generator cadangan, dan sistem saluran air

Keterangan :

- (i). Lengan Robot
- (ii). Pelindung Hujan
- (iii). Penyejuk Ruang (ac)
- (iv). Lampu Ultra violet (uv)
- (v). Komputer
- (vi). Penganalisis asam nukleat mikrofluida

- (vii). Roda kabel listrik
- (viii). Generator cadangan
- (ix). Kabinet/lemari Biosafety
- (x). Perangkat inaktivasi patogen cepat
- (xi). Wastafel/tempat cuci mata
- (xii).Kulkas



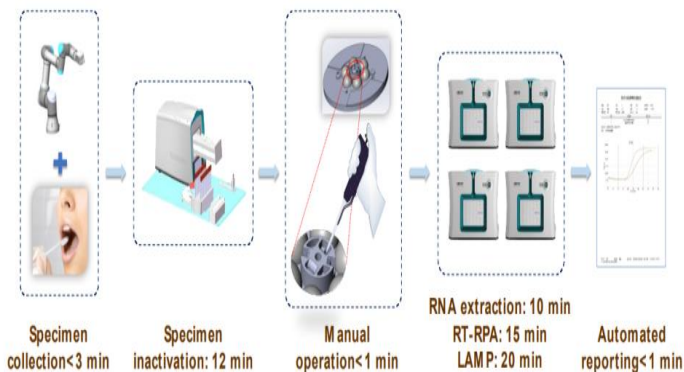
Gambar 21. Foto-foto laboratorium bergerak yang dibangun

- a. Tampilan eksterior dari laboratorium bergerak berbasis van yang terintegrasi penuh.
- b. Tampilan luar jendela pengambilan sampel, menunjukkan satu jendela untuk pengambilan sampel otomatis dan dua jendela untuk pengambilan sampel manual.
- c. Tata letak di dalam kabinet biosafety, termasuk perangkat inaktivasi, lengan robot, baki tabung pengumpul, dan bagian dalam jendela pengambilan sampel.
- d. Di dalam kabin laboratorium bergerak, termasuk kabinet biosafety, wastafel, penganalisis asam nukleat mikofluida, dan monitor.

Laboratorium bergerak dibangun di atas van JMC Ford Transit, yang memiliki jarak sumbu roda 3750 mm dan ukuran total 6723 mm (panjang) × 2120 mm (lebar) × 2950 mm (tinggi). Ukurannya yang ringkas memungkinkan penempatan laboratorium bergerak yang fleksibel di daerah perkotaan dan pedesaan.

Selain jendela pengambilan sampel otomatis untuk lengan robot, dua jendela pengambilan sampel manual yang dirancang sebagai kotak sarung tangan juga dipasang sebagai cadangan untuk penyaringan populasi massal.

Alur kerja laboratorium bergerak ditunjukkan pada Gambar 20B, di mana semua proses terdaftar dengan waktu operasi yang diperlukan. Jumlah total waktu untuk menjalankan siklus lengkap adalah sekitar 1 jam, di mana kumpulan 16 sampel dapat dikumpulkan, dinonaktifkan, diperkuat, dideteksi, dan dilaporkan. Karena pengumpulan spesimen dan inaktivasi dapat dilakukan secara paralel dengan amplifikasi dan deteksi, hasil akhir laboratorium bergerak adalah 150 sampel per 8 jam.



Gambar 22. Alur kerja laboratorium bergerak, termasuk pengumpulan spesimen, inaktivasi, analisis dan pelaporan

Keterangan :

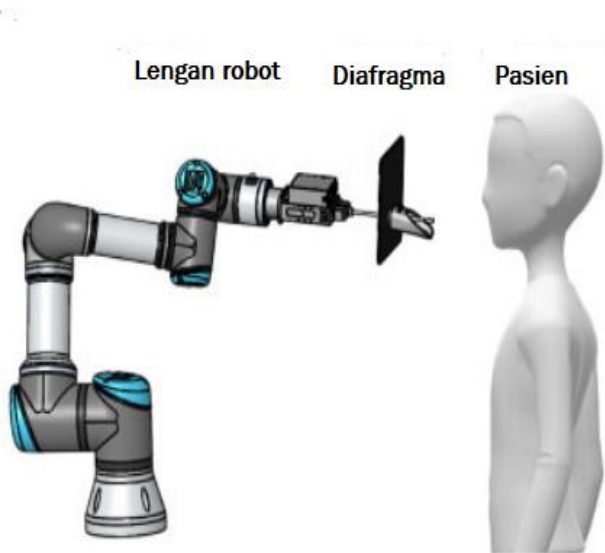
- Specimen Collection <3 min : Pengumpulan spesimen kurang dari 3 menit
- Specimen inactivation 12 min : Pengtidakaktifan spesimen selama 12 menit
- Manual Operation : Pengerjaan manual dengan tenaga terlatih
- RNA extraction 10 min; RT-RPA 15 min; LAMP 20 min : Ekstraksi RNA selama 10 menit; RT-RPA selama 15 menit; LAMP selama 20 menit
- Automated Reporting <1 min : Laporan otomatis selama kurang dari 1 menit.

Lengan robot dan perangkat inaktivasi ditempatkan dengan aman di dalam kabinet biosafety level 2, yang dikendalikan oleh platform informasi untuk dibuka hanya saat mengisi kembali persediaan dan mengambil spesimen yang tidak aktif. Hasil NAT yang dianalisis diproses dan dilaporkan oleh platform informasi melalui modul komunikasi 5G, bersama dengan rekaman pemantauan video real-time dari kabin dan jendela pengambilan sampel menggunakan kamera pengintai. Sistem pendukung skala penuh dikembangkan untuk meningkatkan kemandirian laboratorium bergerak, termasuk generator cadangan yang berdiri sendiri, dua roda kabel listrik untuk menghubungkan fasilitas laboratorium ke suplai listrik, sistem ventilasi terpisah dengan pemurnian udara dan tekanan negatif untuk baik kabinet biosafety maupun kabin laboratorium, dan sistem saluran air yang dirancang khusus untuk menghindari kontaminasi silang.

## 7.2. Pengumpulan Spesimen

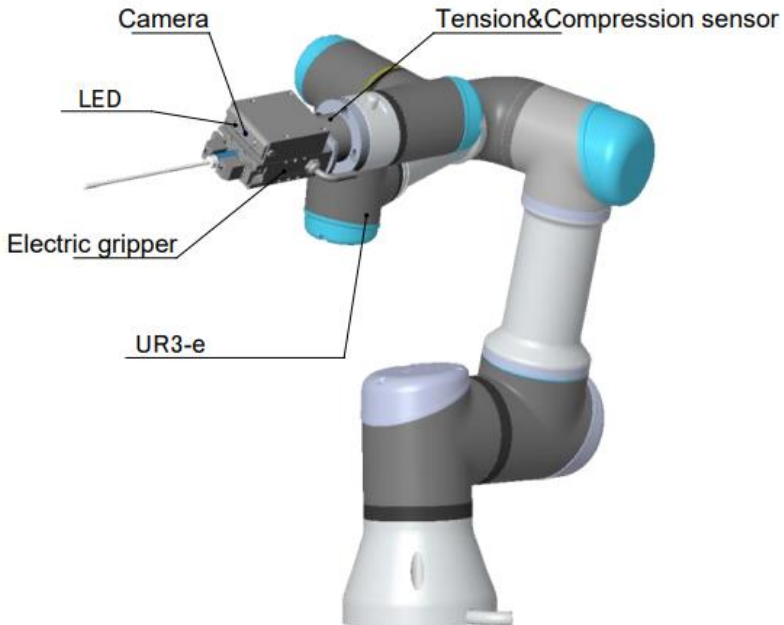
Pengambilan spesimen swab dari pasien secara manual merupakan prosedur standar; namun, kontak yang terlalu lama dengan pembawa virus potensial telah menimbulkan risiko besar bagi tenaga medis (Gadkar et al., 2018). Dalam pekerjaan saat ini, lengan robot 6-sumbu dikembangkan untuk pengumpulan spesimen otomatis (Gambar 21). Lengan robot dipandu oleh gambar video streaming dari kamera CCD dengan posisi pemeriksaan yang telah ditentukan untuk koreksi otomatis. Sensor

tegangan dan gaya kompresi pada resolusi 0,4-N terintegrasi untuk memberikan umpan balik gaya dan untuk mengurangi ketidaknyamanan dan potensi bahaya bagi pasien. Setelah swab mencapai orofaring, lengan robot bergerak dua kali ke atas dan ke bawah dan dua kali ke kiri dan ke kanan, mengumpulkan spesimen orofaring dalam jumlah yang cukup untuk pemeriksaan analisis asam nukleat.



Gambar 23. Sistem pengumpulan spesimen dengan lengan robot

Operasi pengumpulan spesimen dipecah menjadi gerakan elemen, seperti mengambil swab, membuka tutup atau mengencangkan tutup tabung koleksi, bergerak pada sudut tertentu dengan koreksi gambar video dan umpan balik gaya, mengaduk swab serta mematahkan poros swab, yang semuanya diprogram untuk dilakukan secara otomatis oleh lengan robot. Seperti yang ditunjukkan pada Gambar 21A, lengan robot dikembangkan dari model meja komersial (UR3, Universal Robots, Odense, Denmark), di mana pada ujung lengan robot terdapat gripper listrik (PGE-15, DH-Robotics, Shenzhen, Cina) dipasang untuk manipulasi objek halus.



Gambar 24. Ilustrasi lengan robot untuk pengambilan sampel otomatis

Keterangan :

- Tension and compression sensor : sensor tegangan dan kompresi
- Camera : Kamera
- LED (Light Emitting Diode) : suatu lampu indikator dalam perangkat elektronika yang memiliki fungsi untuk menunjukkan status aktif atau tidaknya dari perangkat elektronika ini.
- Electric gripper : Sebuah gripper listrik untuk mencapai kekuatan mencengkeram yang sangat akurat, posisi, dan kontrol kecepatan lengan robot yang sulit dikontrol oleh unit konvensional.



- E-Series UR3e adalah versi kecil namun kuat dari teknologi robot kolaboratif terobosan dari Universal Robots.

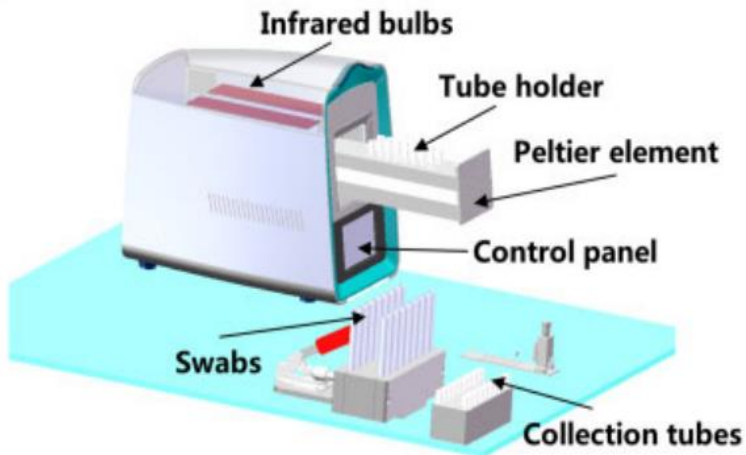
Selain itu, sumber cahaya LED dan kamera memberikan pengenalan visual dan panduan real-time dari lengan robot, sedangkan sensor gaya tegangan dan kompresi memfasilitasi umpan balik gaya ketika lengan robot mendekati tenggorokan. Begitu lengan robot mendekati bukaan diafragma, gerakan melambat dan gerakan maksimum per langkah dibatasi hingga 3 mm hingga swab mencapai orofaring subjek uji. Lengan robot duduk di belakang diafragma sekali pakai yang ditempatkan di depan jendela pengambilan sampel, di mana subjek uji menggigit diafragma dengan kuat untuk memungkinkan pembukaan mulut yang lebar. Perlengkapan untuk gigi dan penekan lidah dimasukkan ke dalam daerah gigitan diafragma, yang memungkinkan fiksasi posisi kepala subjek uji dan penetapan jalur pengambilan sampel ke orofaring. Jalur pengambilan sampel tidak terpengaruh oleh pergerakan subjek uji selama mereka menggigit diafragma dengan benar.

Untuk mengevaluasi efisiensi pengumpulan spesimen, spesimen di orofaring dari orang sehat dikumpulkan dan dibandingkan dengan spesimen hasil pengumpulan otomatis oleh lengan robot, dan pengumpulan manual oleh tenaga medis terlatih. Sampel sel orofaringeal dianalisis dengan LAMP menggunakan primer yang menargetkan gen human glyceraldehyde-3-phosphate dehydrogenase (GAPDH). Untuk menilai spesimen yang dikumpulkan, nilai time to positivity (Tp) ditentukan sebagai turunan kedua dari hasil amplifikasi, dan nilai Tp yang lebih rendah menunjukkan konsentrasi sampel uji yang lebih tinggi (Gadkar et al., 2018). Nilai Tp kurva GAPDH dianalisis dan dibandingkan antara pengumpulan otomatis dan manual.

### 7.3. Penonaktifan Patogen

Spesimen yang dikumpulkan harus disimpan dalam lemari biosafety dan dinonaktifkan sebelum pemeriksaan NAT (WHO, 2020). Pemanasan penangas air konvensional memakan waktu

dan sulit untuk diotomatisasi. Perangkat inaktivasi cepat, dikembangkan sehingga spesimen yang dikumpulkan secara otomatis dimuat ke perangkat inaktivasi di dalam kabinet biosafety oleh lengan robot. Perangkat inaktivasi memanfaatkan radiasi inframerah diferensial dan efek termoelektrik untuk mengontrol suhu di bagian atas dan bawah tabung koleksi (Gambar 22). Untuk mengukur keseragaman suhu, satu set termokopel ditempatkan di bagian atas tabung pengumpul di masing-masing dari 16 posisi duduk. Profil suhu dengan radiasi inframerah ditangkap secara real time selama 12 menit dengan interval 10 detik oleh modul akuisisi data (34972 A, Unit Akuisisi/Pengalihan Data; Keysight).



Gambar 25. Penonaktifan Patogen

Keterangan :

- Infrared bulbs : lampu infra merah
- Tube Holder : Pemegang Tube/tabung reaksi kecil
- Peltier element : Elemen Peltier
- Control Panel : Panel kendali

- Collection tubes: koleksi Tube/ tabung reaksi kecil
- Swabs : alat pengusap untuk memperoleh spesimen

Perangkat inaktivasi cepat memenuhi kebutuhan 2 skenario kerja. Di satu sisi, spesimen yang dikumpulkan disimpan dalam buffer awetan, di mana kedua bola lampu inframerah dan elemen Peltier berfungsi sebagai pemanas untuk inaktivasi panas lengkap. Di sisi lain, spesimen yang dikumpulkan dipertahankan dalam buffer lisis, di mana lampu inframerah memberikan inaktivasi termal residu patogen di dinding samping dan tutup di bagian atas, dan elemen Peltier tetap aktif untuk inaktivasi kimia patogen (Pastorino et al., 2020).

Efisiensi inaktivasi diuji menggunakan pseudovirus Middle East respiratory syndrome coronavirus (MERS-CoV) dan SARS-CoV-2. Pertama, larutan pseudovirus ditambahkan ke tabung koleksi pada 200 L dan dipanaskan pada 56 °C selama 30 menit atau 70 °C selama 12 menit, masing-masing, dengan elemen Peltier. Radiasi inframerah diterapkan secara bersamaan pada suhu yang disetel 95 °C di bagian atas tabung pengumpul. Aktivitas virus dari sampel yang tidak aktif diperiksa menggunakan uji luciferase (Ju et al., 2020). Kedua, smear pseudovirus MERS-CoV diterapkan pada dinding samping atas dan tutup tabung koleksi dan dipanaskan dengan radiasi inframerah untuk mengatur suhu masing-masing 90 °C, 95 °C, dan 100 °C, sedangkan bagian bawah diisi dengan 60 µL dietil pirokarbonat air yang diolah dengan tidak dipanaskan. Untuk setiap suhu, pemanasan inframerah diuji masing-masing selama 5 menit dan 12 menit. Setelah inaktivasi cepat, tabung dikocok dengan kuat sehingga apusan dicampur kembali dengan air yang diolah dengan dietil pirokarbonat untuk uji luciferase. Mempertimbangkan bahwa pseudovirus ini dapat menginfeksi sel inang hanya untuk satu kali dan bahwa kemampuan infeksi yang buruk dapat menyebabkan hasil negatif palsu, virus stomatitis vesikular yang dapat direplikasi digunakan untuk mensimulasikan inaktivasi patogen sesungguhnya.

Faktor risiko yang mungkin untuk hasil negatif palsu oleh pemeriksaan NAT (Leclercq et al., 2014; Pan, Long, et al., 2020;

Pastorino et al., 2020) dengan inaktivasi termal patogen yang terganggu dengan integritas asam nukleat karena pemanasan yang tidak tepat. Integritas spesimen terinaktivasi panas dievaluasi menggunakan RT-qPCR dengan pseudovirus FNV-2019-ncov-abEN (Fubio Biological Technology Co., Ltd.). Setelah inaktivasi, RNA dari sampel yang tidak aktif dengan perlakuan pemanasan, dilepaskan dengan mencampur dengan reagen release sampel (sampel 10- $\mu$ L hingga 10  $\mu$ L reagen; Sansure Biotech) selama 10 menit pada suhu kamar. RNA virus dikuantifikasi dengan menghitung nilai siklus kuantifikasi (Cq) RT-qPCR menggunakan probe fluoresensi (Novel Coronavirus [2019-nCoV] Kit Diagnostik Asam Nukleat [Sansure Biotech]; 30 menit pada 50 °C, 1 menit pada 95 °C, dan 45 siklus 15 detik pada 95 °C dan 30 detik pada 60 °C).

#### 7.4. Patogen Nats

Penganalisis asam nukleat mikrofluida terdiri dari chip mikrofluida sentrifugal yang terintegrasi penuh dan mesin terkait seperti modul pemintalan dan pemanas serta modul deteksi optik. Chip mikrofluida sentrifugal menampung 2 reaksi paralel untuk menganalisis 2 sampel secara bersamaan. Masing-masing terdiri dari 3 modul utama termasuk ekstraksi asam nukleat, preamplifikasi dengan amplifikasi polimerase rekombinase transkripsi balik, dan amplifikasi oleh LAMP. Spesimen yang tidak aktif langsung dimasukkan ke dalam chip dengan pemipetan, dan prosedur penanganan cairan dan amplifikasi berikut secara otomatis didorong oleh gaya sentrifugal untuk mencapai otomatisasi "sampel masuk, langsung jawab keluar" untuk jenis NAT patogen.

Untuk mengevaluasi sensitivitas penganalisis, pseudovirus FNV-2019-ncov-abEN diencerkan ke berbagai gradien konsentrasi 100, 150, 300, 1000, 5000, dan 10.000 salinan/mL dan ditambahkan ke microchip. Pengulangan alat analisa dinilai dengan menguji pseudovirus FNV-2019-ncov-abEN pada konsentrasi 1000 eksemplar/mL menggunakan 5 batch (6 ulangan di setiap batch) dari microchip sentrifugal. Kekokohan alat analisis diuji dengan menambahkan berbagai kontaminan ke spesimen pseudovirus FNV-2019-ncovabEN yang disiapkan pada

konsentrasi 150 kopi/mL, termasuk azitromisin pada 5 mg/L, oseltamivir pada 12 mg/L, budesonide pada 10 mg/L, meropenem pada 100 mg/L, mometason pada 100 mg/L, musin pada 10 mg/L, ceftriaxone pada 40 mg/L, tobramycin pada 10 mg/L, zanamivir pada 10 mg/L, dan levofloxacin pada 10 mg /L. Hasil akhir diproses dan dilaporkan secara otomatis oleh platform informasi.

### 7.5. Evaluasi Sistem

Untuk mengevaluasi kinerja laboratorium bergerak dalam alur kerja diagnostik molekuler yang lengkap, spesimen swab orofaringeal dikumpulkan oleh lengan robot otomatis dari sukarelawan sehat, dibubuhi pseudovirus FNV-2019-ncov-abEN hingga konsentrasi 150 kopi/mL, tidak aktif, dan dianalisis dengan analisa asam nukleat mikrofluida. Kelompok kontrol berbeda, dengan pengumpulan manual sampel swab orofaringeal (n = 10).

### 7.6. Evaluasi Klinis Analisis Asam Nuklir Mikrofluida

Sampel klinis diperoleh dengan persetujuan dari pasien. Sebanyak 736 sampel klinis (377 sampel pasien pria dan 359 pasien wanita; usia rata-rata: 43,11 tahun) dikumpulkan dari 723 pasien (370 pasien pria dan 353 pasien wanita; usia rata-rata: 43,17 tahun). Hasil diagnostik sampel klinis menggunakan penganalisis asam nukleat mikrofluida onboard dibandingkan dengan metode RT-qPCR, referensi menggunakan analisis konsistensi j, dan koefisien j yang telah ditentukan. Hasil diagnostik pasien yang menggunakan penganalisis mikrofluida juga dibandingkan dengan standar referensi melalui penilaian klinis.

### 7.7. Sistem Pendukung

Sistem ventilasi udara memberikan tekanan negatif pada 15 Pa ke seluruh kabin laboratorium bergerak, dan kabinet biosafety level 2 menggunakan sistem ventilasi udara yang berdiri sendiri. Karena jendela pengambilan sampel tetap terbuka selama pengumpulan spesimen untuk mencegah kontaminasi silang dengan lingkungan luar, tirai udara yang dirancang khusus digunakan melalui udara

luar yang ditarik ke dalam kisi-kisi di sepanjang sisi jendela pengambilan sampel dengan tekanan negatif.

Saluran masuk dan keluar udara dari sistem ventilasi udara dipasang dengan filter HEPA untuk menghilangkan kontaminasi silang dengan lingkungan luar. Pintu laboratorium bergerak, tetap tertutup selama pengumpulan dan analisis spesimen. Untuk kabinet biosafety, udara luar dipaksa masuk oleh ventilator udara yang berdiri sendiri, melewati saluran udara kabinet dan filter HEPA sebelum dikirim kembali ke bagian dalam kabinet.

Simulasi profil aliran udara di kabinet biosafety dan di dekat jendela pengambilan sampel dilakukan menggunakan COMSOL Multiphysics. Ventilator diatur sebagai saluran masuk aliran udara dari dalam kabinet biosafety, sementara udara di lingkungan luar dianggap bergerak dengan kecepatan yang jauh lebih lambat dan dapat ditarik ke jendela pengambilan sampel karena perbedaan tekanan. Kecepatan udara masuk dari ventilator adalah 0,365 m/s, dan kecepatan udara dari lingkungan adalah 0,00365 m/s.

Wastafel dengan fungsi pencuci mata dipasang di dekat kabinet biosafety, di mana tangki berisi air deionisasi dan air keran terletak di bawahnya. Air limbah dibuang ke tangki penyimpanan di bagian bawah kendaraan. Selain itu, reagen dan sampel dapat disimpan di lemari es di sebelah kabinet biosafety. Listrik kota dapat langsung dicolokkan untuk memasok kebutuhan daya laboratorium bergerak. Ketika listrik kota tidak mampu, generator tenaga diesel onboard yang mampu memberikan daya 7 kW menyediakan daya cadangan. Langkah-langkah ini secara signifikan meningkatkan kemandirian laboratorium bergerak yang dapat diterapkan dengan cepat ke berbagai skenario sesuai permintaan.

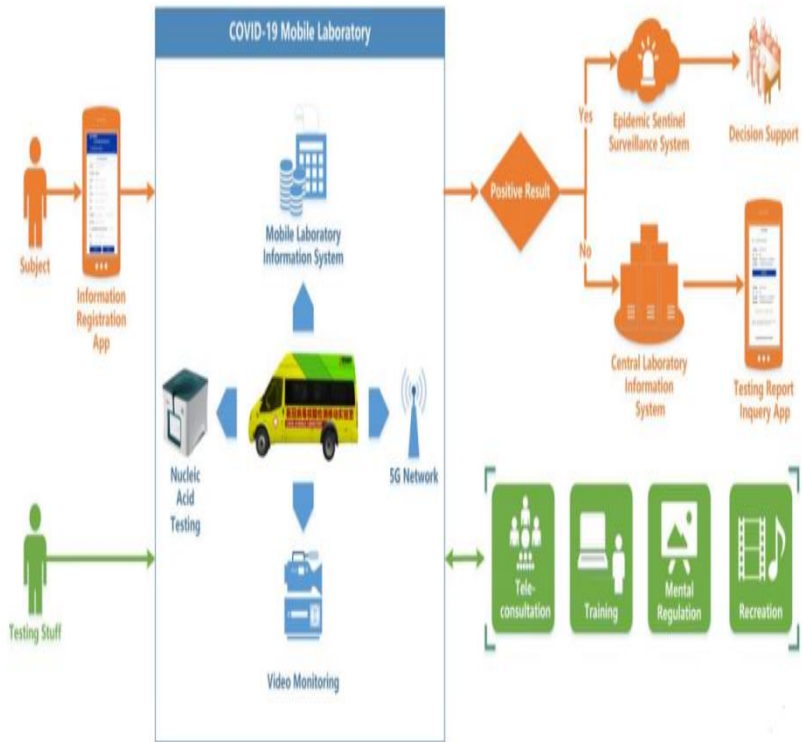
#### 7.8. Hasil Pengamatan untuk Mobile Laboratory (Laboratorium Bergerak)

Di laboratorium bergerak berbasis van yang dibangun, lengan robot 6-sumbu dengan penglihatan buatan bawaan dan umpan balik gaya digunakan untuk pengambilan sampel usap orofaringeal. Spesimen yang dikumpulkan dipindahkan langsung ke modul pemanas untuk inaktivasi patogen yang cepat, diikuti

oleh NAT onboard menggunakan penganalisis asam nukleat mikrofluida yang terintegrasi penuh. Laboratorium bergerak dilengkapi dengan 8 penganalisis asam nukleat mikrofluida, yang secara signifikan meningkatkan hasil laboratorium bergerak menjadi 150 sampel dalam 8 jam. Platform informasi onboard memiliki poros berbasis data yang mampu melakukan persepsi real-time dan multidimensi, pengawasan, dan pengambilan keputusan cerdas untuk menanggapi wabah COVID-19.

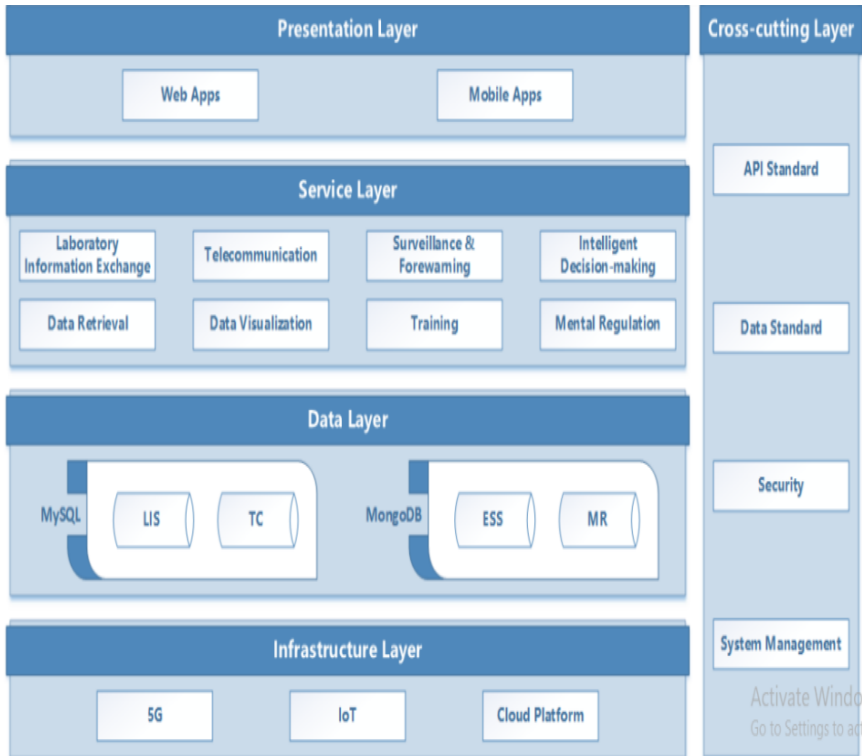
Platform informasi laboratorium bergerak dibangun menggunakan arsitektur berlapis, termasuk lapisan infrastruktur (the infrastructure layer), lapisan data (data layer), lapisan layanan (service layer), dan lapisan presentasi (presentation layer) (Gambar 20C bagian b). Modul fungsional yang berbeda saling terhubung oleh jaringan internet of things (IoT). Platform informasi laboratorium seluler didasarkan pada penggabungan generasi baru teknologi informasi, termasuk 5G, internet of things (IoT), data besar, dan kecerdasan buatan (AI, artificial intelligence). Apa yang disebut pivot data-driven berarti platform informasi laboratorium seluler COVID-19 adalah pusat pemrosesan untuk beragam data, seperti informasi pendaftaran subjek uji, informasi laboratorium, hasil pengujian, dll. Aliran data dikendalikan dan diproses oleh informasi platform untuk pengawasan, dan pengambilan keputusan cerdas COVID-19.

a





**b**



Gambar 26. Sistem informasi laboratorium bergerak

Keterangan:

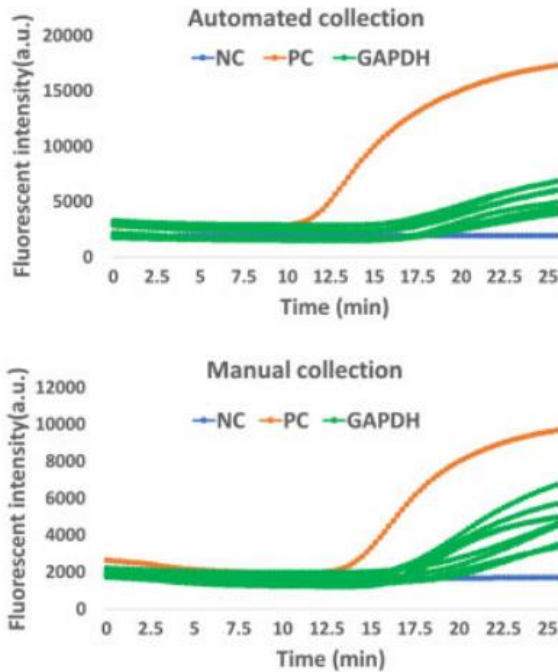
- Bagian a : Diagram skema platform informasi laboratorium bergerak.
- Bagian b : Arsitektur berlapis dari platform informasi, termasuk lapisan infrastruktur, lapisan data, lapisan layanan, dan lapisan presentasi. Lapisan infrastruktur terdiri dari 5G, internet of things (IoT) dan instance cloud. Lapisan data terdiri dari 4 database, termasuk database informasi laboratorium (LID, laboratory

information database) dan database pelatihan-konsultasi (TCD, training-consultation database) yang didukung oleh MySQL, dan database surveilans sentinel epidemi (ESSD, epidemic sentinel surveillance database) dan database regulasi mental (MRD, mental regulation database) yang didukung oleh MongoDB. Lapisan layanan menyediakan berbagai layanan seperti pertukaran informasi laboratorium, telekomunikasi, surveilans sentinel epidemi (pengawasan, peringatan dini dan pengambilan keputusan cerdas), manipulasi data (pengambilan data dan visualisasi data), pelatihan dan regulasi mental. Lapisan presentasi terdiri dari aplikasi pintar dan terhubung (berbasis web dan seluler). Lapisan lintas sektor menyediakan fungsionalitas umum yang mencakup seluruh lapisan yang disebutkan di atas, termasuk standar data, standar API, keamanan, dan manajemen sistem.

### 7.9. Hasil Pengamatan untuk Koleksi Spesimen

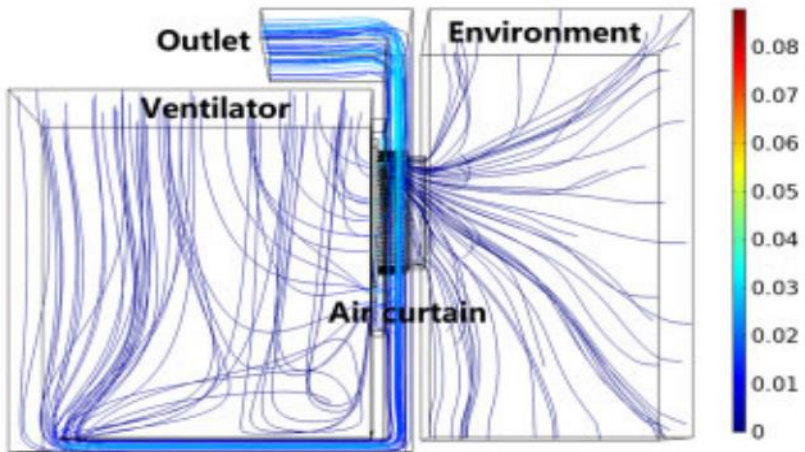
Lengan robot menunjukkan pengulangan yang baik 60,1 mm, tapak kecil dengan diameter 128 mm, dan konsumsi daya rendah 100 W di bawah pengaturan tipikal. Pergerakan lengan robot dikontrol dengan tepat, dan statusnya dipantau di beberapa pos pemeriksaan dalam sekali jalan, di mana koreksi otomatis lengan robot diterapkan untuk memastikan operasi yang aman dan lancar.

Efisiensi pengumpulan spesimen dievaluasi dengan membandingkan nilai  $T_p$  gen GAPDH dalam reaksi LAMP dari bahan seluler manusia dari peserta sehat yang dikumpulkan dengan pengumpulan otomatis dan manual (Gambar 23). Nilai rata-rata (SD)  $T_p$  dari gen GAPDH dari koleksi otomatis dan manual masing-masing adalah 13,7 (0,6) menit dan 14,1 (1,2) menit ( $n=8$ ). Hasil ini menunjukkan tidak ada perbedaan yang signifikan dari spesimen swab orofaringeal yang dikumpulkan antara pengumpulan otomatis dan manual.

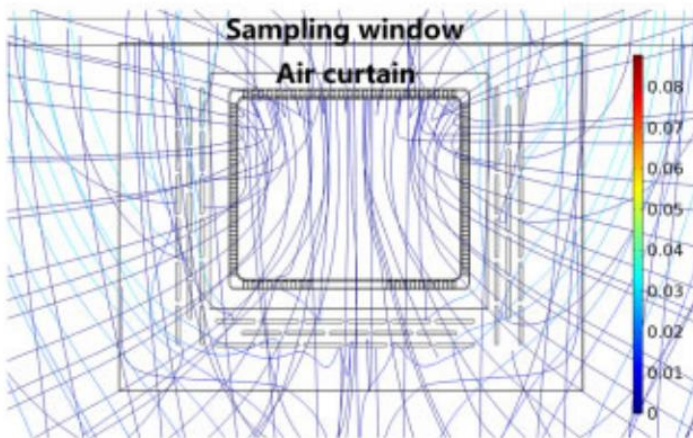


Gambar 27. Perbandingan spesimen manusia dari orofaring yang dikumpulkan oleh lengan robot (aautomated collection, kurva bagian atas) dan tenaga medis terlatih (manual collection, kurva bagian bawah)

Gambar 28 dan 29 menunjukkan bahwa tirai udara secara efisien menyerap aliran udara baik dari dalam maupun luar kabinet biosafety tanpa kebocoran nyata melalui jendela pengambilan sampel. Hasil ini menunjukkan keberhasilan isolasi kabinet biosafety baik dari lingkungan luar maupun kabin laboratorium selama pengumpulan spesimen.



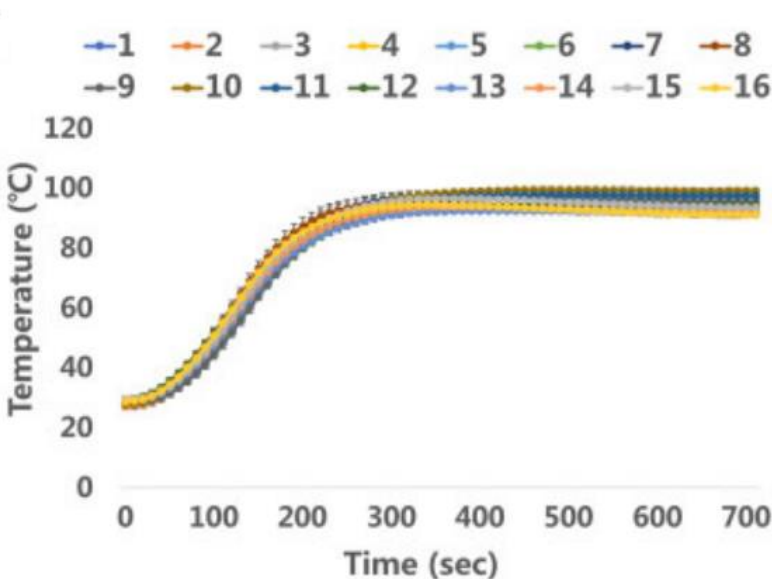
Gambar 28. Tampilan samping profil simulasi aliran udara di kabinet biosafety. Kecepatan udara masuk dari ventilator adalah 0,365 m/s, dan kecepatan udara dari lingkungan (environment) adalah 0,00365 m/s. Perbedaan warna menunjukkan kecepatan aliran udara



Gambar 29. Tampilan detail profil aliran udara di dekat tirai udara (air curtain) dari jendela pengambilan sampel (sampling window). Perbedaan warna menunjukkan kecepatan aliran udara

### 7. 10. Hasil Pengamatan Penonaktifan Patogen

Seperti ditunjukkan pada Gambar berikut, profil suhu bagian atas tabung pengumpul di semua posisi dudukan menunjukkan pemanasan seragam oleh radiasi inframerah. Dibutuhkan <5 menit untuk mencapai suhu yang disetel pada 95 °C di bagian atas tabung pengumpul, dengan overshoot maksimum <2 °C. SD (standard deviation) suhu stabil setelah pemanasan selama 5 menit adalah 2,4 C.



Gambar 30. Profil suhu bagian atas dari 16 tabung koleksi dengan pemanasan inframerah

Keterangan:

- Sumbu x: Time (sec) : Waktu (detik)
- Sumbu y: Temperature (°C) : Suhu (°C)

Gambar selanjutnya memberikan data yang menunjukkan bahwa dalam inaktivasi pemanasan termoelektrik, pseudovirus dapat berhasil dinonaktifkan dengan pemanasan pada 56 °C selama 30 menit dan 70 °C selama 12 menit. Gambar 28 menunjukkan bahwa tidak ada aktivitas virus yang terdeteksi, dan virus sisa yang tertinggal di dinding samping dan tutup atas berhasil dinonaktifkan. Inaktivasi lengkap virus stomatitis vesikular yang dapat direplikasi dapat dicapai setelah pemanasan inframerah bagian atas pada 95 °C dan 97 °C selama 12 menit (Gambar 29). Secara keseluruhan, hasil ini menunjukkan keberhasilan inaktivasi patogen di kedua solusi dan dinding samping dalam waktu 12 menit pada suhu optimal 95 °C.

**Inactivation using mode 1 (a.u.)**

SARS-CoV-2	SARS-CoV-2	SARS-CoV-2	MERS-CoV	MERS-CoV	MERS-CoV	Negative control
Non-inactivation	Inactivation- 56°C, 30 min	Inactivation- 70°C, 12 min	Non-inactivation	Inactivation- 56°C, 30 min	Inactivation- 70°C, 12 min	
38855	5	10	2484224	10	5	10
49749	10	5	2451514	10	10	5
38375	5	5	1944031	15	10	5

Gambar 31. Inaktivasi pseudovirus SARS-CoV-2 dan MERS-CoV dalam buffer pelestarian menggunakan mode 1

**Inactivation using mode 2 (a.u.)**

MERS-CoV Non-inactivation	MERS-CoV Inactivation- 90°C, 5min	MERS-CoV Inactivation- 90°C, 12min	MERS-CoV Inactivation- 95°C, 5min	MERS-CoV Inactivation- 95°C, 12min	MERS-CoV Inactivation- 100°C, 5min	MERS-CoV Inactivation- 100°C, 12min	Negative control
44574	5	58	0	5	5	5	19
18822	19	53	10	15	5	330	10
17761	10	19	10	15	10	5	19

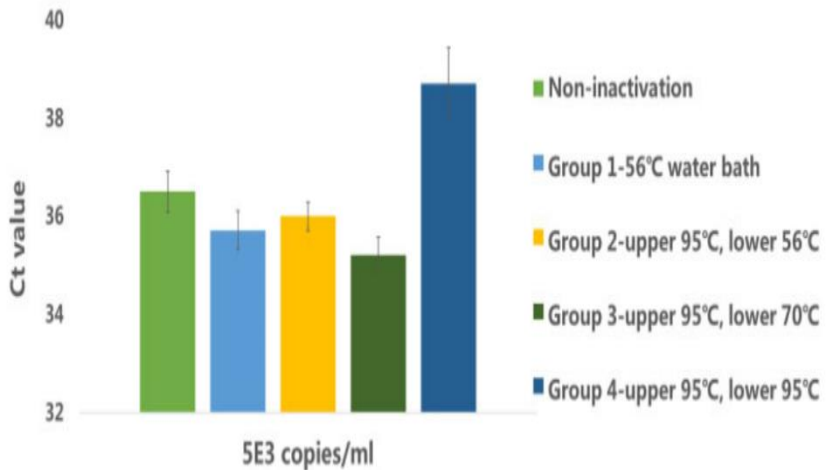
Gambar 33. Inaktivasi apusan pseudovirus MERS-CoV di bagian atas dinding samping dan tutup menggunakan mode 2. Dalam Gambar 27 dan 28, kontrol negatif mengacu pada sumur mikro berlapis sel yang tidak mengandung virus. sampel, dan kelompok noninactivated mengacu pada microwell berlapis sel yang berisi sampel virus yang tidak melalui proses inaktivasi. Angka dan kode warna dalam grafik mewakili besarnya sinyal fluoresen dalam uji luciferase. a.u (arbitrer unit): unit arbitrer

**Inactivation using mode 2 (a.u.)**

VSV-G Non-inactivation	VSV-G Inactivation- 90°C, 12min	VSV-G Inactivation- 95°C, 12min	VSV-G Inactivation- 97°C, 12min	VSV-G Inactivation- 100°C, 12min	Negative control
1825716	39	48	5	111	58
6963654	465	19	29	78	73
3644357	620	19	39	48	68

Gambar 32. Inaktivasi apusan virus VSV-G yang dapat direplikasi di dinding samping dan tutup atas menggunakan mode 2. Kontrol negatif mengacu pada sumur mikro berlapis sel yang tidak mengandung sampel virus, dan kelompok yang tidak dinonaktifkan mengacu pada sumur mikro berlapis sel yang berisi sampel virus yang tidak melalui proses inaktivasi. Angka dan kode warna dalam grafik mewakili besarnya sinyal fluoresen dalam uji luciferase

Gambar berikut menunjukkan bahwa nilai Cq tes RTqPCR pseudovirus FNV-2019-ncov-abEN meningkat  $>2$  ketika bagian bawah tabung koleksi dipanaskan pada  $95\text{ }^{\circ}\text{C}$  dibandingkan dengan kondisi lain. Hasil ini menunjukkan bahwa pemanasan suhu tinggi di bagian bawah tabung pengumpul merusak asam nukleat spesimen, yang menyebabkan hilangnya asam nukleat yang dapat dideteksi secara substansial dalam sampel yang tidak aktif. Selain itu, ketika suhu bagian bawah tabung pengumpul adalah  $<70\text{ }^{\circ}\text{C}$ , nilai Cq dari kelompok yang tidak aktif tetap serupa dengan kontrol ( $\Delta\text{Cq}<1$ ), menunjukkan penerapan yang luas dari perangkat inaktivasi cepat untuk mencapai inaktivasi yang efisien tanpa menyebabkan kerusakan asam nukleat patogen.

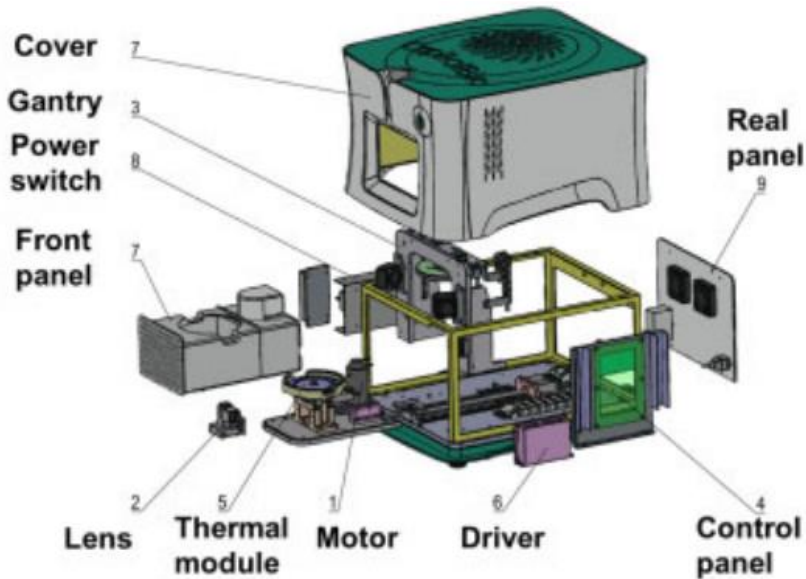


Gambar 34. Hasil amplifikasi RT-qPCR pseudovirus FNV-2019-ncov-abEN pada konsentrasi  $5\text{E}3$  eksemplar/mL setelah inaktivasi pada kondisi yang berbeda ( $n = 3$ ). Pseudovirus FNV-2019-ncov-abEN yang tidak diaktifkan digunakan sebagai kontrol untuk memeriksa integritas asam nukleat yang diolah. Pada kelompok 1, tabung koleksi yang berisi sampel pseudovirus dipanaskan dalam penangas air pada suhu  $56\text{ }^{\circ}\text{C}$  selama 30 menit, sedangkan pada kelompok 2, 3, dan 4, bagian atas tabung dipanaskan pada suhu  $95\text{ }^{\circ}\text{C}$  sedangkan bagian bawah dipanaskan pada  $56\text{ }^{\circ}\text{C}$  selama 30 menit,  $70\text{ }^{\circ}\text{C}$  selama 12 menit, dan  $95\text{ }^{\circ}\text{C}$  selama 12 menit, masing-masing. Ct, Threshold cycle : siklus ambang



### 7.11. Hasil Patogen NATS

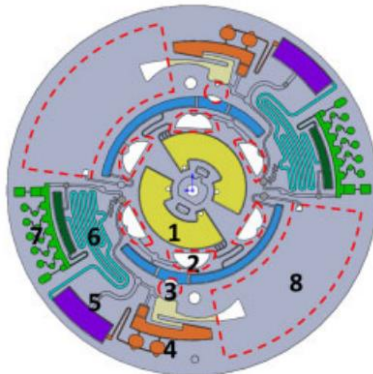
Penganalisis asam nukleat mikrofluida yang dikembangkan ditunjukkan pada Gambar 35, dan chip mikrofluida disk sentrifugal ditunjukkan pada Gambar 36. Operasi otomatis membawa kecepatan yang belum pernah terjadi sebelumnya; ekstraksi asam nukleat, preamplifikasi, dan amplifikasi memakan waktu <10 menit, <15 menit, <20 menit, masing-masing, terhitung total <45 menit dalam analisis. Selain itu, karena sensitivitas tinggi dari sistem nested amplifikasi isothermal, tes pendahuluan dengan pseudovirus FNV-2019-ncov-abEN sering kali memberikan hasil positif dalam waktu sesingkat 35 menit. Karena semua operasi amplifikasi asam nukleat dari spesimen yang tidak aktif dilakukan secara otomatis di dalam microchip yang disegel, isolasi fisik ruang operasi seperti di laboratorium PCR tidak diperlukan, sangat mengurangi pembatasan ruang pada laboratorium bergerak.



Gambar 35. Penganalisis asam nukleat mikrofluida. Diagram penganalisis asam nukleat mikrofluida yang dikembangkan

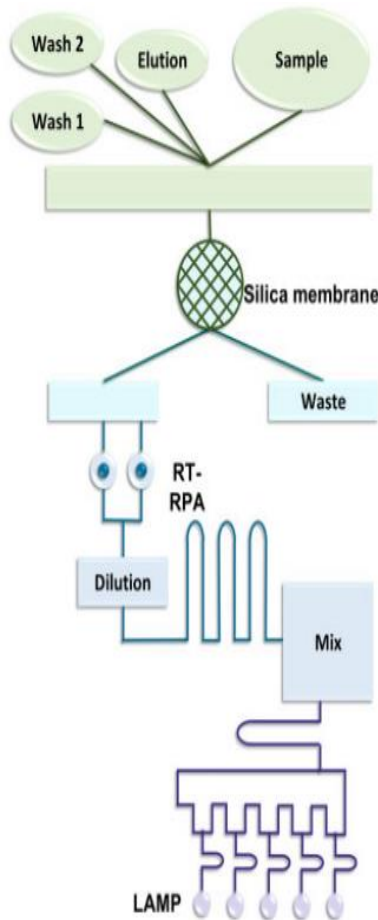
Keterangan :

1. Motor : Mesin Penggerak
2. Lens : Lensa
3. Gantry : Tempat rangka perangkat
4. Control panel : Panel kendali
5. Thermal module : berfungsi menonaktifkan thermal control di smart phone
6. Driver : komponen software yang berfungsi sebagai perangkat komunikasi antara Sistem Operasi dan hardware
7. Front Panel : Panel depan
8. Power switch : Tombol on/off
9. Real Panel : Panel listrik



Gambar 36. Penganalisis asam nukleat mikrofluida. Tata letak chip mikrofluida sentrifugal yang terintegrasi penuh. Komponennya meliputi:

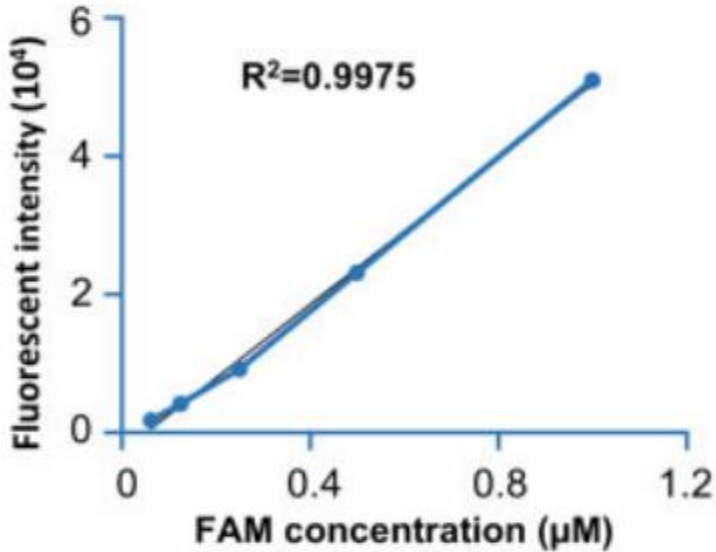
- (1). wadah sampel,
- (2) wadah penyangga,
- (3) membran silika (bagian belakang),
- (4) ruang reaksi reverse transcription recombinase polymerase amplification (RT-RPA),
- (5) ruang pengenceran,
- (6) ruang pencampuran saluran,
- (7) ruang reaksi LAMP, dan
- (8) penampungan limbah. Pelet kering probe dan primer untuk RT-RPA ditambahkan langsung ke ruang reaksi sebelum pengemasan. Reagen yang mengandung probe dan primer untuk LAMP diisi sebelumnya ke ruang yang sesuai pada 60  $\mu$ L dan dikeringkan pada suhu kamar



Gambar 37. Skema kerja Penganalisis asam nukleat mikrofluida

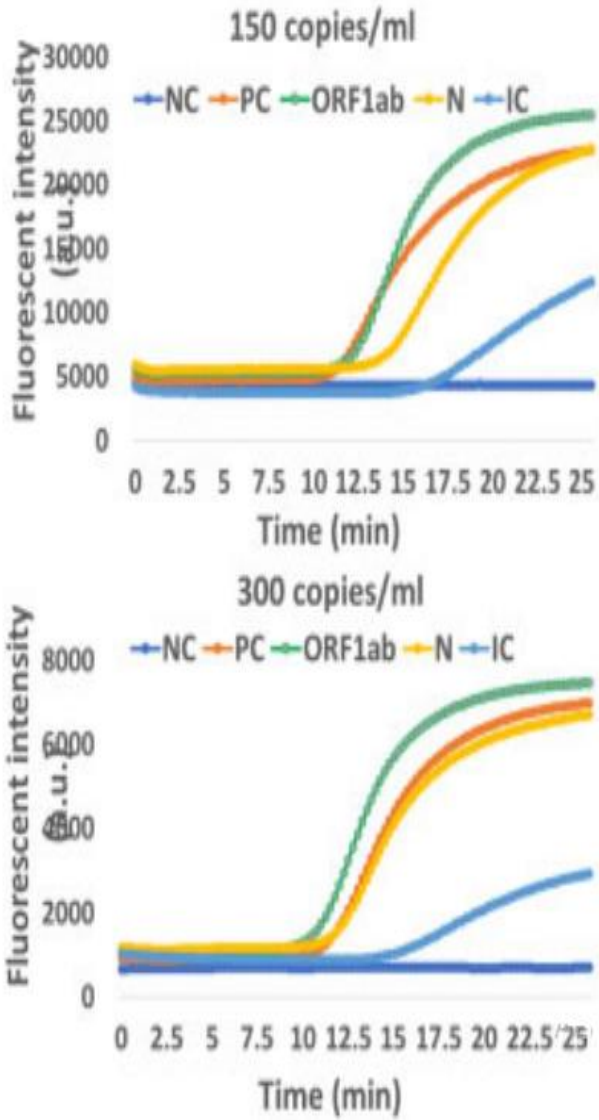
Kinerja penganalisis asam nukleat mikrofluida dievaluasi dalam berbagai cara:

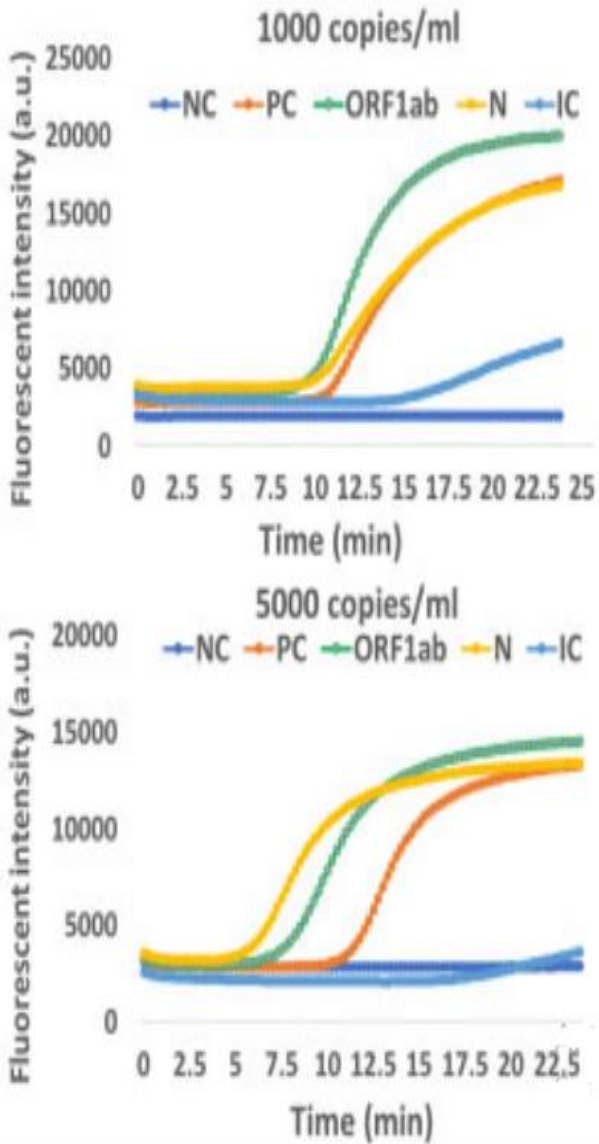
Pertama, linearitas deteksi sinyal fluoresen diuji dengan FAM (fluorescein amidite) dalam kisaran konsentrasi 0,0625-1.000  $\mu\text{mol/L}$ , dan linearitas 0,9975 tercapai (Gambar 34).

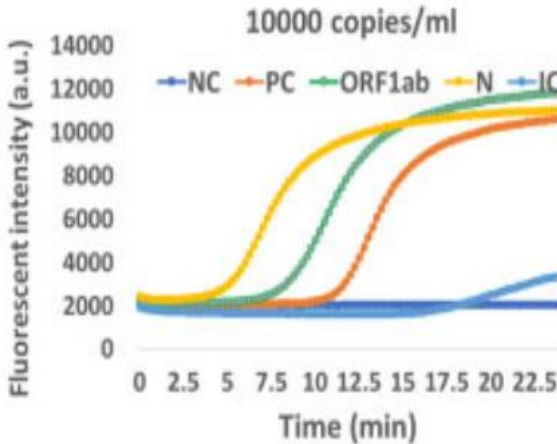


Gambar 38. Linearitas detektor fluorezen menggunakan FAM

Kedua, sensitivitas alat analisis dievaluasi mampu mendeteksi pseudovirus pada tingkat deteksi positif 100% dengan 20 sampel pada konsentrasi 150 dan 300 salinan/mL, dan menunjukkan 90% pada konsentrasi 100 salinan/mL. Batas deteksi penganalisis ditentukan menjadi 150 eksemplar/mL. Deteksi yang berhasil dari kedua wilayah Open Reading Frame 1ab (ORF1ab) dan gen N menunjukkan pengujian asam nukleat patogen yang kuat dan tidak bias. Kurva amplifikasi khas pseudovirus FNV-2019-ncov-abEN pada berbagai konsentrasi yang berbeda ditunjukkan pada Gambar 35.

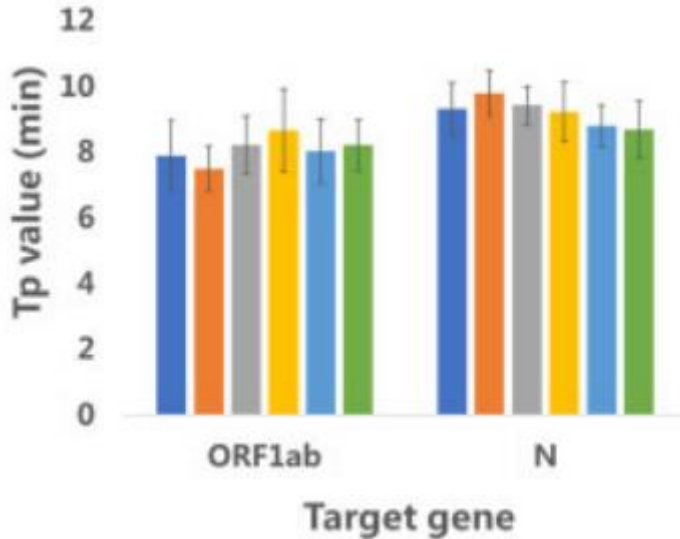






Gambar 39. Kurva amplifikasi NAT dari konsentrasi yang berbeda dari pseudovirus FNV-2019-ncov-abEN pada 150, 300, 1000, 5000, dan 10000 salinan/mL menggunakan peng analisis yang dikembangkan. Kontrol positif (PC, Positive control): virus plak bebek; kontrol negatif (Negative Control): air yang diolah dengan dietil pirokarbonat ((DEPC, diethyl pyrocarbonate)-treated water)); pengendalian mutu internal (IC, internal quality control).

Ketiga, pengulangan microchip sentrifugal diuji dengan menganalisis nilai Tp menggunakan pseudovirus FNV-2019-ncov-abEN pada konsentrasi 1000 eksemplar/mL. Nilai Tp yang dianalisis untuk wilayah ORF1ab dan gen N dari 30 ulangan dari 5 batch ditunjukkan pada Gambar 36, CV nilai Tp untuk wilayah ORF1ab dan gen N masing-masing adalah 11,9% dan 8,6%, menunjukkan tidak ada perbedaan yang signifikan dalam batch yang berbeda dari NATs. Nilai Tp yang dekat dari wilayah ORF1ab dan gen N menunjukkan bahwa kedua gen yang ditargetkan dapat dideteksi dengan sukses.



Gambar 40. Pengulangan nilai Tp dari 5 batch microchip sentrifugal (6 ulangan/batch) dengan menganalisis wilayah ORF1ab dan Gen N pseudovirus FNV-2019-ncov-abEN pada konsentrasi 1000 copies/mL

Table 1. Urutan primer untuk RT-RPA pseudovirus FNV-2019-ncov-abEN

Gene	Primer	Sequence
N	N-b-2-F3	CTCAGTCCAAGATGGTATTTC
	N-b-2-B3	TGAGGAAGTTGTAGCACGAT
ORF1ab	19cov-ORF-3-F3	TACAATGATAAAGTAGCTG
	19cov-ORF-3-B3	ATGTTTAGCAACAGCTGGA

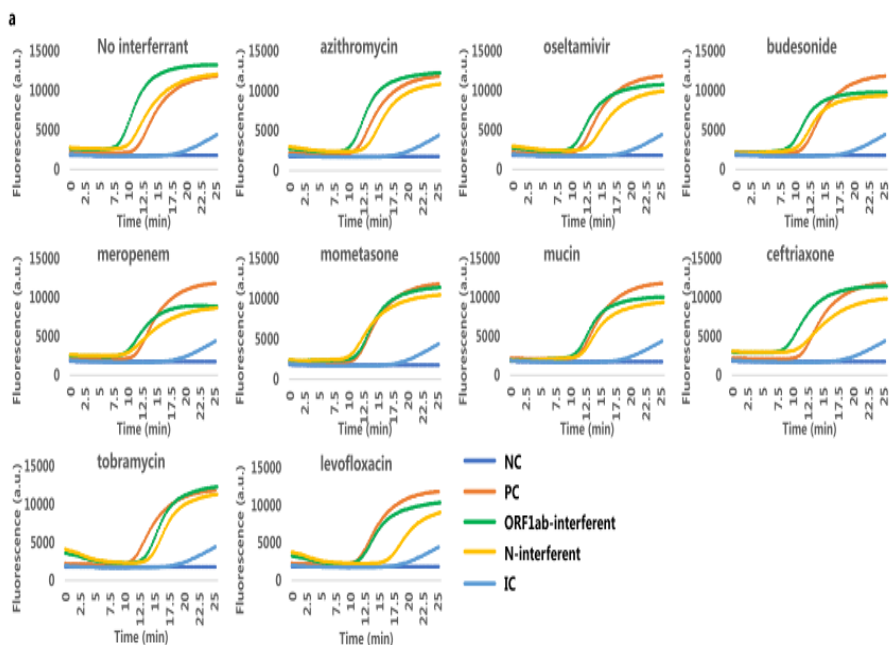


Table 2. Urutan primer untuk LAMP pseudovirus FNV-2019-ncov-abEN

Gene	Primer	Sequence
N	N-b-2-F3	CTCAGTCCAAGATGGTATTTTC
	N-b-2-B3	TGAGGAAGTTGTAGCACGAT
	N-b-2-FIP	CAACCCATATGATGCCGTCTTTGTACTACCTAGGAACTGGGCCAGA
	N-b-2-BIP	CAACTGAGGGAGCCTTGAATACATGCAGCATTGTTAGCAGGATTGC
	N-b-2-LF	CCATAGGGAAGTCCAGCT
	N-b-2-LB	AAGATCACATTGGCACCC
ORF1ab	19cov-ORF-3-F3	TACAATGATAAAGTAGCTG
	19cov-ORF-3-B3	ATGTTTAGCAACAGCTGGA
	19cov-ORF-3-FIP	TAAGAATCAATTAATTTGTCATCGCTAAATTCCTAAAACTAATTG
	19cov-ORF-3-BIP	TTGTAGTTAAGAGACACACTTTCATCCTTAAGTAAATTATAAATTG
	19cov-ORF-3-LF	CCTTTTCTTGAAGCGACA
	19cov-ORF-3-LB	TAACACCAACATGAAGA

Keempat, dalam sampel klinis, berbagai pengganggu mungkin ada dalam spesimen yang dikumpulkan yang akan menghambat NAT seperti obat antivirus, mikroorganisme, dan sebagainya. Dalam hal ini, nilai  $T_p$  untuk wilayah ORF1ab dan gen N dari larutan pseudovirus yang dibubuhi pengganggu mendekati nilai tanpa pengganggu, menunjukkan spesifisitas yang tinggi dari penganalisis mikofluida (Gambar 37). Khususnya, bahkan pada larutan pseudovirus konsentrasi rendah (misalnya, batas deteksi 150 kopi/mL), penambahan pengganggu tidak menunjukkan dampak pada deteksi sampel pseudovirus target. Secara keseluruhan, penganalisis asam nukleat mikrofuida menunjukkan sensitivitas, pengulangan, dan ketahanan yang unggul untuk NAT patogen, dan ukuran yang ringkas serta fungsionalitas terintegrasi

memfasilitasi penerapan yang bebas kontaminasi dan fleksibel dengan laboratorium seluler untuk diagnostik di tempat.



**b**

Tp	No interferants	azithromycin	oseltamivir	budesonide	meropenem	mometasone	mucin	ceftriaxone	tobramycin	zanamivir	levofloxacin	Mean	STD
ORF1ab	8.76	8.8	8.4	7.8	8.2	9.6	9.2	7.2	11.2	8	9.8	8.8	1.1
N	10.32	10.6	10.4	9	8.6	8.8	10	9.2	11.6	10.6	13	10.2	1.3

Gambar 41. Spesifisitas penganalisis asam nukleat mikrofluida menggunakan beberapa interferensi.

a. Kurva amplifikasi pseudovirus FNV-2019-ncov-abEN pada konsentrasi 150 kopi/ml dibuahi interferensi azitromisin pada 5 mg/l, osetamivir pada 12 mg/l, budesonide pada 10 mg/l, meropenem pada 100 mg/l, mometasone pada 100 mg/l, musin pada 10 mg/l, ceftriaxone pada 40 mg/l, tobramycin pada 10 mg/l, zanamivir pada 10 mg/l, dan levofloxacin pada 10 mg/l, masing-masing.

b. Nilai Tp yang dianalisis dari pengujian yang dilakukan dengan interferensi dalam a. PC: DPV, NC: Air yang diolah DEPC, IC: GAPDH

### 7. 12. Hasil Sistem Evaluasi

Seperti yang ditunjukkan pada Tabel 3, di semua 10 kelompok uji, wilayah ORF1ab spesifik dan gen N dari virus FNV-2019-ncovabEN dilaporkan positif dari spesimen yang dikumpulkan oleh lengan robot, konsisten dengan hasil spesimen yang dikumpulkan secara manual. Rerata (SD) dari nilai Tp gen GAPDH dari spesimen dari koleksi otomatis dan manual masing-masing adalah 12,4 (1,4) menit dan 12,5 (1,1) menit, menunjukkan keberhasilan deteksi materi genetik manusia dari spesimen usap orofaringeal. Nilai Tp untuk wilayah ORF1ab dan gen N sangat dekat, menunjukkan sensitivitas yang sangat baik dan deteksi yang tidak bias dalam diagnosis patogen.

Tabel 3. Hasil NAT dari spesimen swab orofaringeal yang dikumpulkan oleh laboratorium bergerak

Automated sampling					Manual sampling				
Test	GAPDH <sup>1</sup>	N <sup>1</sup>	ORF1ab <sup>1</sup>	Detected	Test	GAPDH <sup>1</sup>	N <sup>1</sup>	ORF1ab <sup>1</sup>	Detected
CoV0199-B	10.6	10.8	10.4	Y	CoV0199-A	10.4	11	11.4	Y
CoV0214-B	14.8	9	9	Y	CoV0214-A	12.6	11	9.6	Y
CoV0264-B	12.2	11	9.2	Y	CoV0264-A	14	14.6	14.4	Y
CoV0316-B	10	12.8	8.8	Y	CoV0316-A	11.4	11.2	10	Y
CoV0367-B	11.4	8	8	Y	CoV0367-A	12	11.8	10.2	Y
CoV1817-B	12.4	9.4	10.2	Y	CoV1817-A	12.2	11.4	9.6	Y
CoV1823-B	13.6	11.8	7.6	Y	CoV1823-A	13.4	11.8	8	Y
CoV2654-B	12.4	9.8	10.4	Y	CoV2654-A	12.6	9.2	9.4	Y
CoV2656-B	12.8	10.2	8.4	Y	CoV2656-A	13.2	12.2	10.2	Y
CoV2657-B	13.4	11.8	10.4	Y	CoV2657-A	13.4	10.8	9.2	Y
Mean ± SD	12.4 ± 1.4	10.5 ± 1.5	9.2 ± 1.1		Mean ± SD	12.5 ± 1.1	11.5 ± 1.4	10.2 ± 1.7	
Detection rate	10/10	10/10	10/10	10/10	Detection rate	10/10	10/10	10/10	10/10

**Keterangan:**

<sup>1</sup>Jumlah item ini mewakili nilai Tp dari masing-masing gen dalam hitungan menit.

### 7.13. Hasil Evaluasi Dengan Sampel Klinis

Ringkasan hasil uji konsistensi sampel klinis yang dianalisis oleh penganalisis asam nukleat mikrofluida dibandingkan dengan metode RT-qPCR disajikan pada Tabel 4. Dari 736 sampel klinis, 351 sampel dinyatakan positif dan 385 diuji negatif menggunakan penganalisis mikrofluida ini, dibandingkan dengan 346 sampel positif dan 390 negatif yang diuji dengan RT-qPCR, menunjukkan persentase positif yang tinggi masing-masing sebesar 99,71%, persentase negatif dari 98,46%, dan persentase keseluruhan dari masing-masing sebesar 99,05%. 95% CI untuk persentase positif, negatif, dan keseluruhan dihitung menggunakan metode Wilson (masing-masing 98,38%–99,95%, 96,68%–99,29%, dan 98,05%–99,54%). Koefisien j evaluasi sampel klinis menggunakan penganalisis asam nukleat mikrofluida dan RT-qPCR ditentukan menjadi 0,979, menunjukkan konsistensi yang baik dari hasil tes.

Tabel 4 juga menunjukkan hasil uji konsistensi pasien yang menggunakan penganalisis mikrofluida dan standar acuan dengan penilaian klinis. Dari 723 pasien, 345 dites positif dan 378 dites negatif menggunakan penganalisis mikrofluida, dibandingkan dengan 352 positif dan 371 negatif menurut standar referensi, menunjukkan sensitivitas tinggi pada 97,73% (95% CI, 95,58%–98,84%), spesifisitas tinggi pada 99,73% (95% CI, 98,49%–99,95%), dan persentase persetujuan keseluruhan yang tinggi di 98,76% (95% CI, 97,65%–99,34%).

Tabel 4. Rangkuman hasil evaluasi sampel klinis COVID-19.

Clinical evaluation			
RT-qPCR			
Samples	Positive	Negative	Total
Microfluidic analyzer test			
Positive	345	6	351
Negative	1	384	385
Total	346	390	736
Reference standard			
Patients	Positive	Negative	Total
Microfluidic analyzer test			
Positive	344	1	345
Negative	8	370	378
Total	352	371	723

Mengingat persyaratan peraturan untuk laboratorium bergerak berbasis van dan terbatasnya jumlah pasien dengan COVID-19 di China, pengujian dengan sampel klinis di dalam pesawat saat ini dibatasi. Namun, kami menyelesaikan evaluasi penganalisis asam nukleat mikrofluida menggunakan 736 sampel klinis yang diambil dari 723 pasien dan menunjukkan konsistensi yang baik dengan RT-qPCR ( $\kappa$  0,979). Efisiensi tinggi pengumpulan spesimen oleh lengan robot dan sensitivitas tinggi dari penganalisis asam nukleat memfasilitasi pengujian spesimen swab orofaringeal yang sangat sensitif, yang ditunjukkan oleh evaluasi gabungan pengambilan sampel otomatis dengan analisis asam nukleat. Selain itu, dengan menggunakan diafragma yang

dirancang khusus, pengumpulan spesimen swab orofaringeal dapat dengan mudah diintegrasikan dengan lengan robot untuk menetapkan jalur pengambilan sampel yang stabil. Pendekatan ini secara signifikan meningkatkan keamanan dan kenyamanan pasien serta kualitas spesimen yang diperoleh.

Wabah penyakit menular seperti pandemi COVID-19 menimbulkan tantangan besar di seluruh dunia. Keterbatasan sumber daya medis yang tersedia dan permintaan yang tidak terpenuhi dari skrining NAT tingkat masyarakat lokal telah menghambat pelaksanaan yang tepat waktu dan efektif terhadap potensi wabah penyakit menular. Kebutuhan akan laboratorium bergerak yang mampu melakukan diagnosa molekuler tidak hanya berlaku untuk COVID-19 tetapi juga untuk berbagai penyakit menular seperti demam berdarah virus termasuk Ebola, Marburg, dan Lassa (Rojek et al., 2017; Verity et al., 2020; Vetter et al., 2016; X. Zhang et al., 2020). Bukti virologis telah menunjukkan bahwa viral load yang substansial hadir pada individu yang terinfeksi pada tahap awal COVID-19 (Pan, Zhang, et al., 2020; To et al., 2020; Wyllie, 2020) ; oleh karena itu, diagnosis dan pengobatan dini adalah kunci untuk pengendalian wabah. Laboratorium bergerak memfasilitasi penyebaran dukungan diagnostik yang cepat dan fleksibel ke titik-titik penularan penyakit seperti komunitas lokal, bandara, dan stasiun kereta api.

Modul terpisah dari laboratorium bergerak telah menunjukkan kinerja yang unggul secara terpisah dan secara keseluruhan melalui evaluasi yang berhasil dengan spesimen swab orofaringeal spiked pseudovirus dan sampel klinis. Laboratorium bergerak meminimalkan biohazard dengan menggunakan pengumpulan spesimen otomatis dan inaktivasi di dalam kabinet biosafety dan memanfaatkan penganalisis asam nukleat mikrofluida yang terintegrasi penuh. Akibatnya, isolasi fisik wilayah kerja tidak diperlukan, menyelesaikan masalah antara manajemen risiko biosafety dan ruang kerja yang terbatas di atas kapal. Platform informasi mengontrol aliran informasi eksperimental dan laboratorium dan memungkinkan setiap laboratorium bergerak individu menjadi "penjaga bergerak" dalam wabah penyakit menular, terus-menerus memberi hasil diagnostik ke jaringan

pemantauan yang real time (kondisi pemantauan sesuai waktu pelaporan).

Laboratorium bergerak memberikan solusi yang menjanjikan sebagai sumber daya penyebaran pelayanan diagnostik cepat di dalam mengatasi pandemi covid19.

## DAFTAR PUSTAKA

- Abbasian, F.; Saberbaghi, T. (2013). *Metagenomic study of human gastrointestinal tracts in health and diseases*. *Gastroenterol. Hepatol. Res.* 2013, 2, 885–896.
- Abbasian, F., Ghafar-Zadeh, E., & Magierowski, S. (2018). Microbiological sensing technologies: A review. *Bioengineering*, 5(1), 1–33. <https://doi.org/10.3390/bioengineering5010020>
- Abbasian, F., Lockington, R., Megharaj, M., & Naidu, R. (2015). The integration of sequencing and bioinformatics in metagenomics. *Reviews in Environmental Science and Biotechnology*, 14(3), 357–383. <https://doi.org/10.1007/s11157-015-9365-7>
- Abeyrathne, C. D., Huynh, D. H., McIntire, T. W., Nguyen, T. C., Nasr, B., Zantomio, D., Chana, G., Abbott, I., Choong, P., Catton, M., & Skafidas, E. (2016). Lab on a chip sensor for rapid detection and antibiotic resistance determination of *Staphylococcus aureus*. *Analyst*, 141(6), 1922–1929. <https://doi.org/10.1039/c5an02301g>
- Ahmed, A., Rushworth, J. V., Hirst, N. A., & Millner, P. A. (2014). Biosensors for whole-cell bacterial detection. *Clinical Microbiology Reviews*, 27(3), 631–646. <https://doi.org/10.1128/CMR.00120-13>
- Ai, T., Yang, Z., Hou, H., Zhan, C., Chen, C., Lv, W., Tao, Q., Sun, Z., & Xia, L. (2020). Correlation of Chest CT and RT-PCR Testing for Coronavirus Disease 2019 (COVID-19) in China: A Report of 1014 Cases. *Radiology*, 296(2), E32–E40. <https://doi.org/10.1148/radiol.2020200642>
- Aizawa, M., Kato, S., & Suzuki, S. (1980). Electrochemical typing of blood using affinity membranes. *Journal of Membrane Science*, 7(1), 1–10. [https://doi.org/10.1016/S0376-7388\(00\)83180-4](https://doi.org/10.1016/S0376-7388(00)83180-4)
- Alessandrini, A., De Renzi, V., Berti, L., Barak, I., & Facci, P. (2005). Chemically homogeneous, silylated surface for effective DNA binding and hybridization. *Surface Science*, 582(1–3), 202–208.



- <https://doi.org/10.1016/j.susc.2005.03.017>
- Altintas, Z., Akgun, M., Kokturk, G., & Uludag, Y. (2018). A fully automated microfluidic-based electrochemical sensor for real-time bacteria detection. *Biosensors and Bioelectronics*, 100, 541–548. <https://doi.org/10.1016/j.bios.2017.09.046>
- Andersson, H., & Van den Berg, A. (2003). Microfluidic devices for cellomics: A review. *Sensors and Actuators, B: Chemical*, 92(3), 315–325. [https://doi.org/10.1016/S0925-4005\(03\)00266-1](https://doi.org/10.1016/S0925-4005(03)00266-1)
- Andoh, A., Imaeda, H., Aomatsu, T., Inatomi, O., Bamba, S., Sasaki, M., Saito, Y., Tsujikawa, T., & Fujiyama, Y. (2011). Comparison of the fecal microbiota profiles between ulcerative colitis and Crohn's disease using terminal restriction fragment length polymorphism analysis. *Journal of Gastroenterology*, 46(4), 479–486. <https://doi.org/10.1007/s00535-010-0368-4>
- Araci, I. E., & Brisk, P. (2014). Recent developments in microfluidic large scale integration. *Current Opinion in Biotechnology*, 25, 60–68. <https://doi.org/10.1016/j.copbio.2013.08.014>
- Baker, F.J.; Silverton, R. E. (2014). *Introduction to Medical Laboratory Technology; Butterworth-Heinemann: Oxford, UK, 2014.*
- Barrett, T., Wilhite, S. E., Ledoux, P., Evangelista, C., Kim, I. F., Tomashevsky, M., Marshall, K. A., Phillippy, K. H., Sherman, P. M., Holko, M., Yefanov, A., Lee, H., Zhang, N., Robertson, C. L., Serova, N., Davis, S., & Soboleva, A. (2013). NCBI GEO: Archive for functional genomics data sets - Update. *Nucleic Acids Research*, 41(D1), 991–995. <https://doi.org/10.1093/nar/gks1193>
- Bavykin, S. G., Akowski, J. P., Zakhariev, V. M., Barsky, V. E., Perov, A. N., & Mirzabekov, A. D. (2001). Portable system for microbial sample preparation and oligonucleotide microarray analysis. *Applied and Environmental Microbiology*, 67(2), 922–928. <https://doi.org/10.1128/AEM.67.2.922-928.2001>
- Blumenthal D, Fowler EJ, Abrams M, C. S. (2020). *Covid19—*

- implications for the health care system. N Engl J Med* 2020;383:1483–8.
- Bogas, D., Nyberg, L., Pacheco, R., Azevedo, N. F., Beech, J. P., Gomila, M., Lalucat, J., Manaia, C. M., Nunes, O. C., Tegenfeldt, J. O., & Westerlund, F. (2017). Applications of optical DNA mapping in microbiology. *BioTechniques*, 62(6), 255–267. <https://doi.org/10.2144/000114555>
- Bogusiewicz, A., Mock, N. I., & Mock, D. M. (2004). Release of biotin from biotinylated proteins occurs enzymatically and nonenzymatically in human plasma. *Analytical Biochemistry*, 331(2), 260–266. <https://doi.org/10.1016/j.ab.2004.05.020>
- Botstein, D.; White, R.L.; Skolnick, M.; Davis, R. W. (1980). Construction of a genetic linkage map in man using restriction fragment length polymorphisms. *Am. J. Human Gen.* 1980, 32, 314–331.
- Bouguelia, S., Roupioz, Y., Slimani, S., Mondani, L., Casabona, M. G., Durmort, C., Vernet, T., Calemczuk, R., & Livache, T. (2013). On-chip microbial culture for the specific detection of very low levels of bacteria. *Lab on a Chip*, 13(20), 4024–4032. <https://doi.org/10.1039/c3lc50473e>
- Brocchieri, L. (2014). The GC Content of Bacterial Genomes. *Journal of Phylogenetics & Evolutionary Biology*, 02(01), 2–4. <https://doi.org/10.4172/2329-9002.1000e108>
- Brosel-Oliu, S.; Uria, N.; Abramova, N.; Bratov, A. (2015). *Impedimetric sensors for bacteria detection. In Biosensors-Micro and Nanoscale Applications; InTech: London, UK, 2015.*
- Budič, M., Rijavec, M., Petkovšek, Ž., & Žgur-Bertok, D. (2011). Escherichia coli bacteriocins: Antimicrobial efficacy and prevalence among isolates from patients with bacteraemia. *PLoS ONE*, 6(12). <https://doi.org/10.1371/journal.pone.0028769>
- Buermans, H. P. J., & den Dunnen, J. T. (2014). Next generation sequencing technology: Advances and applications. *Biochimica et Biophysica Acta - Molecular Basis of Disease*, 1842(10), 1932–1941.

- <https://doi.org/10.1016/j.bbadis.2014.06.015>
- Cabibbe, A. M., Miotto, P., Moure, R., Alcaide, F., Feuerriegel, S., Pozzi, G., Nikolayevskyy, V., Drobniowski, F., Niemann, S., Reither, K., Cirillo, D. M., Di Pietro, P., San Biagio, F., Alessi, E., Barbuzzi, T. G., Tafaj, S., Bachiyska, E., Kontsevaya, I., Balabanova, Y., ... Sasamalo, M. (2015). Lab-on-chip-based platform for fast molecular diagnosis of multidrug-resistant tuberculosis. *Journal of Clinical Microbiology*, 53(12), 3876–3880. <https://doi.org/10.1128/JCM.01824-15>
- Caillat, P., David, D., Belleville, M., Clerc, F., Massit, C., Revol-Cavalier, F., Peltié, P., Livache, T., Bidan, G., Roget, A., & Crapez, E. (1999). Biochips on CMOS: An active matrix address array for DNA analysis. *Sensors and Actuators, B: Chemical*, 61(1), 154–162. [https://doi.org/10.1016/S0925-4005\(99\)00287-7](https://doi.org/10.1016/S0925-4005(99)00287-7)
- Cao, Y.; Yang, X.; Wang, X. (2015). *Lateral Flow Immunoassay Method of Simultaneously Detecting Hemoglobin s, Hemoglobin c, and Hemoglobin a in Newborns, Infants, Children, and Adults. U.S. Patent US20160116489A1, 29 May 2015.*
- Cardoso, F. A., Costa, T., Germano, J., Cardoso, S., Borme, J., Gaspar, J., Fernandes, J. R., Piedade, M. S., & Freitas, P. P. (2012). Integration of magnetoresistive biochips on a CMOS circuit. *IEEE Transactions on Magnetics*, 48(11), 3784–3787. <https://doi.org/10.1109/TMAG.2012.2198449>
- Carroll, K.C.; Butel, J.; Morse, S. J. M. & A. (2015). *Medical Microbiology 27 E; McGraw Hill Professional: New York, NY, USA, 2015.*
- Charbon, E. (2008). Towards large scale CMOS single-photon detector arrays for lab-on-chip applications. *Journal of Physics D: Applied Physics*, 41(9). <https://doi.org/10.1088/0022-3727/41/9/094010>
- Chen, D., Yu, J., Tao, Y., Pan, Y., Xie, S., Huang, L., Peng, D., Wang, X., Wang, Y., Liu, Z., & Yuan, Z. (2016). Qualitative screening of veterinary anti-microbial agents in tissues, milk, and eggs of food-producing animals using liquid

- chromatography coupled with tandem mass spectrometry. *Journal of Chromatography B: Analytical Technologies in the Biomedical and Life Sciences*, 1017–1018, 82–88.  
<https://doi.org/10.1016/j.jchromb.2016.02.037>
- Cheng, J., Sheldon, E. L., Uribe, A., Gerrue, L. O., Carrino, J., Heller, M. J., & O'Connell, J. P. (1998). Preparation and hybridization analysis of DNA/RNA from *E. coli* on microfabricated bioelectronic chips. *Nature Biotechnology*, 16(6), 541–546.  
<https://doi.org/10.1038/nbt0698-541>
- Choi, D. S., Kim, D. K., Kim, Y. K., & Gho, Y. S. (2013). Proteomics, transcriptomics and lipidomics of exosomes and ectosomes. *Proteomics*, 13(10–11), 1554–1571.  
<https://doi.org/10.1002/pmic.201200329>
- Chu, D. K., Akl, E. A., Duda, S., Solo, K., Yaacoub, S., Schünemann, H. J., El-harakeh, A., Bognanni, A., Lotfi, T., Loeb, M., Hajizadeh, A., Bak, A., Izcovich, A., Cuello-Garcia, C. A., Chen, C., Harris, D. J., Borowiack, E., Chamseddine, F., Schünemann, F., ... Reinap, M. (2020). Physical distancing, face masks, and eye protection to prevent person-to-person transmission of SARS-CoV-2 and COVID-19: a systematic review and meta-analysis. *The Lancet*, 395(10242), 1973–1987.  
[https://doi.org/10.1016/S0140-6736\(20\)31142-9](https://doi.org/10.1016/S0140-6736(20)31142-9)
- Da Silva, S., Grosjean, L., Ternan, N., Mailley, P., Livache, T., & Cosnier, S. (2004). Biotinylated polypyrrole films: An easy electrochemical approach for the reagentless immobilization of bacteria on electrode surfaces. *Bioelectrochemistry*, 63(1–2), 297–301.  
<https://doi.org/10.1016/j.bioelechem.2003.09.027>
- Daraee, H., Eatemadi, A., Abbasi, E., Aval, S. F., Kouhi, M., & Akbarzadeh, A. (2016). Application of gold nanoparticles in biomedical and drug delivery. *Artificial Cells, Nanomedicine and Biotechnology*, 44(1), 410–422.  
<https://doi.org/10.3109/21691401.2014.955107>
- Davies, J. K., & Reeves, P. (1975). Genetics of resistance to colicins in *Escherichia coli* K-12: cross-resistance among

- colicins of group A. *Journal of Bacteriology*, 123(1), 102–117. <https://doi.org/10.1128/jb.123.1.96-101.1975>
- Donelli, G. (2016). *Advances in Microbiology, Infectious Diseases and Public Health; Springer: New York, NY, USA, 2016; Volume 1.*
- Drury, J. L., & Mooney, D. J. (2003). Hydrogels for tissue engineering: Scaffold design variables and applications. *Biomaterials*, 24(24), 4337–4351. [https://doi.org/10.1016/S0142-9612\(03\)00340-5](https://doi.org/10.1016/S0142-9612(03)00340-5)
- Eletxigerra, U., Martinez-Perdiguero, J., Barderas, R., Pingarrón, J. M., Campuzano, S., & Merino, S. (2016). Surface plasmon resonance immunosensor for ErbB2 breast cancer biomarker determination in human serum and raw cancer cell lysates. *Analytica Chimica Acta*, 905, 156–162. <https://doi.org/10.1016/j.aca.2015.12.020>
- Elizaquível, P., Aznar, R., & Sánchez, G. (2014). Recent developments in the use of viability dyes and quantitative PCR in the food microbiology field. *Journal of Applied Microbiology*, 116(1), 1–13. <https://doi.org/10.1111/jam.12365>
- Esteve-Zarzoso, B., Hierro, N., Mas, A., & Guillamón, J. M. (2010). A new simplified AFLP method for wine yeast strain typing. *LWT - Food Science and Technology*, 43(10), 1480–1484. <https://doi.org/10.1016/j.lwt.2010.05.016>
- Fabre, B., & Hauquier, F. (2017). Boronic Acid-Functionalized Oxide-Free Silicon Surfaces for the Electrochemical Sensing of Dopamine. *Langmuir*, 33(35), 8693–8699. <https://doi.org/10.1021/acs.langmuir.7b00699>
- Fernández-Soto, P., Mvoulouga, P. O., Akue, J. P., Abán, J. L., Santiago, B. V., Sánchez, M. C., & Muro, A. (2014). Development of a highly sensitive Loop-Mediated Isothermal Amplification (LAMP) method for the detection of *Loa loa*. *PLoS ONE*, 9(4), 1–7. <https://doi.org/10.1371/journal.pone.0094664>
- Fixe, F., Dufva, M., Telleman, P., & Christensen, C. B. (2004). Functionalization of poly(methyl methacrylate) (PMMA) as a substrate for DNA microarrays. *Nucleic Acids Research*, 32(1), 1–8. <https://doi.org/10.1093/nar/gng157>

- Fontecha, G. A., García, K., Rueda, M. M., Sosa-Ochoa, W., Sánchez, A. L., & Leiva, B. (2015). A PCR-RFLP method for the simultaneous differentiation of three *Entamoeba* species. *Experimental Parasitology*, 151–152, 80–83. <https://doi.org/10.1016/j.exppara.2015.02.003>
- Foudeh, A.M.; Didar, T.F.; Veres, T.; Tabrizian, M. (2012). *Microfluidic designs and techniques using lab-on-a-chip devices for pathogen detection for point-of-care diagnostics*. *Lab Chip* 2012, 12, 3249–3266.
- Fournier-Wirth, C., Coste, J., Chebib, H., Saikali, Y., Vittori, O., Errachid, A., Cloarec, J.-P., Martelet, C., & Jaffrezic-Renault, N. (2007). Label-Free Detection of Bacteria by Electrochemical Impedance Spectroscopy: Comparison to Surface Plasmon Resonance. *Analytical Chemistry*, 79(13), 4879–4886.
- Frickmann, H., Zautner, A. E., Moter, A., Kikhney, J., Hagen, R. M., Stender, H., & Poppert, S. (2017). Fluorescence in situ hybridization (FISH) in the microbiological diagnostic routine laboratory: a review. *Critical Reviews in Microbiology*, 43(3), 263–293. <https://doi.org/10.3109/1040841X.2016.1169990>
- Gadkar, V. J., Goldfarb, D. M., Gantt, S., & Tilley, P. A. G. (2018). Real-time Detection and Monitoring of Loop Mediated Amplification (LAMP) Reaction Using Self-quenching and De-quenching Fluorogenic Probes. *Scientific Reports*, 8(1), 2–11. <https://doi.org/10.1038/s41598-018-23930-1>
- Gardeniers, J. G. E., & Van Den Berg, A. (2004). Lab-on-a-chip systems for biomedical and environmental monitoring. *Analytical and Bioanalytical Chemistry*, 378(7), 1700–1703. <https://doi.org/10.1007/s00216-003-2435-7>
- Garipcan, B.; Caglayan, M.; Demirel, G. (2011). *New generation biosensors based on ellipsometry*. In *New Perspectives in Biosensors Technology and Applications*; InTech: London, UK, 2011.
- Ginzinger, D. G. (2002). Gene quantification using real-time quantitative PCR: An emerging technology hits the mainstream. *Experimental Hematology*, 30(6), 503–512.

- [https://doi.org/10.1016/S0301-472X\(02\)00806-8](https://doi.org/10.1016/S0301-472X(02)00806-8)  
Greig. (2016). Proceedings of the IAFP 2016 Annual Meeting, St. Louis, MO, USA. *Foodborne Outbreak Updates*.
- Grieshaber, D., MacKenzie, R., Vörös, J., & Reimhult, E. (2008). Electrochemical biosensors - Sensor principles and architectures. *Sensors*, 8(3), 1400–1458. <https://doi.org/10.3390/s8031400>
- Grolla, A., Jones, S., Kobinger, G., Sprecher, A., Girard, G., Yao, M., Roth, C., Artsob, H., Feldmann, H., & Strong, J. E. (2012). Flexibility of mobile laboratory unit in support of patient management during the 2007 ebola-zaire outbreak in the democratic republic of congo. *Zoonoses and Public Health*, 59(SUPPL.2), 151–157. <https://doi.org/10.1111/j.1863-2378.2012.01477.x>
- Grolla, Allen, Jones, S. M., Fernando, L., Strong, J. E., Ströher, U., Möller, P., Paweska, J. T., Burt, F., Palma, P., Sprecher, A., Formenty, P., Roth, C., & Feldmann, H. (2011). The use of a mobile laboratory unit in support of patient management and epidemiological surveillance during the 2005 Marburg outbreak in Angola. *PLoS Neglected Tropical Diseases*, 5(5). <https://doi.org/10.1371/journal.pntd.0001183>
- Guo, L., Feng, J., Fang, Z., Xu, J., & Lu, X. (2015). Application of microfluidic “lab-on-a-chip” for the detection of mycotoxins in foods. *Trends in Food Science and Technology*, 46(2), 252–263. <https://doi.org/10.1016/j.tifs.2015.09.005>
- Guo, X., Lin, C. S., Chen, S. H., Ye, R., & Wu, V. C. H. (2012). A piezoelectric immunosensor for specific capture and enrichment of viable pathogens by quartz crystal microbalance sensor, followed by detection with antibody-functionalized gold nanoparticles. *Biosensors and Bioelectronics*, 38(1), 177–183. <https://doi.org/10.1016/j.bios.2012.05.024>
- Guo, Z., Yu, T., He, J., Liu, F., Hao, H., Zhao, Y., Wen, J., & Wang, Q. (2015). An integrated microfluidic chip for the detection of bacteria - A proof of concept. *Molecular and Cellular Probes*, 29(4), 223–227.

- <https://doi.org/10.1016/j.mcp.2015.05.005>
- Guterman, S. K. C. B. (1973). *Mode of action and inhibition by enterochelin*. *J. Bacteriol.* 1973, 114, 1217–1224.
- Hamada, R., Takayama, H., Shonishi, Y., Mao, L., Nakano, M., & Suehiro, J. (2013). A rapid bacteria detection technique utilizing impedance measurement combined with positive and negative dielectrophoresis. *Sensors and Actuators, B: Chemical*, 181, 439–445.  
<https://doi.org/10.1016/j.snb.2013.02.030>
- Han, S.-J.; Xu, L.; Yu, H.; Wilson, R.J.; White, R.L.; Pourmand, N.; Wang, S. X. (2006). *CMOS integrated DNA microarray based on GMR sensors*. In *Proceedings of the IEDM'06. International Electron Devices Meeting, San Francisco, CA, USA, 11–13 December 2006*.
- Hao, R. Z., Song, H. Bin, Zuo, G. M., Yang, R. F., Wei, H. P., Wang, D. B., Cui, Z. Q., Zhang, Z. P., Cheng, Z. X., & Zhang, X. E. (2011). DNA probe functionalized QCM biosensor based on gold nanoparticle amplification for *Bacillus anthracis* detection. *Biosensors and Bioelectronics*, 26(8), 3398–3404. <https://doi.org/10.1016/j.bios.2011.01.010>
- Haque, A. M. J., Park, H., Sung, D., Jon, S., Choi, S. Y., & Kim, K. (2012). An electrochemically reduced graphene oxide-based electrochemical immunosensing platform for ultrasensitive antigen detection. *Analytical Chemistry*, 84(4), 1871–1878. <https://doi.org/10.1021/ac202562v>
- Hegarty, J. W., Guinane, C. M., Ross, R. P., Hill, C., & Cotter, P. D. (2016). Bacteriocin production: A relatively unharnessed probiotic trait? *F1000Research*, 5(0). <https://doi.org/10.12688/f1000research.9615.1>
- Heller, M. J. (2002). DNA microarray technology: Devices, systems, and applications. *Annual Review of Biomedical Engineering*, 4, 129–153. <https://doi.org/10.1146/annurev.bioeng.4.020702.153438>
- Hernández, R., Vallés, C., Benito, A. M., Maser, W. K., Xavier Rius, F., & Riu, J. (2014). Graphene-based potentiometric biosensor for the immediate detection of living bacteria. *Biosensors and Bioelectronics*, 54, 553–557.



- <https://doi.org/10.1016/j.bios.2013.11.053>
- Hoffman, J. I., Clark, M. S., Amos, W., & Peck, L. S. (2012). Widespread amplification of amplified fragment length polymorphisms (AFLPs) in marine Antarctic animals. *Polar Biology*, 35(6), 919–929. <https://doi.org/10.1007/s00300-011-1139-2>
- Hsiang, S., Allen, D., Annan-Phan, S., Bell, K., Bolliger, I., Chong, T., Druckenmiller, H., Huang, L. Y., Hultgren, A., Krasovich, E., Lau, P., Lee, J., Rolf, E., Tseng, J., & Wu, T. (2020). The effect of large-scale anti-contagion policies on the COVID-19 pandemic. *Nature*, 584(7820), 262–267. <https://doi.org/10.1038/s41586-020-2404-8>
- Hsieh, S., Hsieh, S. L., Hsieh, C. W., Lin, P. C., & Wu, C. H. (2013). Label-free glucose detection using cantilever sensor technology based on gravimetric detection principles. *Journal of Analytical Methods in Chemistry*, 2013. <https://doi.org/10.1155/2013/687265>
- Hu, F. X., Neoh, K. G., Cen, L., & Kang, E. T. (2005). Antibacterial and antifungal efficacy of surface functionalized polymeric beads in repeated applications. *Biotechnology and Bioengineering*, 89(4), 474–484. <https://doi.org/10.1002/bit.20384>
- Huang, G., Huang, Q., Xie, L., Xiang, G., Wang, L., Xu, H., Ma, L., Luo, X., Xin, J., Zhou, X., Jin, X., & Zhang, L. (2017). A rapid, low-cost, and microfluidic chip-based system for parallel identification of multiple pathogens related to clinical pneumonia. *Scientific Reports*, 7(1), 1–10. <https://doi.org/10.1038/s41598-017-06739-2>
- Huang, H., Phipps-Todd, B., McMahon, T., Elmgren, C. L., Lutze-Wallace, C., Todd, Z. A., & Garcia, M. M. (2016). Development of a monoclonal antibody-based colony blot immunoassay for detection of thermotolerant *Campylobacter* species. *Journal of Microbiological Methods*, 130, 76–82. <https://doi.org/10.1016/j.mimet.2016.08.015>
- Irawan, R., Tjin, S. C., Fang, X., & Fu, C. Y. (2007). Integration of optical fiber light guide, fluorescence detection system, and multichannel disposable microfluidic chip.

- Biomedical Microdevices*, 9(3), 413–419.  
<https://doi.org/10.1007/s10544-007-9052-8>
- Iwasa, F., Tsukimura, N., Sugita, Y., Kanuru, R. K., Kubo, K., Hasnain, H., Att, W., & Ogawa, T. (2011). TiO<sub>2</sub> micro-nano-hybrid surface to alleviate biological aging of UV-photofunctionalized titanium. *International Journal of Nanomedicine*, 6, 1327–1341.  
<https://doi.org/10.2217/nnm.11.56>
- Jadhav, V. V., Jamle, M. M., Pawar, P. D., Devare, M. N., & Bhadekar, R. K. (2010). Fatty acid profiles of PUFA producing Antarctic bacteria: Correlation with RAPD analysis. *Annals of Microbiology*, 60(4), 693–699.  
<https://doi.org/10.1007/s13213-010-0114-4>
- Jha, A. K., Xu, X., Duncan, R. L., & Jia, X. (2011). Controlling the adhesion and differentiation of mesenchymal stem cells using hyaluronic acid-based, doubly crosslinked networks. *Biomaterials*, 32(10), 2466–2478.  
<https://doi.org/10.1016/j.biomaterials.2010.12.024>
- Ji, Y., Ma, Z., Peppelenbosch, M. P., & Pan, Q. (2020). Potential association between COVID-19 mortality and health-care resource availability. *The Lancet Global Health*, 8(4), e480. [https://doi.org/10.1016/S2214-109X\(20\)30068-1](https://doi.org/10.1016/S2214-109X(20)30068-1)
- Jiang, J., Wang, X., Chao, R., Ren, Y., Hu, C., Xu, Z., & Liu, G. L. (2014). Smartphone based portable bacteria pre-concentrating microfluidic sensor and impedance sensing system. *Sensors and Actuators, B: Chemical*, 193(2014), 653–659. <https://doi.org/10.1016/j.snb.2013.11.103>
- Joung, C. K., Kim, H. N., Lim, M. C., Jeon, T. J., Kim, H. Y., & Kim, Y. R. (2013). A nanoporous membrane-based impedimetric immunosensor for label-free detection of pathogenic bacteria in whole milk. *Biosensors and Bioelectronics*, 44(1), 210–215.  
<https://doi.org/10.1016/j.bios.2013.01.024>
- Ju, B., Zhang, Q., Ge, J., Wang, R., Sun, J., Ge, X., Yu, J., Shan, S., Zhou, B., Song, S., Tang, X., Yu, J., Lan, J., Yuan, J., Wang, H., Zhao, J., Zhang, S., Wang, Y., Shi, X., ... Zhang, L. (2020). Human neutralizing antibodies elicited by SARS-

- CoV-2 infection. *Nature*, 584(7819), 115–119. <https://doi.org/10.1038/s41586-020-2380-z>
- Kanitkar, Y. H., Stedtfeld, R. D., Steffan, R. J., Hashsham, S. A., & Cupples, A. M. (2016). Loop-mediated isothermal amplification (LAMP) for rapid detection and quantification of *Dehalococcoides* biomarker genes in commercial reductive dechlorinating cultures KB-1 and SDC-9. *Applied and Environmental Microbiology*, 82(6), 1799–1806. <https://doi.org/10.1128/AEM.03660-15>
- Kashid, S. B., Tak, R. D., & Raut, R. W. (2015). Antibody tagged gold nanoparticles as scattering probes for the pico molar detection of the proteins in blood serum using nanoparticle tracking analyzer. *Colloids and Surfaces B: Biointerfaces*, 133, 208–213. <https://doi.org/10.1016/j.colsurfb.2015.06.004>
- Katara, J.; Deshmukh, R.; Singh, N.K.; Kaur, S. (2013). *Diversity Analysis of Bacillus thuringiensis Isolates Recovered from Diverse Habitats in India using Random Amplified Polymorphic DNA (RAPD) Markers*. *J. Biol. Sci.* 2013, 13, 514.
- Kavanagh, M. M., Erondy, N. A., Tomori, O., Dzau, V. J., Okiro, E. A., Maleche, A., Aniebo, I. C., Rugege, U., Holmes, C. B., & Gostin, L. O. (2020). Access to lifesaving medical resources for African countries: COVID-19 testing and response, ethics, and politics. *The Lancet*, 395(10238), 1735–1738. [https://doi.org/10.1016/S0140-6736\(20\)31093-X](https://doi.org/10.1016/S0140-6736(20)31093-X)
- Khrenov, V., Klapper, M., Koch, M., & Müllen, K. (2005). Surface functionalized ZnO particles designed for the use in transparent nanocomposites. *Macromolecular Chemistry and Physics*, 206(1), 95–101. <https://doi.org/10.1002/macp.200400213>
- Kim, D., & Herr, A. E. (2013). Protein immobilization techniques for microfluidic assays. *Biomicrofluidics*, 7(4). <https://doi.org/10.1063/1.4816934>
- Kim, T. H., Park, J., Kim, C. J., & Cho, Y. K. (2014). Fully integrated lab-on-a-disc for nucleic acid analysis of food-borne pathogens. *Analytical Chemistry*, 86(8), 3841–3848.

- <https://doi.org/10.1021/ac403971h>
- Kim, Y. S., Chung, J., Song, M. Y., Jung, J., & Kim, B. C. (2014). Aptamer cocktails: Enhancement of sensing signals compared to single use of aptamers for detection of bacteria. *Biosensors and Bioelectronics*, *54*, 195–198. <https://doi.org/10.1016/j.bios.2013.11.003>
- Kopetz, S., Cai, D., Rabe, E., & Neyer, A. (2007). PDMS-based optical waveguide layer for integration in electrical-optical circuit boards. *AEU - International Journal of Electronics and Communications*, *61*(3), 163–167. <https://doi.org/10.1016/j.aeue.2006.12.003>
- Kurkina, T., Vlandas, A., Ahmad, A., Kern, K., & Balasubramanian, K. (2011). Label-free detection of few copies of DNA with carbon nanotube impedance biosensors. *Angewandte Chemie - International Edition*, *50*(16), 3710–3714. <https://doi.org/10.1002/anie.201006806>
- Laib, S., & MacCraith, B. D. (2007). Immobilization of biomolecules on cycloolefin polymer supports. *Analytical Chemistry*, *79*(16), 6264–6270. <https://doi.org/10.1021/ac062420y>
- Lakshmi, R., Baskar, V., & Ranga, U. (1999). Extraction of superior-quality plasmid DNA by a combination of modified alkaline lysis and silica matrix. *Analytical Biochemistry*, *272*(1), 109–112. <https://doi.org/10.1006/abio.1999.4125>
- Lan, W. J., Maxwell, E. J., Parolo, C., Bwambok, D. K., Subramaniam, A. B., & Whitesides, G. M. (2013). Paper-based electroanalytical devices with an integrated, stable reference electrode. *Lab on a Chip*, *13*(20), 4103–4108. <https://doi.org/10.1039/c3lc50771h>
- Langille, M. G. I., Zaneveld, J., Caporaso, J. G., McDonald, D., Knights, D., Reyes, J. A., Clemente, J. C., Burkepille, D. E., Vega Thurber, R. L., Knight, R., Beiko, R. G., & Huttenhower, C. (2013). Predictive functional profiling of microbial communities using 16S rRNA marker gene sequences. *Nature Biotechnology*, *31*(9), 814–821. <https://doi.org/10.1038/nbt.2676>
- Leclercq, I., Batéjat, C., Burguière, A. M., & Manuguerra, J. C.

- (2014). Heat inactivation of the Middle East respiratory syndrome coronavirus. *Influenza and Other Respiratory Viruses*, 8(5), 585–586. <https://doi.org/10.1111/irv.12261>
- Lee, J., Kwak, Y. H., Paek, S. H., Han, S., & Seo, S. (2014). CMOS image sensor-based ELISA detector using lens-free shadow imaging platform. *Sensors and Actuators, B: Chemical*, 196, 511–517. <https://doi.org/10.1016/j.snb.2014.02.059>
- Li, S. Q., Guo, W. L., Liu, H., Wang, T., Zhou, Y. Y., Yu, T., Wang, C. Y., Yang, Y. M., Zhong, N. S., Zhang, N. F., & Li, S. Y. (2020). Clinical application of an intelligent oropharyngeal swab robot: Implication for the COVID-19 pandemic. *European Respiratory Journal*, 56(2). <https://doi.org/10.1183/13993003.01912-2020>
- Lian, Y., He, F., Wang, H., & Tong, F. (2015). A new aptamer/graphene interdigitated gold electrode piezoelectric sensor for rapid and specific detection of *Staphylococcus aureus*. *Biosensors and Bioelectronics*, 65, 314–319. <https://doi.org/10.1016/j.bios.2014.10.017>
- Lim, J. W., Ha, D., Lee, J., Lee, S. K., & Kim, T. (2015). Review of micro/nanotechnologies for microbial biosensors. *Frontiers in Bioengineering and Biotechnology*, 3(MAY), 1–13. <https://doi.org/10.3389/fbioe.2015.00061>
- Liu, D., Zhu, Y., Li, N., Lu, Y., Cheng, J., & Xu, Y. (2020). A portable microfluidic analyzer for integrated bacterial detection using visible loop-mediated amplification. *Sensors and Actuators, B: Chemical*, 310(November 2019), 127834. <https://doi.org/10.1016/j.snb.2020.127834>
- Liu, Q., Wu, C., Cai, H., Hu, N., Zhou, J., & Wang, P. (2014). Cell-based biosensors and their application in biomedicine. *Chemical Reviews*, 114(12), 6423–6461. <https://doi.org/10.1021/cr2003129>
- Liu, Y., Zhou, H., Hu, Z., Yu, G., Yang, D., & Zhao, J. (2017). Label and label-free based surface-enhanced Raman scattering for pathogen bacteria detection: A review. *Biosensors and Bioelectronics*, 94(February), 131–140.

- <https://doi.org/10.1016/j.bios.2017.02.032>
- Loenen, W. A. M., Dryden, D. T. F., Raleigh, E. A., & Wilson, G. G. (2014). Type I restriction enzymes and their relatives. *Nucleic Acids Research*, 42(1), 20–44. <https://doi.org/10.1093/nar/gkt847>
- Logares, R., Sunagawa, S., Salazar, G., Cornejo-Castillo, F. M., Ferrera, I., Sarmiento, H., Hingamp, P., Ogata, H., de Vargas, C., Lima-Mendez, G., Raes, J., Poulain, J., Jaillon, O., Wincker, P., Kandels-Lewis, S., Karsenti, E., Bork, P., & Acinas, S. G. (2014). Metagenomic 16S rDNA Illumina tags are a powerful alternative to amplicon sequencing to explore diversity and structure of microbial communities. *Environmental Microbiology*, 16(9), 2659–2671. <https://doi.org/10.1111/1462-2920.12250>
- Loman, N. J., & Watson, M. (2015). Successful test launch for nanopore sequencing. *Nature Methods*, 12(4), 303–304. <https://doi.org/10.1038/nmeth.3327>
- Mahon, C.R.; Lehman, D.C.; Manuselis, G., J. (2014). *Textbook of Diagnostic Microbiology; Elsevier Health Sciences: Amsterdam, The Netherlands, 2014.*
- Malic, L., Brassard, D., Veres, T., & Tabrizian, M. (2010). Integration and detection of biochemical assays in digital microfluidic LOC devices. *Lab on a Chip*, 10(4), 418–431. <https://doi.org/10.1039/b917668c>
- Mannoor, M. S., Zhang, S., Link, A. J., & McAlpine, M. C. (2010). Electrical detection of pathogenic bacteria via immobilized antimicrobial peptides. *Proceedings of the National Academy of Sciences of the United States of America*, 107(45), 19207–19212. <https://doi.org/10.1073/pnas.1008768107>
- Mark, D.; Haeberle, S.; Roth, G.; Von Stetten, F.; Zengerle, R. (2010). *Microfluidic Lab-on-a-chip platforms: Requirements, characteristics and applications. In Microfluidics Based Microsystems; Springer: New York, NY, USA, 2010; pp. 305–376.*
- Marques, M. E., Mansur, A. A. P., & Mansur, H. S. (2013). Chemical functionalization of surfaces for building three-dimensional engineered biosensors. *Applied Surface*

- Science, 275, 347–360.  
<https://doi.org/10.1016/j.apsusc.2012.12.099>
- Martins, R., Nathan, A., Barros, R., Pereira, L., Barquinha, P., Correia, N., Costa, R., Ahnood, A., Ferreira, I., & Fortunato, E. (2011). Complementary metal oxide semiconductor technology with and on paper. *Advanced Materials*, 23(39), 4491–4496.  
<https://doi.org/10.1002/adma.201102232>
- Marzano, M., Manzari, C., Filannino, D., Pizzi, R., D'Erchia, A. M., Lionetti, C., Picardi, E., Sgaramella, G., Pesole, G., Lanati, A., & De Leo, F. (2017). Good laboratory practices and L.I.M.S. system: the challenge for a Next Generation Sequencing and bioinformatic research laboratory. *PeerJ PrePrints*, 0–5.  
<https://doi.org/10.7287/peerj.preprints.2752>
- Medina-Plaza, C., de Saja, J. A., Fernández-Escudero, J. A., Barajas, E., Medrano, G., & Rodriguez-Mendez, M. L. (2016). Array of biosensors for discrimination of grapes according to grape variety, vintage and ripeness. *Analytica Chimica Acta*, 947, 16–22.  
<https://doi.org/10.1016/j.aca.2016.10.032>
- Mejri, M. B., Baccar, H., Baldrich, E., Del Campo, F. J., Helali, S., Ktari, T., Simonian, A., Aouni, M., & Abdelghani, A. (2010). Impedance biosensing using phages for bacteria detection: Generation of dual signals as the clue for in-chip assay confirmation. *Biosensors and Bioelectronics*, 26(4), 1261–1267.  
<https://doi.org/10.1016/j.bios.2010.06.054>
- Miller, M. B., & Tang, Y. W. (2009). Basic concepts of microarrays and potential applications in clinical microbiology. *Clinical Microbiology Reviews*, 22(4), 611–633.  
<https://doi.org/10.1128/CMR.00019-09>
- Morata, V.; Gusils, C.; Gonzalez, S. (1999). *Classification of the bacteria-traditional. Enycl. Food Microbiol. 1999, 1, 173–183.*
- Murray, P.R.; Rosenthal, K.S.; Pfaller, M. A. (2015). *Medical Microbiology; Elsevier Health Sciences: Amsterdam, The Netherlands, 2015.*

- Myers, F. B., & Lee, L. P. (2008). Innovations in optical microfluidic technologies for point-of-care diagnostics. *Lab on a Chip*, 8(12), 2015–2031. <https://doi.org/10.1039/b812343h>
- Nguyen, D. V., Arpat, A. B., Wang, N., & Carroll, R. J. (2002). DNA microarray experiments: Biological and technological aspects. *Biometrics*, 58(4), 701–717. <https://doi.org/10.1111/j.0006-341X.2002.00701.x>
- Nikkhoo, N., Cumby, N., Gulak, P. G., & Maxwell, K. L. (2016). Rapid bacterial detection via an all-electronic CMOS biosensor. *PLoS ONE*, 11(9), 1–11. <https://doi.org/10.1371/journal.pone.0162438>
- Nikkhoo, N., Glenn Gulak, P., & Maxwell, K. (2013). Rapid detection of E. Coli bacteria using potassium-sensitive FETs in CMOS. *IEEE Transactions on Biomedical Circuits and Systems*, 7(5), 621–630. <https://doi.org/10.1109/TBCAS.2013.2276013>
- Niles, W. D., & Coassin, P. J. (2008). Cyclic olefin polymers: Innovative materials for high-density multiwell plates. *Assay and Drug Development Technologies*, 6(4), 577–590. <https://doi.org/10.1089/adt.2008.134>
- Nixon, G.; Garson, J.A.; Grant, P.; Nastouli, E.; Foy, C.A.; Huggett, J. F. (2014). *Comparative study of sensitivity, linearity, and resistance to inhibition of digital and nondigital polymerase chain reaction and loop mediated isothermal amplification assays for quantification of human cytomegalovirus*. *Anal. Chem.* 2014, 86, 4387–4394.
- Njanpop-Lafourcade, B. M., Hugonnet, S., Djogbe, H., Kodjo, A., N'douba, A. K., Taha, M. K., Stoeckel, P., & Gessner, B. D. (2013). Mobile Microbiological Laboratory Support for Evaluation of a Meningitis Epidemic in Northern Benin. *PLoS ONE*, 8(7), 1–7. <https://doi.org/10.1371/journal.pone.0068401>
- Noble, R. T., & Weisberg, S. B. (2005). A review of technologies for rapid detection of bacteria in recreational waters. *Journal of Water and Health*, 3(4), 381–392. <https://doi.org/10.2166/wh.2005.051>
- Notomi, T., Mori, Y., Tomita, N., & Kanda, H. (2015). Loop-mediated isothermal amplification (LAMP): principle, features, and



- future prospects. *Journal of Microbiology*, 53(1), 1–5. <https://doi.org/10.1007/s12275-015-4656-9>
- Oblath, E. A., Henley, W. H., Alarie, J. P., & Ramsey, J. M. (2013). A microfluidic chip integrating DNA extraction and real-time PCR for the detection of bacteria in saliva. *Lab on a Chip*, 13(7), 1325–1332. <https://doi.org/10.1039/c3lc40961a>
- Otten, M., Ott, W., Jobst, M. A., Milles, L. F., Verdorfer, T., Pippig, D. A., Nash, M. A., & Gaub, H. E. (2014). From genes to protein mechanics on a chip. *Nature Methods*, 11(11), 1127–1130. <https://doi.org/10.1038/nmeth.3099>
- Pack, S. P., Kamisetty, N. K., Nonogawa, M., Devarayapalli, K. C., Ohtani, K., Yamada, K., Yoshida, Y., Kodaki, T., & Makino, K. (2007). Direct immobilization of DNA oligomers onto the amine-functionalized glass surface for DNA microarray fabrication through the activation-free reaction of oxanine. *Nucleic Acids Research*, 35(17). <https://doi.org/10.1093/nar/gkm619>
- Pan, Y., Long, L., Zhang, D., Yuan, T., Cui, S., Yang, P., Wang, Q., & Ren, S. (2020). Potential False-Negative Nucleic Acid Testing Results for Severe Acute Respiratory Syndrome Coronavirus 2 from Thermal Inactivation of Samples with Low Viral Loads. *Clinical Chemistry*, 66(6), 794–801. <https://doi.org/10.1093/clinchem/hvaa091>
- Pan, Y., Zhang, D., Yang, P., Poon, L. L. M., & Wang, Q. (2020). Viral load of SARS-CoV-2 in clinical samples. *The Lancet Infectious Diseases*, 20(4), 411–412. [https://doi.org/10.1016/S1473-3099\(20\)30113-4](https://doi.org/10.1016/S1473-3099(20)30113-4)
- Paniel, N., Baudart, J., Hayat, A., & Barthelmebs, L. (2013). Aptasensor and genosensor methods for detection of microbes in real world samples. *Methods*, 64(3), 229–240. <https://doi.org/10.1016/j.ymeth.2013.07.001>
- Park, G. S., Ku, K., Baek, S. H., Kim, S. J., Kim, S. II, Kim, B. T., & Maeng, J. S. (2020). Development of Reverse Transcription Loop-Mediated Isothermal Amplification Assays Targeting Severe Acute Respiratory Syndrome Coronavirus 2 (SARS-CoV-2). *Journal of Molecular Diagnostics*, 22(6), 729–735.

- <https://doi.org/10.1016/j.jmoldx.2020.03.006>
- Park, I. S., & Kim, N. (1998). Thiolated Salmonella antibody immobilization onto the gold surface of piezoelectric quartz crystal. *Biosensors and Bioelectronics*, 13(10), 1091–1097. [https://doi.org/10.1016/S0956-5663\(98\)00067-0](https://doi.org/10.1016/S0956-5663(98)00067-0)
- Pastorino, B., Touret, F., Gilles, M., Luciani, L., De Lamballerie, X., & Charrel, R. N. (2020). Evaluation of chemical protocols for inactivating SARS-CoV-2 infectious samples. *Viruses*, 12(6). <https://doi.org/10.3390/v12060624>
- Paweska, J. T., Jansen van Vuren, P., Meier, G. H., le Roux, C., Conteh, O. S., Kemp, A., Fourie, C., Naidoo, P., Naicker, S., Ohaebosim, P., Storm, N., Hellferscee, O., Ming Sun, L. K., Mogodi, B., Prabdial-Sing, N., du Plessis, D., Greyling, D., Loubser, S., Goosen, M., ... Madhi, S. A. (2017). South African Ebola diagnostic response in Sierra Leone: A modular high biosafety field laboratory. *PLoS Neglected Tropical Diseases*, 11(6). <https://doi.org/10.1371/journal.pntd.0005665>
- Payseur, B. A., & Rieseberg, L. H. (2016). A genomic perspective on hybridization and speciation. *Molecular Ecology*, 25(11), 2337–2360. <https://doi.org/10.1111/mec.13557>
- Pethig, R., & Markx, G. H. (1997). Applications of dielectrophoresis in biotechnology. *Trends in Biotechnology*, 15(10), 426–432. [https://doi.org/10.1016/S0167-7799\(97\)01096-2](https://doi.org/10.1016/S0167-7799(97)01096-2)
- Piletsky, S. A., Matuschewski, H., Schedler, U., Wilpert, A., Piletsky, E. V., Thiele, T. A., & Ulbricht, M. (2000). Surface functionalization of porous polypropylene membranes with molecularly imprinted polymers by photograft copolymerization in water. *Macromolecules*, 33(8), 3092–3098. <https://doi.org/10.1021/ma991087f>
- Pohanka, M.; Skládal, P. (2008). *Electrochemical biosensors—Principles and applications*. *J. Appl. Biomed.* 2008, 6, 57–64.
- Pospíšilová, M., Kuncová, G., & Trögl, J. (2015). Fiber-optic chemical sensors and fiber-optic bio-sensors. *Sensors (Switzerland)*, 15(10), 25208–25259. <https://doi.org/10.3390/s151025208>

- Prabhulkar, S., Alwarappan, S., Liu, G., & Li, C. Z. (2009). Amperometric micro-immunosensor for the detection of tumor biomarker. *Biosensors and Bioelectronics*, 24(12), 3524–3530.  
<https://doi.org/10.1016/j.bios.2009.05.002>
- Queirós, R. B., De-Los-Santos-Álvarez, N., Noronha, J. P., & Sales, M. G. F. (2013). A label-free DNA aptamer-based impedance biosensor for the detection of *E. coli* outer membrane proteins. *Sensors and Actuators, B: Chemical*, 181, 766–772.  
<https://doi.org/10.1016/j.snb.2013.01.062>
- Rashid, J. I. A., & Yusof, N. A. (2017). The strategies of DNA immobilization and hybridization detection mechanism in the construction of electrochemical DNA sensor: A review. *Sensing and Bio-Sensing Research*, 16(April), 19–31.  
<https://doi.org/10.1016/j.sbsr.2017.09.001>
- Ren-Kuibai, C.-L.P.; Hsu, C.-H. (2014). *Quantitative PCR Analysis of Mitochondrial. Mitochondr. Pathog. Genes Apoptosis Aging Dis.* 2014, 1011, 304–309.
- Ren, W., Cho, I. H., Zhou, Z., & Irudayaraj, J. (2016). Ultrasensitive detection of microbial cells using magnetic focus enhanced lateral flow sensors. *Chemical Communications*, 52(27), 4930–4933.  
<https://doi.org/10.1039/c5cc10240e>
- Reyes, D. R., Iossifidis, D., Auroux, P., & Manz, A. (2002). *Micro Total Analysis Systems . 1 . Introduction , Theory , and Technology.* 74(12), 2623–2636.
- Ribeiro, A. J. S., Zaleta-Rivera, K., Ashley, E. A., & Pruitt, B. L. (2014). Stable, covalent attachment of laminin to microposts improves the contractility of mouse neonatal cardiomyocytes. *ACS Applied Materials and Interfaces*, 6(17), 15516–15526.  
<https://doi.org/10.1021/am5042324>
- Rojek, A., Horby, P., & Dunning, J. (2017). Insights from clinical research completed during the west Africa Ebola virus disease epidemic. *The Lancet Infectious Diseases*, 17(9), e280–e292.  
[https://doi.org/10.1016/S1473-3099\(17\)30234-7](https://doi.org/10.1016/S1473-3099(17)30234-7)

- Ronkainen, N. J., Halsall, H. B., & Heineman, W. R. (2010). Electrochemical biosensors. *Chemical Society Reviews*, 39(5), 1747–1763. <https://doi.org/10.1039/b714449k>
- Rossetti, L., & Giraffa, G. (2005). Rapid identification of dairy lactic acid bacteria by M13-generated, RAPD-PCR fingerprint databases. *Journal of Microbiological Methods*, 63(2), 135–144. <https://doi.org/10.1016/j.mimet.2005.03.001>
- Rusmini, F., Zhong, Z., & Feijen, J. (2007). Protein immobilization strategies for protein biochips. *Biomacromolecules*, 8(6), 1775–1789. <https://doi.org/10.1021/bm061197b>
- Safavieh, M., Kaul, V., Khetani, S., Singh, A., Dhingra, K., Kanakasabapathy, M. K., Draz, M. S., Memic, A., Kuritzkes, D. R., & Shafiee, H. (2017). Paper microchip with a graphene-modified silver nano-composite electrode for electrical sensing of microbial pathogens. *Nanoscale*, 9(5), 1852–1861. <https://doi.org/10.1039/c6nr06417e>
- Salvatore, D., Di Francesco, A., Poglayen, G., Rugna, G., Santi, A., Morandi, B., & Baldelli, R. (2016). Caratterizzazione molecolare di ceppi di *Leishmania infantum* mediante kDNA RFLP-PCR. *Veterinaria Italiana*, 52(1), 71–75. <https://doi.org/10.12834/VetIt.554.2623.3>
- Santana, A. E., Taborda, C. P., Severo, J. S., Gomes Rittner, G. M., Muñoz, J. E., Larsson, C. E., & Larsson, C. E. (2018). Development of enzyme immunoassays (ELISA and Western blot) for the serological diagnosis of dermatophytosis in symptomatic and asymptomatic cats. *Medical Mycology*, 56(1), 95–102. <https://doi.org/10.1093/mmy/myx019>
- Sarvi, F., Yue, Z., Hourigan, K., Thompson, M. C., & Chan, P. P. Y. (2013). Surface-functionalization of PDMS for potential micro-bioreactor and embryonic stem cell culture applications. *Journal of Materials Chemistry B*, 1(7), 987–996. <https://doi.org/10.1039/c2tb00019a>
- Sassolas, A., Leca-Bouvier, B. D., & Blum, L. J. (2008). ChemInform Abstract: DNA Biosensors and Microarrays. *ChemInform*, 39(17). <https://doi.org/10.1002/chin.200817270>
- Sattabongkot, J., Tsuboi, T., Han, E. T., Bantuchai, S., & Buates, S.

- (2014). Loop-mediated isothermal amplification assay for rapid diagnosis of malaria infections in an area of endemicity in Thailand. *Journal of Clinical Microbiology*, 52(5), 1471–1477. <https://doi.org/10.1128/JCM.03313-13>
- Sawamura, H., Yamada, M., Endo, K., Soda, S., Ishigaki, T., & Ike, M. (2010). Characterization of microorganisms at different landfill depths using carbon-utilization patterns and 16S rRNA gene based T-RFLP. *Journal of Bioscience and Bioengineering*, 109(2), 130–137. <https://doi.org/10.1016/j.jbiosc.2009.07.020>
- Scalbert, A., Brennan, L., Manach, C., Andres-Lacueva, C., Dragsted, L. O., Draper, J., Rappaport, S. M., Van Der Hoof, J. J. J., & Wishart, D. S. (2014). The food metabolome: A window over dietary exposure. *American Journal of Clinical Nutrition*, 99(6), 1286–1308. <https://doi.org/10.3945/ajcn.113.076133>
- Schmalenberger, A.; Tebbe, C. C. (2014). *Profiling the Diversity of Microbial Communities with Single-Strand Conformation Polymorphism (SSCP)*. In *Environmental Microbiology; Springer: New York, NY, USA, 2014; pp. 71–83*.
- Shelburne, C. E., An, F. Y., Dholpe, V., Ramamoorthy, A., Lopatin, D. E., & Lantz, M. S. (2007). The spectrum of antimicrobial activity of the bacteriocin subtilisin A. *Journal of Antimicrobial Chemotherapy*, 59(2), 297–300. <https://doi.org/10.1093/jac/dkl495>
- Shu, Q., & Jiao, N. (2013). Developing a Novel Approach of rpoB Gene as a Powerful Biomarker for the Environmental Microbial Diversity. *Geomicrobiology Journal*, 30(2), 108–119. <https://doi.org/10.1080/01490451.2011.653090>
- Simonian, A.L.; Rainina, E.I.; Wild, J. R. (1998). *Microbial biosensors based on potentiometric detection*. In *Enzyme and Microbial Biosensors: Techniques and Protocols; Humana Press: New York, NY, USA, 1998; pp. 237–248*.
- Sjöberg, F., Nowrouzian, F., Rangel, I., Hannoun, C., Moore, E., Adlerberth, I., & Wold, A. E. (2013). Comparison between terminal-restriction fragment length polymorphism (T-RFLP) and quantitative culture for analysis of infants' gut

- microbiota. *Journal of Microbiological Methods*, 94(1), 37–46. <https://doi.org/10.1016/j.mimet.2013.04.002>
- Smith, K. F., Goldberg, M., Rosenthal, S., Carlson, L., Chen, J., Chen, C., & Ramachandran, S. (2014). Global rise in human infectious disease outbreaks. *Journal of the Royal Society Interface*, 11(101). <https://doi.org/10.1098/rsif.2014.0950>
- So, H. M., Park, D. W., Jeon, E. K., Kim, Y. H., Kim, B. S., Lee, C. K., Choi, S. Y., Kim, S. C., Chang, H., & Lee, J. O. (2008). Detection and titer estimation of *Escherichia coli* using aptamer-functionalized single-walled carbon-nanotube field-effect transistors. *Small*, 4(2), 197–201. <https://doi.org/10.1002/smll.200700664>
- Song, J. M., Culha, M., Kasili, P. M., Griffin, G. D., & Vo-Dinh, T. (2005). A compact CMOS biochip immunosensor towards the detection of a single bacteria. *Biosensors and Bioelectronics*, 20(11), 2203–2209. <https://doi.org/10.1016/j.bios.2004.08.033>
- Su, L., Jia, W., Hou, C., & Lei, Y. (2011). Microbial biosensors: A review. *Biosensors and Bioelectronics*, 26(5), 1788–1799. <https://doi.org/10.1016/j.bios.2010.09.005>
- Suehiro, J., Hatano, T., Shutou, M., & Hara, M. (2005). Improvement of electric pulse shape for electropermeabilization-assisted dielectrophoretic impedance measurement for high sensitive bacteria detection. *Sensors and Actuators, B: Chemical*, 109(2), 209–215. <https://doi.org/10.1016/j.snb.2004.12.048>
- Suehiro, J., Ohtsubo, A., Hatano, T., & Hara, M. (2006). Selective detection of bacteria by a dielectrophoretic impedance measurement method using an antibody-immobilized electrode chip. *Sensors and Actuators, B: Chemical*, 119(1), 319–326. <https://doi.org/10.1016/j.snb.2005.12.027>
- Sugalski, G., Murano, T., Fox, A., & Rosania, A. (2015). Development and use of mobile containment units for the evaluation and treatment of potential Ebola virus disease patients in a United States Hospital. *Academic Emergency Medicine*, 22(5), 616–622.

- <https://doi.org/10.1111/acem.12664>
- Swapna, M., Sivaraju, K., Sharma, R. K., Singh, N. K., & Mohapatra, T. (2011). Single-Strand Conformational Polymorphism of EST-SSRs: A Potential Tool for Diversity Analysis and Varietal Identification in Sugarcane. *Plant Molecular Biology Reporter*, 29(3), 505–513. <https://doi.org/10.1007/s11105-010-0254-5>
- Sze, S. M. (2008). *Semiconductor Devices: Physics and Technology*; John Wiley & Sons: New York, NY, USA, 2008.
- Thermes, C. (2014). Ten years of next-generation sequencing technology. *Trends in Genetics: TIG*, 30(9), 418–426. <https://doi.org/10.1016/j.tig.2014.07.001>
- Thorpe, T. C., Wilson, M. L., Turner, J. E., Diguseppi, J. L., Willert, M., Mirrett, S., Reller, L. B., & Carolina, N. (1990). <Thorpe et al. - 1990 - BacTAlert an automated colorimetric microbial de.pdf>. 28(7), 1608–1612.
- To, K. K. W., Tsang, O. T. Y., Leung, W. S., Tam, A. R., Wu, T. C., Lung, D. C., Yip, C. C. Y., Cai, J. P., Chan, J. M. C., Chik, T. S. H., Lau, D. P. L., Choi, C. Y. C., Chen, L. L., Chan, W. M., Chan, K. H., Ip, J. D., Ng, A. C. K., Poon, R. W. S., Luo, C. T., ... Yuen, K. Y. (2020). Temporal profiles of viral load in posterior oropharyngeal saliva samples and serum antibody responses during infection by SARS-CoV-2: an observational cohort study. *The Lancet Infectious Diseases*, 20(5), 565–574. [https://doi.org/10.1016/S1473-3099\(20\)30196-1](https://doi.org/10.1016/S1473-3099(20)30196-1)
- Udugama, B., Kadhiresan, P., Kozlowski, H. N., Malekjahani, A., Osborne, M., Li, V. Y. C., Chen, H., Mubareka, S., Gubbay, J. B., & Chan, W. C. W. (2020). Diagnosing COVID-19: The Disease and Tools for Detection. *ACS Nano*, 14(4), 3822–3835. <https://doi.org/10.1021/acsnano.0c02624>
- Verity, R., Okell, L. C., Dorigatti, I., Winskill, P., Whittaker, C., Imai, N., Cuomo-Dannenburg, G., Thompson, H., Walker, P. G. T., Fu, H., Dighe, A., Griffin, J. T., Baguelin, M., Bhatia, S., Boonyasiri, A., Cori, A., Cucunubá, Z., FitzJohn, R., Gaythorpe, K., ... Ferguson, N. M. (2020). Estimates of the severity of coronavirus disease 2019: a model-based analysis. *The Lancet Infectious Diseases*, 20(6), 669–

677. [https://doi.org/10.1016/S1473-3099\(20\)30243-7](https://doi.org/10.1016/S1473-3099(20)30243-7)
- Vetter, P., Kaiser, L., Schibler, M., Ciglencski, I., & Bausch, D. G. (2016). Sequelae of Ebola virus disease: the emergency within the emergency. *The Lancet Infectious Diseases*, 16(6), e82–e91. [https://doi.org/10.1016/S1473-3099\(16\)00077-3](https://doi.org/10.1016/S1473-3099(16)00077-3)
- Viswanathan, P., Johnson, D. W., Hurley, C., Cameron, N. R., & Battaglia, G. (2014). 3D surface functionalization of emulsion-templated polymeric foams. *Macromolecules*, 47(20), 7091–7098. <https://doi.org/10.1021/ma500968q>
- Wan, Y., Wang, Y., Wu, J., & Zhang, D. (2011). Graphene oxide sheet-mediated silver enhancement for application to electrochemical biosensors. *Analytical Chemistry*, 83(3), 648–653. <https://doi.org/10.1021/ac103047c>
- Wan, Y., Zhang, D., Wang, Y., & Hou, B. (2010). A 3D-impedimetric immunosensor based on foam Ni for detection of sulfate-reducing bacteria. *Electrochemistry Communications*, 12(2), 288–291. <https://doi.org/10.1016/j.elecom.2009.12.017>
- Wang, C., Horby, P. W., Hayden, F. G., & Gao, G. F. (2020). A novel coronavirus outbreak of global health concern. *The Lancet*, 395(10223), 470–473. [https://doi.org/10.1016/S0140-6736\(20\)30185-9](https://doi.org/10.1016/S0140-6736(20)30185-9)
- Wang, S., Ge, L., Song, X., Yu, J., Ge, S., Huang, J., & Zeng, F. (2012). Paper-based chemiluminescence ELISA: Lab-on-paper based on chitosan modified paper device and wax-screen-printing. *Biosensors and Bioelectronics*, 31(1), 212–218. <https://doi.org/10.1016/j.bios.2011.10.019>
- Wayne, R., Frick, K., & Neilands, J. B. (1976). Siderophore protection against colicins M, B, V, and Ia in *Escherichia coli*. *Journal of Bacteriology*, 126(1), 7–12. <https://doi.org/10.1128/jb.126.1.7-12.1976>
- Weidmann, M., Faye, O., Faye, O., Abd El Wahed, A., Patel, P., Batejat, C., Manugerra, J. C., Adjami, A., Niedrig, M., Hufert, F. T., & Sall, A. A. (2018). Development of Mobile Laboratory for Viral Hemorrhagic Fever Detection in Africa. *Journal of Infectious Diseases*, 218(10), 1622–1630.



- <https://doi.org/10.1093/infdis/jiy362>
- WHO. (2020). *Laboratory biosafety guidance related to coronavirus disease (COVID-19): interim guidance, 19 March 2020. Geneva (Switzerland): World Health Organization; 2020.*
- Wölfel, R., Corman, V. M., Guggemos, W., Seilmaier, M., Zange, S., Müller, M. A., Niemeyer, D., Jones, T. C., Vollmar, P., Rothe, C., Hoelscher, M., Bleicker, T., Brünink, S., Schneider, J., Ehmann, R., Zwirgmaier, K., Drosten, C., & Wendtner, C. (2020). Virological assessment of hospitalized patients with COVID-2019. *Nature*, 581(7809), 465–469. <https://doi.org/10.1038/s41586-020-2196-x>
- Wölfel, R., Stoecker, K., Fleischmann, E., Gramsamer, B., Wagner, M., Molkenthin, P., Di Caro, A., Günther, S., Ibrahim, S., Genzel, G. H., Ozin-Hofsäss, A. J., Formenty, P., & Zöller, L. (2015). Mobile diagnostics in outbreak response, not only for ebola: A blueprint for a modular and robust field laboratory. *Eurosurveillance*, 20(44). <https://doi.org/10.2807/1560-7917.ES.2015.20.44.30055>
- Wong, I., & Ho, C. M. (2009). Surface molecular property modifications for poly(dimethylsiloxane) (PDMS) based microfluidic devices. *Microfluidics and Nanofluidics*, 7(3), 291–306. <https://doi.org/10.1007/s10404-009-0443-4>
- Wu, F., Zhao, S., Yu, B., Chen, Y. M., Wang, W., Song, Z. G., Hu, Y., Tao, Z. W., Tian, J. H., Pei, Y. Y., Yuan, M. L., Zhang, Y. L., Dai, F. H., Liu, Y., Wang, Q. M., Zheng, J. J., Xu, L., Holmes, E. C., & Zhang, Y. Z. (2020). A new coronavirus associated with human respiratory disease in China. *Nature*, 579(7798), 265–269. <https://doi.org/10.1038/s41586-020-2008-3>
- Wu, S., Duan, N., Shi, Z., Fang, C., & Wang, Z. (2014). Simultaneous aptasensor for multiplex pathogenic bacteria detection based on multicolor upconversion nanoparticles labels. *Analytical Chemistry*, 86(6), 3100–3107. <https://doi.org/10.1021/ac404205c>
- Wyllie. (2020). Saliva or Nasopharyngeal Swab Specimens for Detection of SARS-CoV-2. *New England Journal of*

*Medicine*, 383, 1283.

- Xi, C.; Boppart, S.; Raskin, L. (2003). *Use of molecular beacons for the detection of bacteria in microfluidic devices*. In *Proceedings of the SPIE's Photonics West, San Jose, CA, USA, 25–31 January 2003*.
- Xia, S., & Chen, X. (2020). Single-copy sensitive, field-deployable, and simultaneous dual-gene detection of SARS-CoV-2 RNA via modified RT-RPA. *Cell Discovery*, 6(1), 4–7. <https://doi.org/10.1038/s41421-020-0175-x>
- Xie, Y., Hill, C. A. S., Xiao, Z., Militz, H., & Mai, C. (2010). Silane coupling agents used for natural fiber/polymer composites: A review. *Composites Part A: Applied Science and Manufacturing*, 41(7), 806–819. <https://doi.org/10.1016/j.compositesa.2010.03.005>
- Xin, L., Cao, Z., Lau, C., Kai, M., & Lu, J. (2010). G-rich sequence-functionalized polystyrene microsphere-based instantaneous derivatization for the chemiluminescent amplified detection of DNA. *Luminescence*, 25(4), 336–342. <https://doi.org/10.1002/bio.1159>
- Xing, W., Liu, Y., Wang, H., Li, S., Lin, Y., Chen, L., Zhao, Y., Chao, S., Huang, X., Ge, S., Deng, T., Zhao, T., Li, B., Wang, H., Wang, L., Song, Y., Jin, R., He, J., Zhao, X., ... Cheng, J. (2020). A High-Throughput, Multi-Index Isothermal Amplification Platform for Rapid Detection of 19 Types of Common Respiratory Viruses Including SARS-CoV-2. *Engineering*, 6(10), 1130–1140. <https://doi.org/10.1016/j.eng.2020.07.015>
- Xing, W., Wang, J., Zhao, C., Wang, H., Bai, L., Pan, L., Li, H., Wang, H., Zhang, Z., Lu, Y., Chen, X., Shan, S., Wang, D., Pan, Y., Weng, D., Zhou, X., Huang, R., He, J., Jin, R., ... Cheng, J. (2021). A Highly Automated Mobile Laboratory for On-site Molecular Diagnostics in the COVID-19 Pandemic. *Clinical Chemistry*, 67(4), 672–683. <https://doi.org/10.1093/clinchem/hvab027>
- Yang, L. (2008). Electrical impedance spectroscopy for detection of bacterial cells in suspensions using interdigitated microelectrodes. *Talanta*, 74(5), 1621–1629. <https://doi.org/10.1016/j.talanta.2007.10.018>

- Yang, L., & Bashir, R. (2008). Electrical/electrochemical impedance for rapid detection of foodborne pathogenic bacteria. *Biotechnology Advances*, 26(2), 135–150. <https://doi.org/10.1016/j.biotechadv.2007.10.003>
- Yao, L.; Hajj-Hassan, M.; Ghafar-Zadeh, E.; Shabani, A.; Chodavarapu, V.; Zourob, M. (2008). CMOS capacitive sensor system for bacteria detection using phage organisms. In *Proceedings of the 2008 IEEE Canadian Conference on Electrical and Computer Engineering, Niagara Falls, ON, Canada, 4–7 May 2008*.
- Yi-Xian, W.; Zun-Zhong, Y.; Cheng-Yan, S.; Yi-Bin, Y. (2012). Application of aptamer based biosensors for detection of pathogenic microorganisms. *Chin. J. Anal. Chem.* 2012, 40, 634–642.
- Yoon, J. (2003). *A Microstrip-Based Radio-Frequency Biosensor for the Detection of Bacteria in Water. Master of Science Thesis, University of Nevada, Reno, NV, USA, 2003*.
- Yu, L., Wu, S., Hao, X., Dong, X., Mao, L., Pelechano, V., Chen, W. H., & Yin, X. (2020). Rapid Detection of COVID-19 Coronavirus Using a Reverse Transcriptional Loop-Mediated Isothermal Amplification (RT-LAMP) Diagnostic Platform. *Clinical Chemistry*, 66(7), 975–977. <https://doi.org/10.1093/clinchem/hvaa102>
- Zhang. (2011). *Electrochemical Sensors, Biosensors and Their Biomedical Applications. Academic Press: Cambridge, MA, USA*.
- Zhang, D., & Liu, Q. (2016). Biosensors and bioelectronics on smartphone for portable biochemical detection. *Biosensors and Bioelectronics*, 75, 273–284. <https://doi.org/10.1016/j.bios.2015.08.037>
- Zhang, G., Zheng, G., Zhang, Y., Ma, R., & Kang, X. (2018). Evaluation of a micro/nanofluidic chip platform for the high-throughput detection of bacteria and their antibiotic resistance genes in post-neurosurgical meningitis. *International Journal of Infectious Diseases*, 70, 115–120. <https://doi.org/10.1016/j.ijid.2018.03.012>
- Zhang, H., & Chiao, M. (2015). Anti-fouling coatings of poly(dimethylsiloxane) devices for biological and

- biomedical applications. *Journal of Medical and Biological Engineering*, 35(2), 143–155. <https://doi.org/10.1007/s40846-015-0029-4>
- Zhang, X., Tan, Y., Ling, Y., Lu, G., Liu, F., Yi, Z., Jia, X., Wu, M., Shi, B., Xu, S., Chen, J., Wang, W., Chen, B., Jiang, L., Yu, S., Lu, J., Wang, J., Xu, M., Yuan, Z., ... Lu, H. (2020). Viral and host factors related to the clinical outcome of COVID-19. *Nature*, 583(7816), 437–440. <https://doi.org/10.1038/s41586-020-2355-0>
- Zhang, Y., Gong, Y., Wang, C., Liu, W., Wang, Z., Xia, Z., Bu, Z., Lu, H., Sun, Y., Zhang, X., Cao, Y., Yang, F., Su, H., Hu, Y., Deng, Y., Zhou, B., Zhao, Z., Fu, Y., Kargbo, D., ... Guo, Z. (2017). Rapid deployment of a mobile biosafety level-3 laboratory in Sierra Leone during the 2014 Ebola virus epidemic. *PLoS Neglected Tropical Diseases*, 11(5), 1–15. <https://doi.org/10.1371/journal.pntd.0005622>
- Zhao, D., Huang, R., Zeng, J., Yan, W., Wang, J., Ma, T., Wang, M., & Wu, Q. L. (2012). Diversity analysis of bacterial community compositions in sediments of urban lakes by terminal restriction fragment length polymorphism (T-RFLP). *World Journal of Microbiology and Biotechnology*, 28(11), 3159–3170. <https://doi.org/10.1007/s11274-012-1126-y>

## BIOGRAFI PENULIS



**Mashuri Masri**, lahir di Sidrap 16 desember 1980, saat ini penulis menjadi abdi negara, PNS dosen dengan mata kuliah binaan Mikrobiologi Umum, di jurusan Biologi Fakultas Sains dan Teknologi UIN Alauddin Makassar. Penulis sudah menjadi dosen sejak tahun 2005 dengan mata kuliah Mikrobiologi di berbagai universitas di makassar. Hal ini linear dengan Pendidikan formal penulis di

konsentrasi Mikrobiologi Pasca Sarjana Universitas Hasanuddin Makassar tahun 2008, serta jurusan Biologi FMIPA Universitas Hasanuddin tahun 2004. Penulis menyelesaikan pendidikan doktoral di bidang Sains Medicine universitas Hasanuddin Makassar tahun 2014.

Penulis aktif dalam konsorsium keilmuan dengan menjadi koordinator wilayah Indonesia Tengah di Konsorsium Biologi Indonesia (KOBI) sejak tahun 2015. Dan menjadi Ketua Umum Asosiasi Dosen Biologi dan Pendidikan Biologi Perguruan tinggi kementerian agama Republik Indonesia sejak tahun 2019 sampai sekarang.



**Siska Tridesianti**, lahir di Simpang Periuik pada tanggal 14 Desember 1991. Penulis merupakan lulusan program sarjana di Jurusan Pendidikan Biologi, Universitas Sriwijaya pada tahun 2013. Penulis juga telah menyelesaikan progam magister di Jurusan Mikrobiologi, Institut Pertanian Bogor pada tahun 2017. Penulis berkaris sebagai Asisten Dosen selama empat

tahun di Institut Pertanian Bogor dan saat ini berstatus sebagai calon pegawai negeri sipil (CPNS) di Jurusan Biologi, Fakultas Sains dan Teknologi, UIN Sunan Gunung Djati Bandung. Penulis telah menerbitkan beberapa artikel yang di publikasi pada jurnal nasional bereputasi maupun jurnal internasional. Penulis juga

telah menerbitkan beberapa buku fiksi dan non fiksi yang telah ber-ISBN.



**Dr. Ekafadly Jusuf, S.Si., M.Kes**, lahir pada tanggal 13 April 1977, menyelesaikan pendidikan di S1 Biologi Unhas, S2 Kesehatan Masyarakat Unhas, dan S3 Ekonomi Kesehatan Unhas. Pengalaman kerja di Laboratorium klinik Prodia Makassar, Manajer Operasional Laboratorium Rumah Sakit PT.Vale sorowako sulsei (perusahaan nikel terbesar di kawasan Timur Indonesia). Afiliasi di STIE AMKOP Makassar konsentrasi Manajemen Kesehatan.

Penulis telah menerbitkan beberapa artikel yang di publikasi pada jurnal nasional bereputasi maupun jurnal internasional.



**Dr. Delima Engga Maretha, S.Si., M.Kes**, Lahir di Palembang 3 maret 1982. S1 Biologi Universitas Sriwijaya Palembang, S2 di Biomedik Universitas Sriwijaya, S3 Biomedik Universitas Indonesia Jakarta. Saat ini menjadi Abdi Negara (PNS) di Jurusan Biologi Fakultas Sains dan Teknologi UIN Raden Fatah Palembang. Penulis memiliki pengalaman menulis buku ajar, buku referensi, jurnal iternsional dan nasional.



**Rusny, S.Pt M.Si**. Lahir di Pangkajene Sidrap 27 januari 1983. S1 di Ilmu Peternakan Unhas, S2 Ilmu dan Teknologi Peternakan Unhas, Saat ini menjadi dosen non PNS di jurusan Ilmu Peternakan Unhas. Kajian Tesis tentang Biosecurity. Penulis Aktif menulis Buku referensi, Jurnal nasional dan Internasional,



**Windy Sahar, S.Si.,M.Si.** Lahir di Merauke, 4 Mei 1993. S1 di Jurusan Biologi FST UIN Alauddin Makassar, S2 di Biologi UGM Jogjakarta. Saat ini sebagai Manajer Riset di RSUI Jakarta. Bertanggung jawab untuk riset dasar dan Kedokteran. Aktif menulis di berbagai jurnal nasional dan Internasional.



**Dr. Joko Widodo, S.Si, M.Kes,** lahir pada tanggal 5 Juli 1974, menyelesaikan Pendidikan S1 Farmasi Konsentrasi Teknologi Laboratorium Kesehatan Universitas Hasanuddin, S2 Biomedik Unhas, dan S3 Ilmu Kedokteran Unhas. Pengalaman kerja di Klinik Prodia Panakkukang Makassar dan Tenaga Pengajar di Universitas MegaRezky Makassar. Penulis memiliki pengalaman menulis referensi, publikasi Jurnal Nasional dan Internasional



Alauddin University Press

**Alamat:**

UPT Perpustakaan UIN Alauddin Makassar  
Jl. H. M. Yasin Limpo No. 36  
Romangpolong, Samata,  
Kabupaten Gowa.

ISBN 978-602-328-388-0

